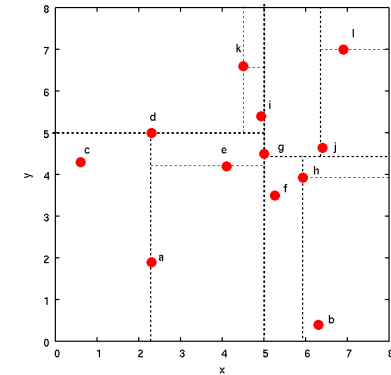
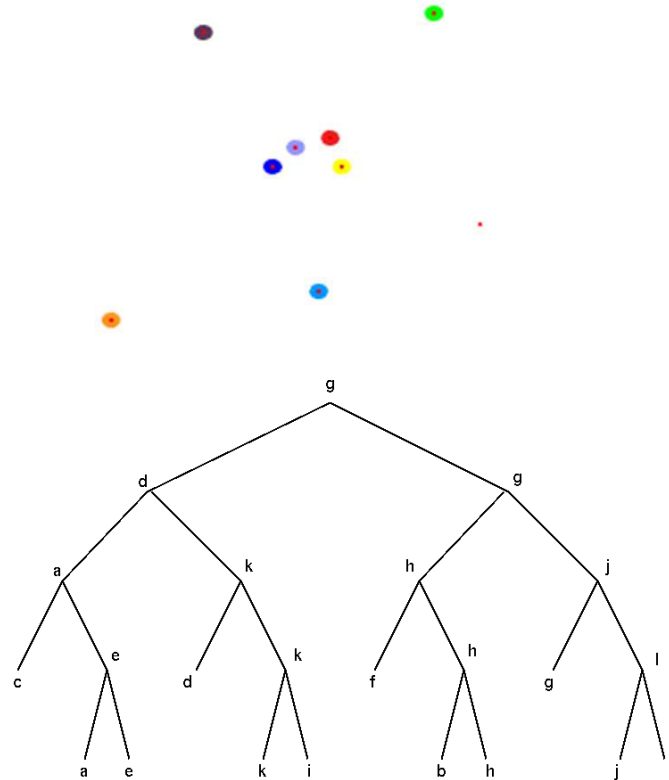


Algorithmique géométrique



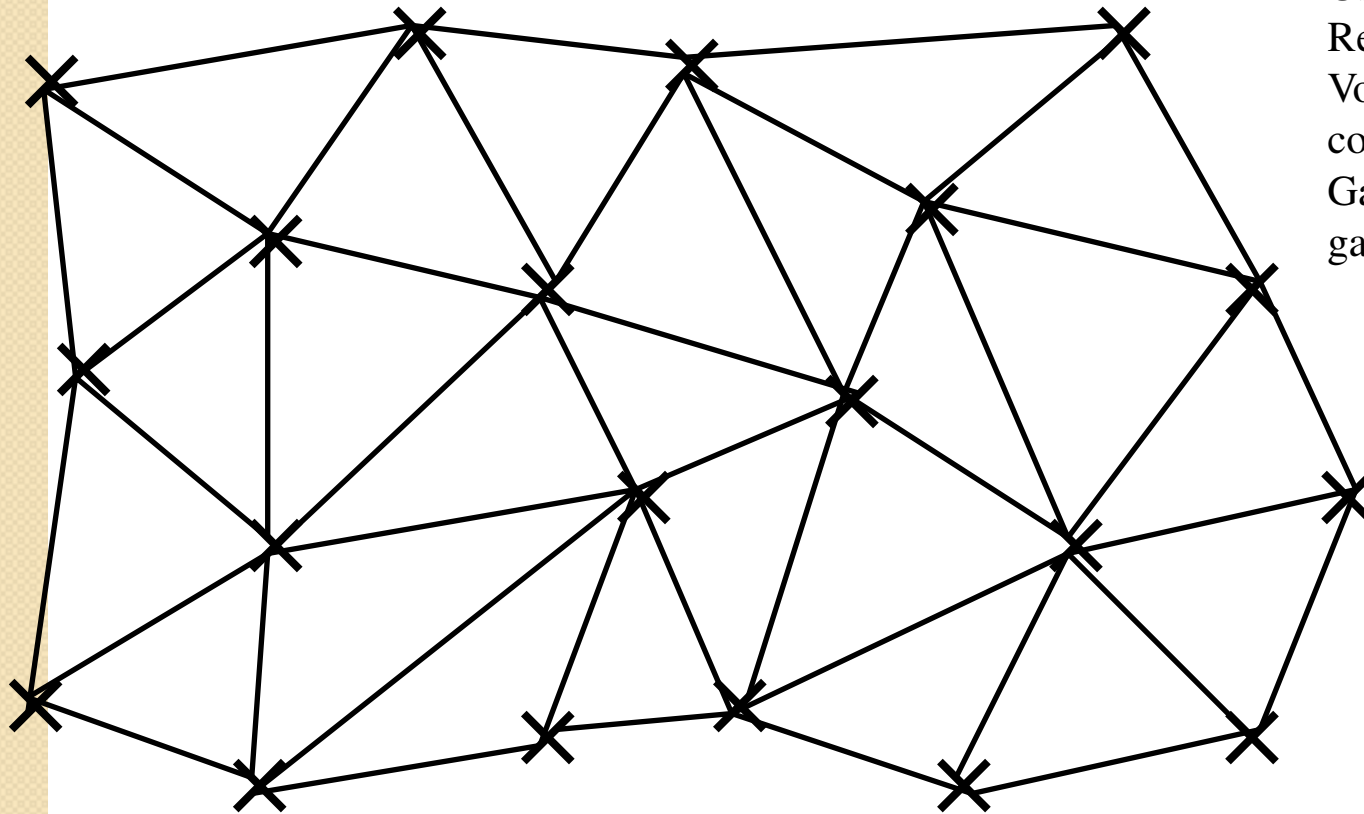
Algorithmique géométrique

1. Introduction
2. Localisation & structures de recherche
3. Triangulations de Delaunay
4. Graphes de Voronoï
5. Généralisation des Graphes de Voronoï



Recherche opérationnelle

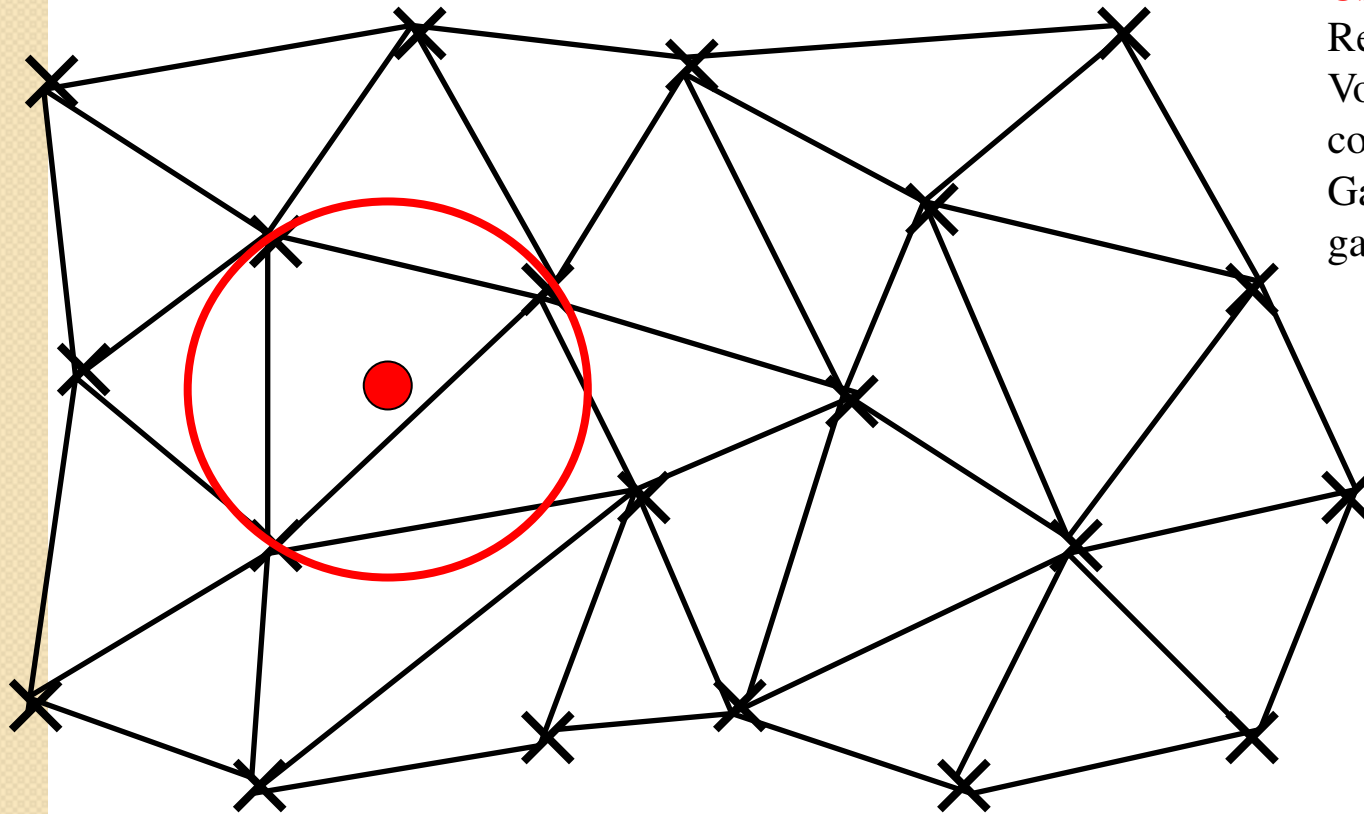
Graphes euclidien (planaire, 3D)



Problèmes types :
Usine polluante,
Relier des stations,
Voyageur de commerce,
Gardien de la
galerie d'art

Recherche opérationnelle

Graphes euclidien (planaire, 3D)

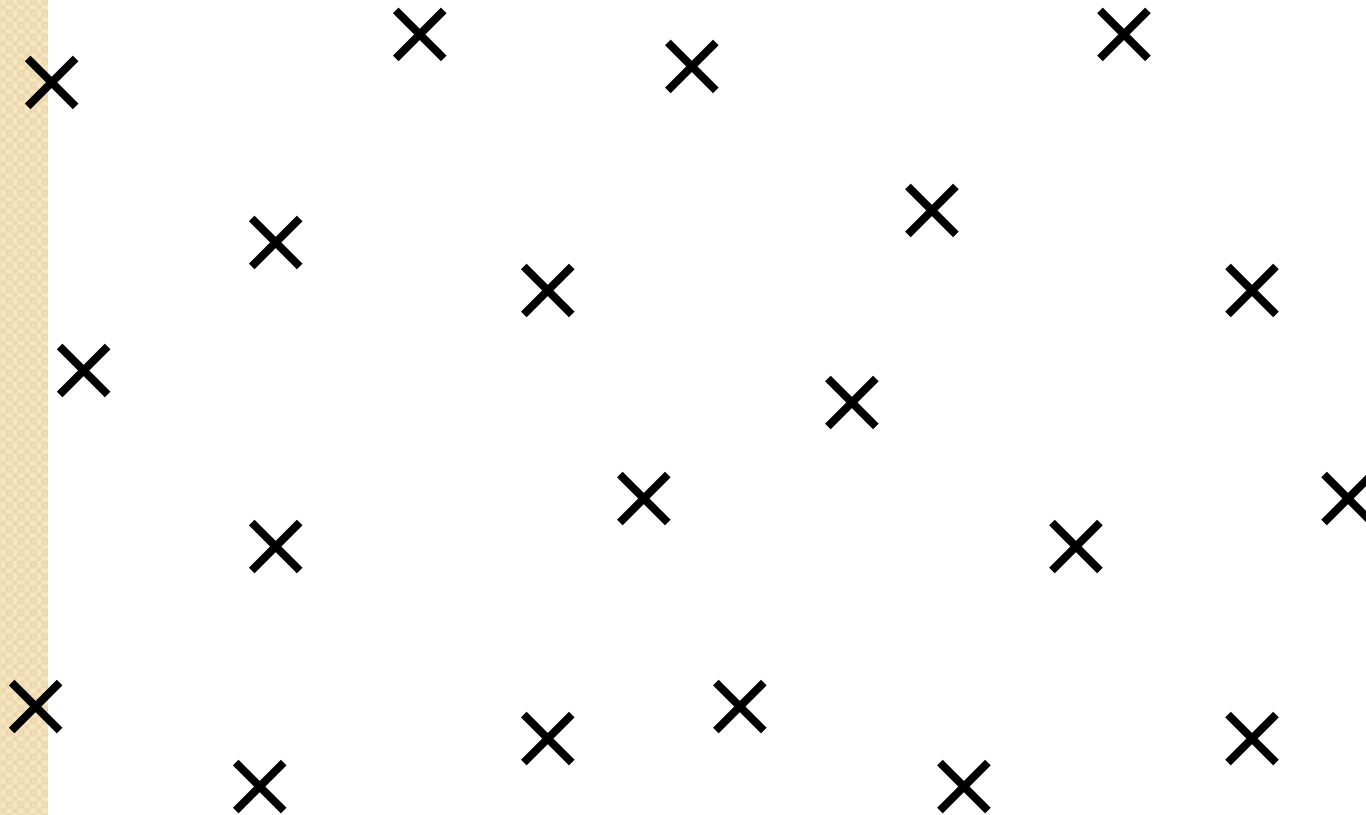


Problèmes types :
Usine polluante,
Relier des stations,
Voyageur de commerce,
Gardien de la galerie d'art

Les problèmes de base

Localisation et recherche 2D, 3D...:

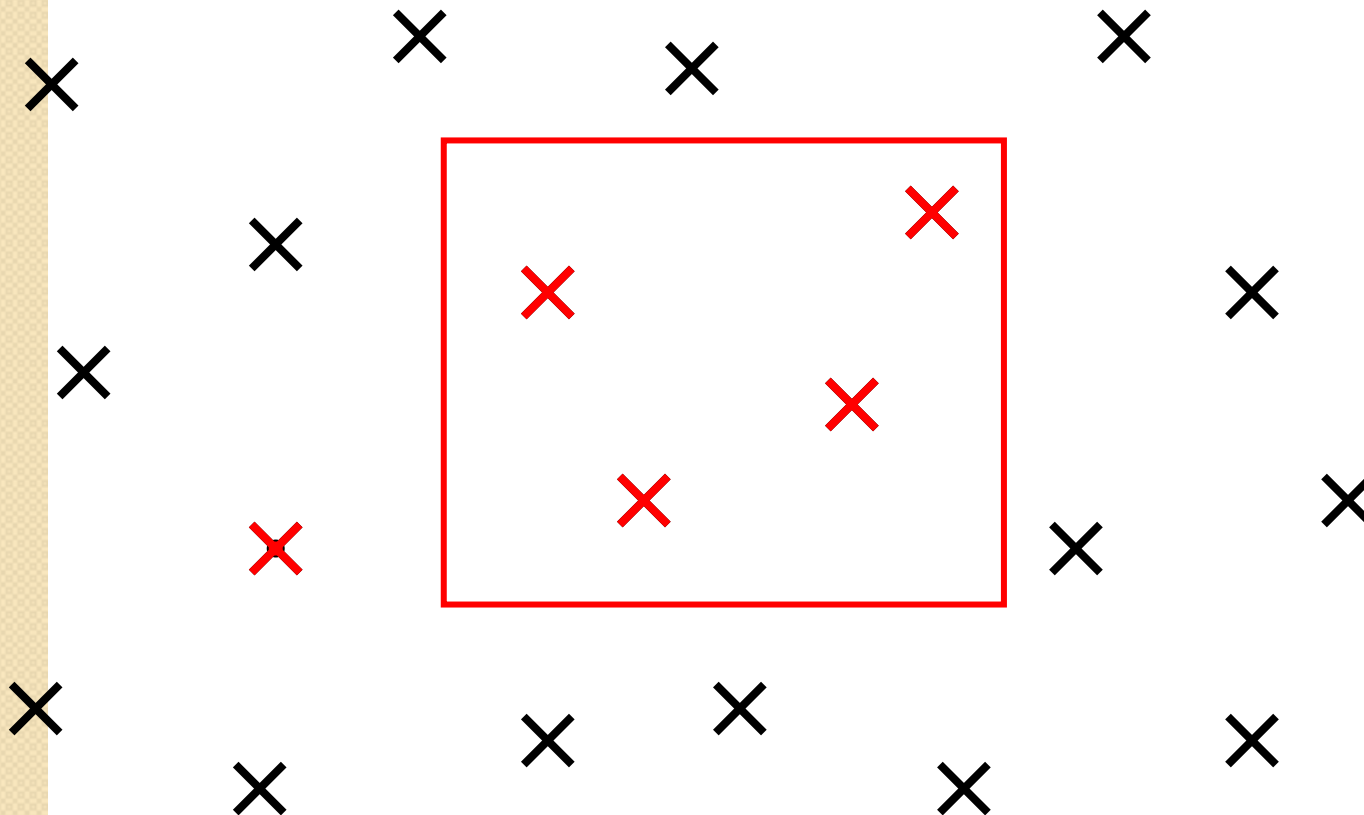
- Localisation point / polygone...
- Requêtes boîte, requête exacte



Les problèmes de base

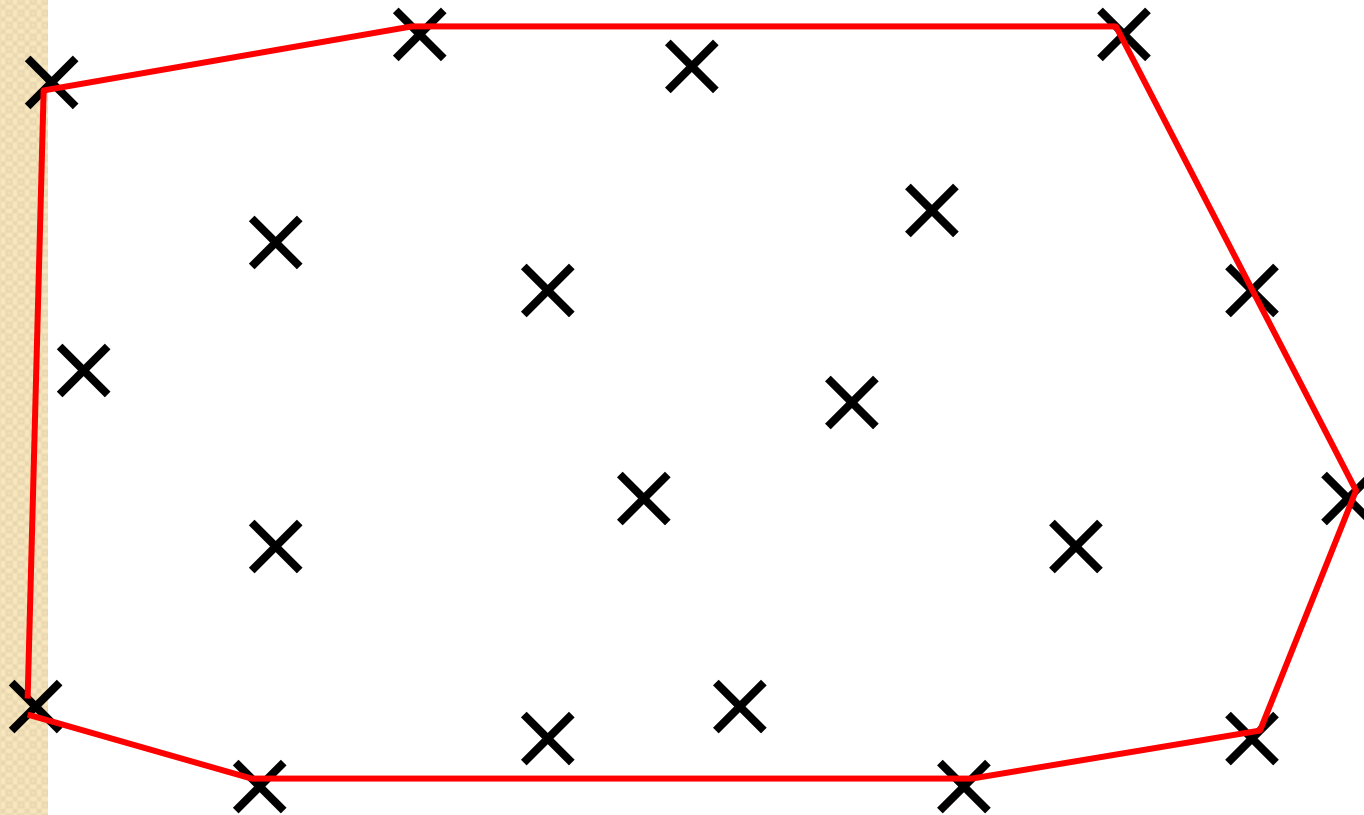
Localisation et recherche 2D, 3D...:

- Localisation point / polygone...
- Requêtes boîte, requête exacte



Les problèmes de base

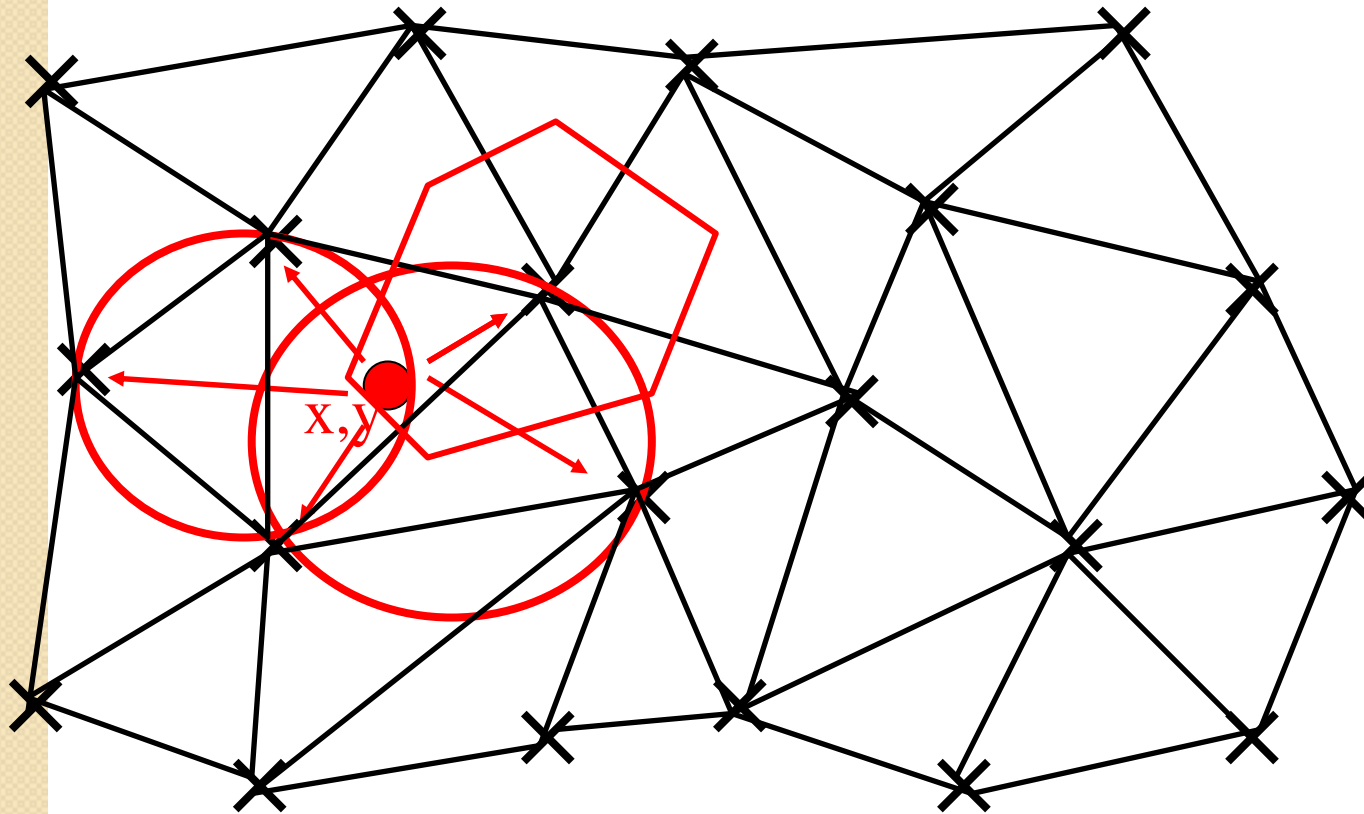
Enveloppe convexe 2D, 3D... :



Les problèmes de base

Calcul de proximité 2D, 3D... :

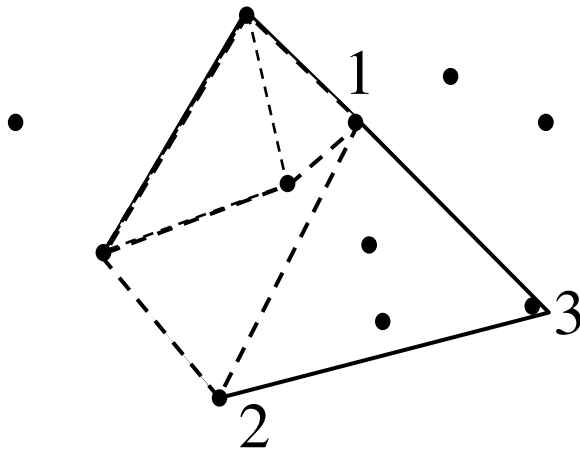
• Les K Plus Proches Voisins



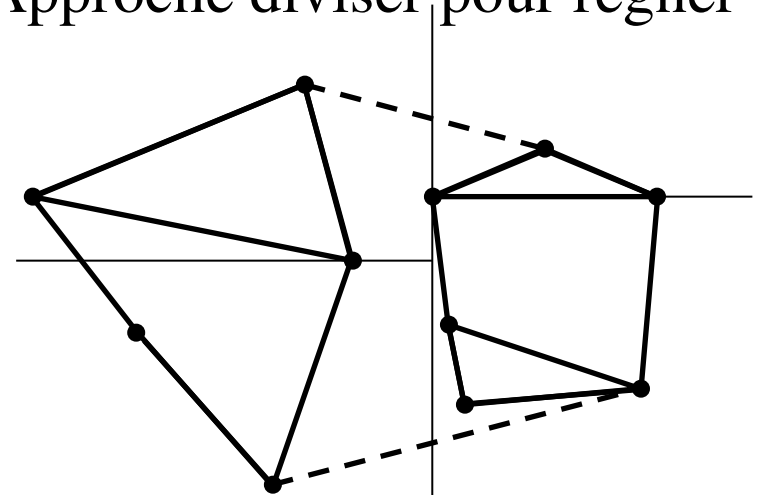
Les 3 approches déterministes

Sur 1 'exemple de l'Enveloppe Convexe

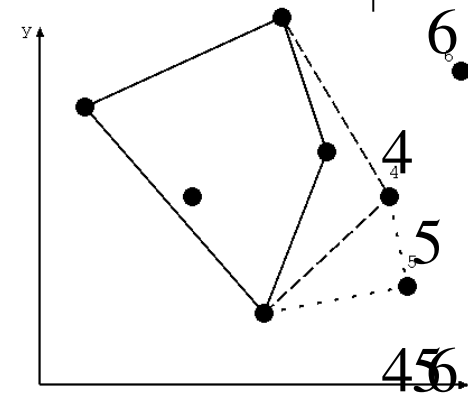
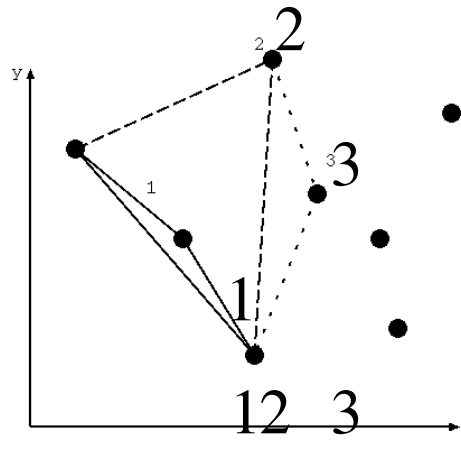
1) Approche incrémentale



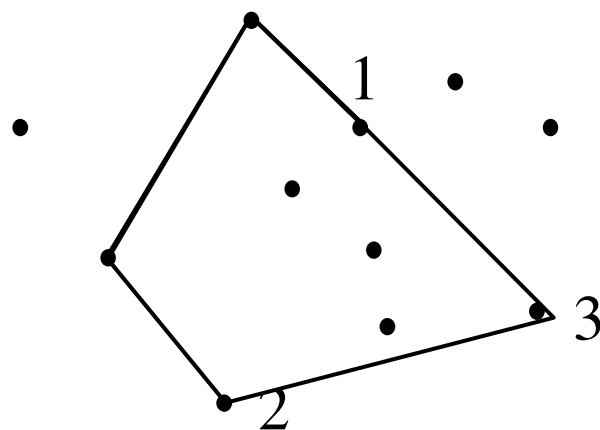
2) Approche diviser pour régner



3) Approche par balayage

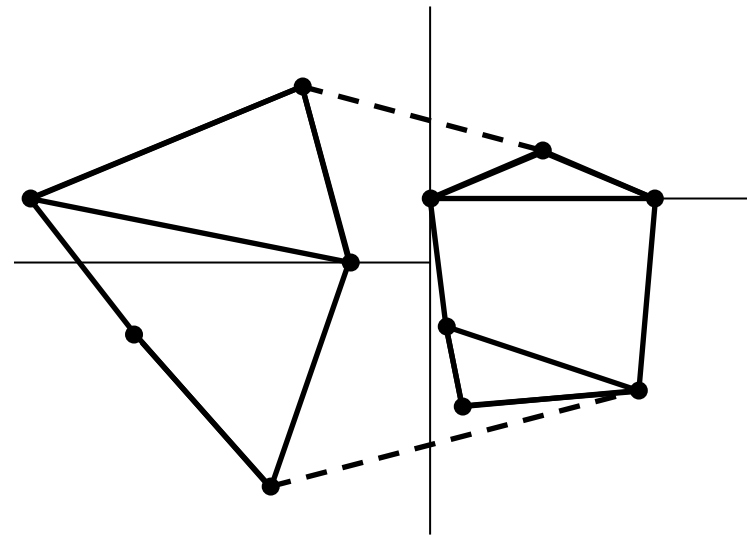


EC : approche incrémentale

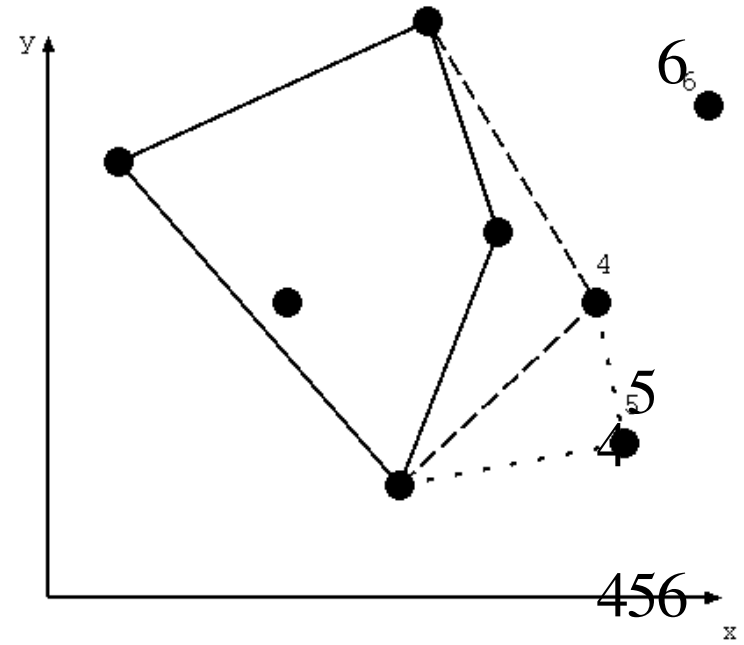
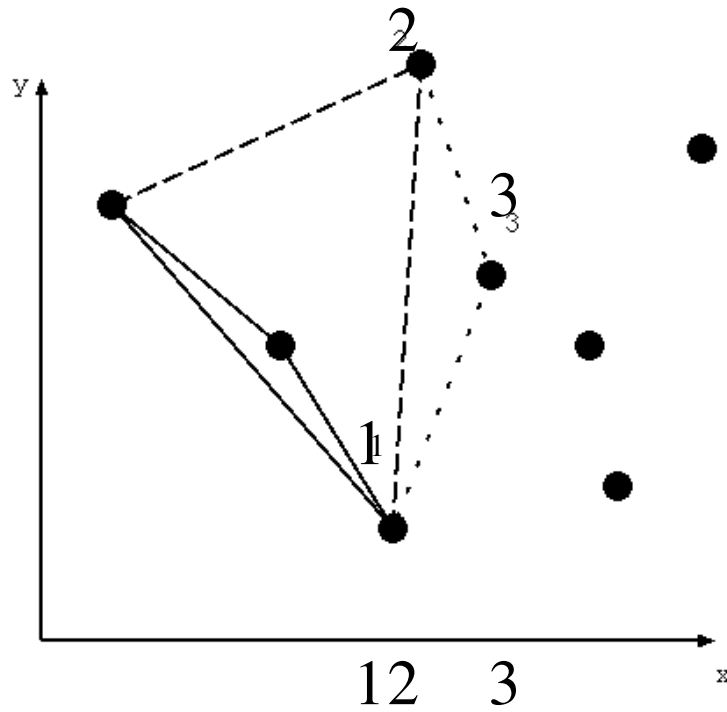


EC : diviser pour régner

1. Construire KDtree
2. Calculer l'EC élémentaire
3. Fusionner les EC 2 à 2



EC par balayage



Algorithmique géométrique

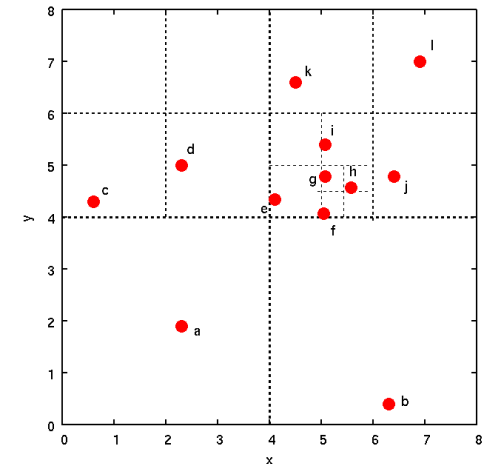
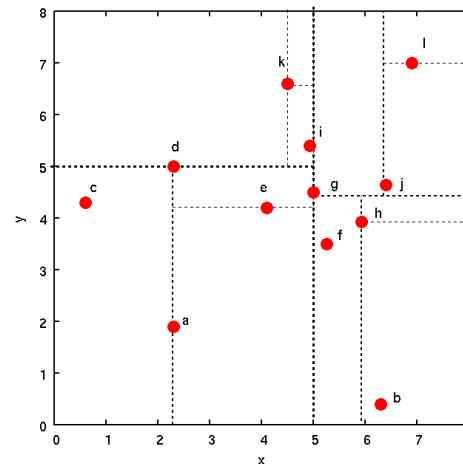
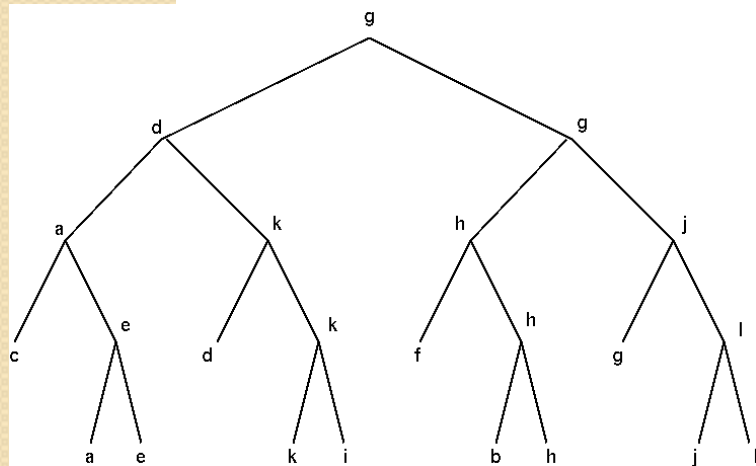
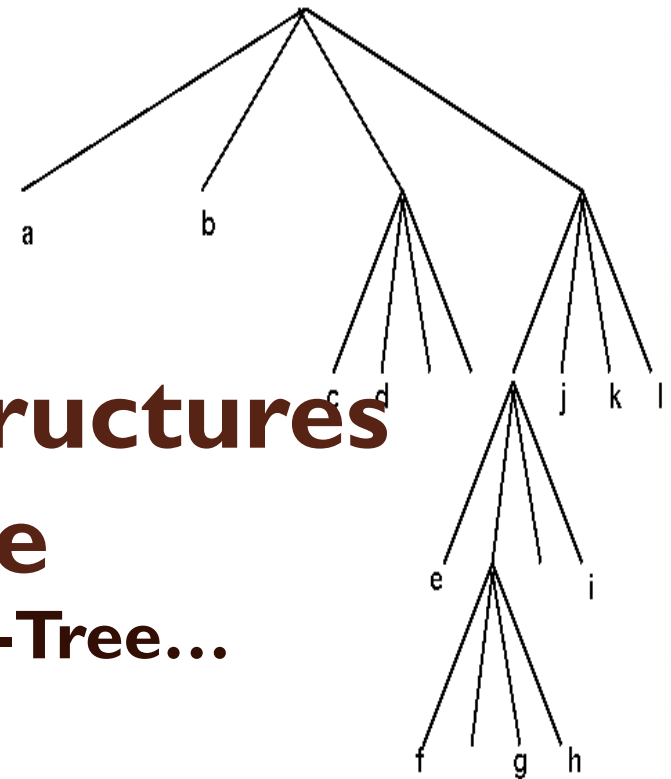
L'algorithmique géométrique est l'étude de **problèmes géométriques** et des **algorithmes** permettant de les traiter du point de vue de la **complexité** et de la robustesse.

<u>Problèmes de base</u>	<u>Approches déterministes</u>	<u>Complexité</u>
Localisation et recherche	Incrémentale	Temps/Mémoire
Enveloppes Convexes	Diviser pour régner	Moyenne/Pire cas
Calcul de proximité	Balayage	Algo./Problème

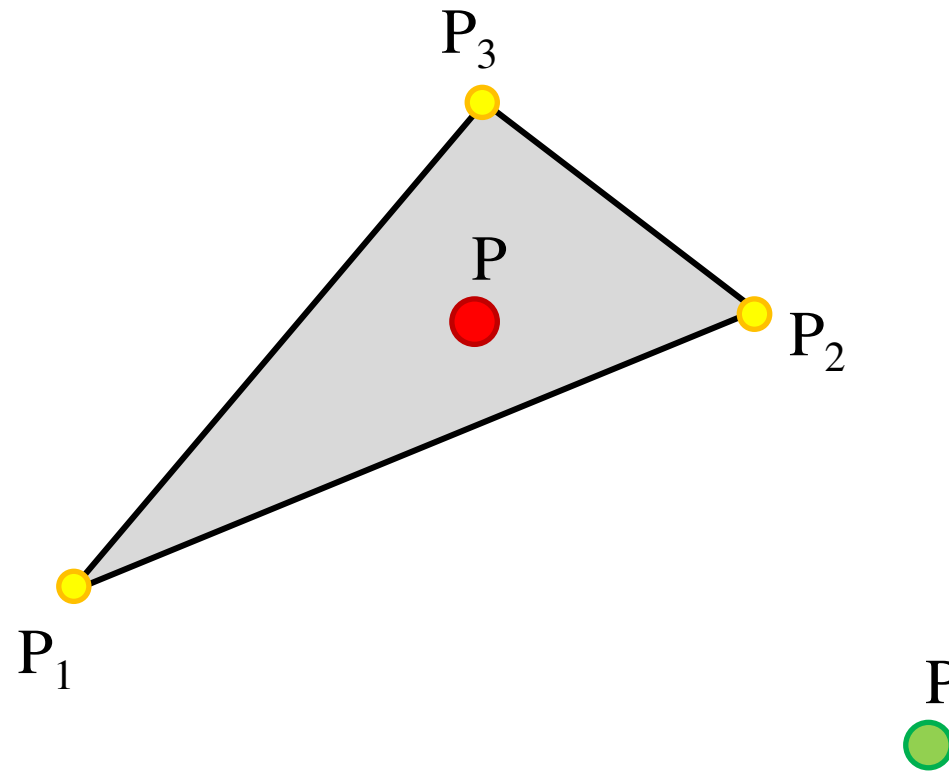


2. Localisation et Structures de Recherche

QuadTree, Octree, KD-Tree...

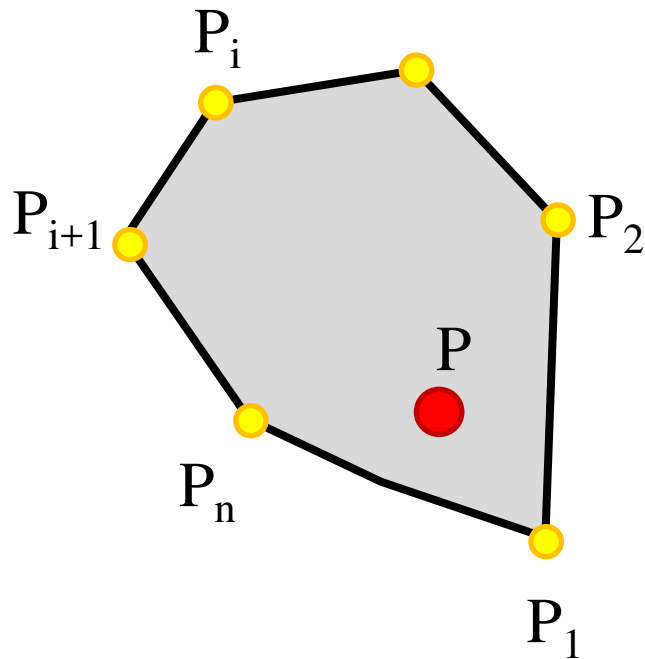


Localisation d'un Point : est-il dans ou hors du triangle ?



Et si on ne connaît pas l'orientation du triangle ?

Point dans convexe ?

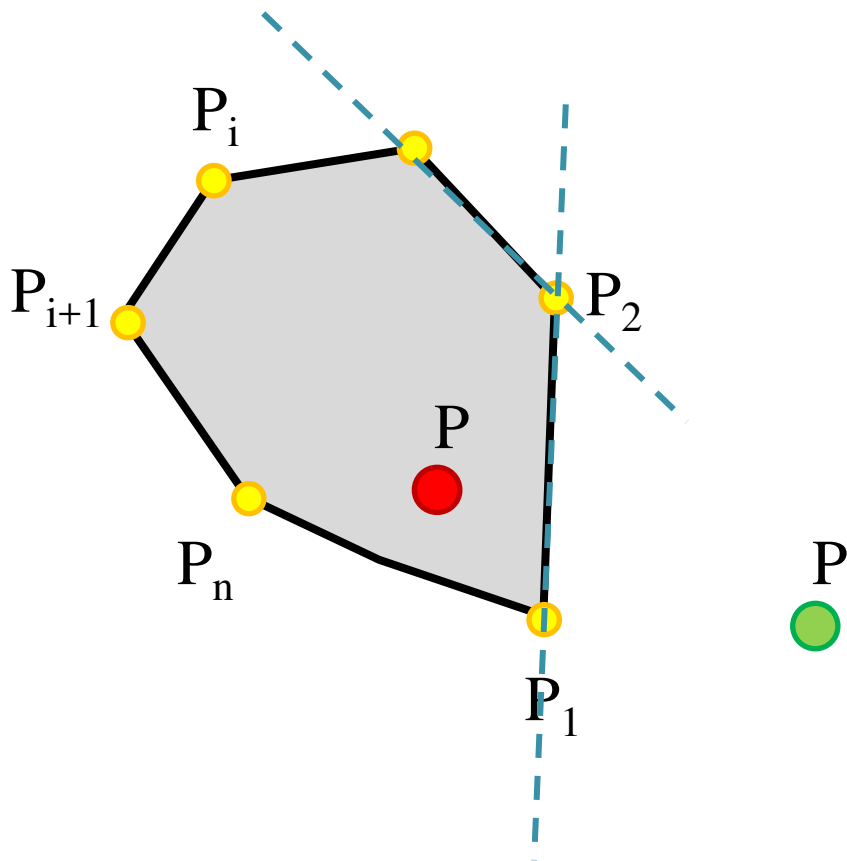


Le polygone = $\{P_i(x_i, y_i)\}$



Complexité de l'algorithme ?

Point dans convexe ?

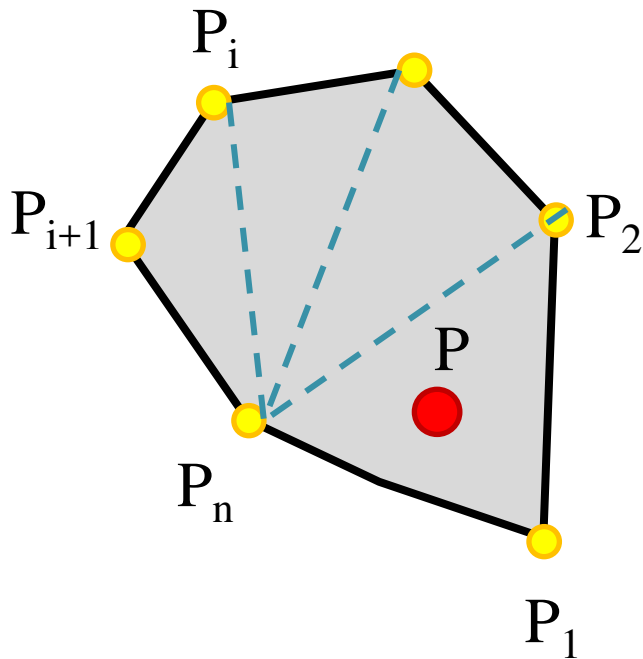


Le polygone = $\{P_i(x_i, y_i)\}$

➔ Parcours des arêtes

Complexité de l'algorithme ?

Point dans convexe ?



Le polygone = $\{P_i(x_i, y_i)\}$

→ Triangulation

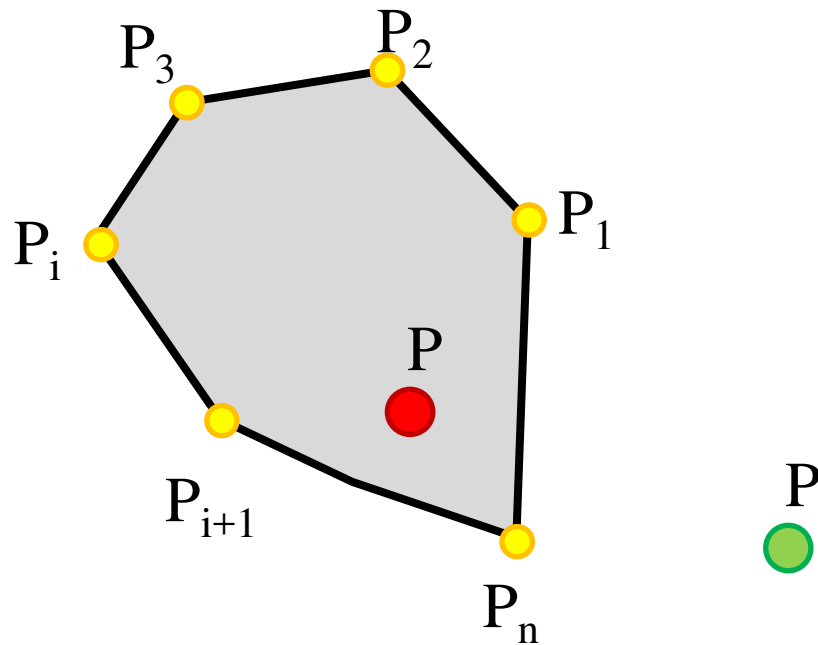


EXERCICE : proposez
un algorithme en
 $O(n + k \log(n))$

Complexité de l'algorithme ?

EXERCICE: Point dans convexe ?

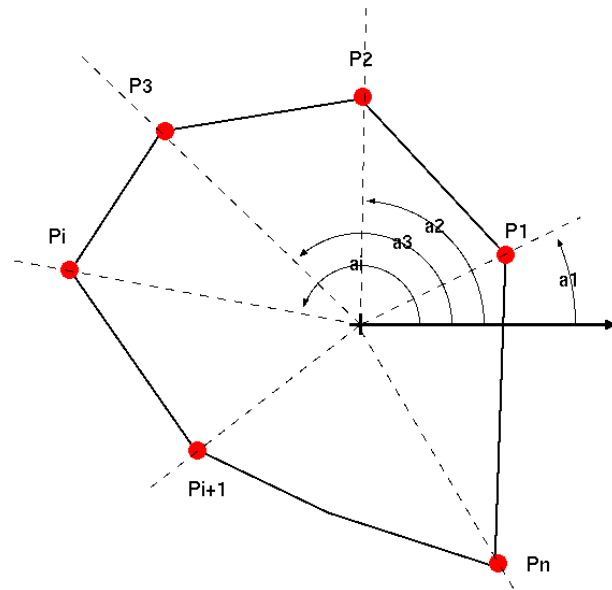
Algorithme efficace pour traiter K points (K grand)



EXERCICE : proposez
un algorithme en
 $O(n + k \log(n))$

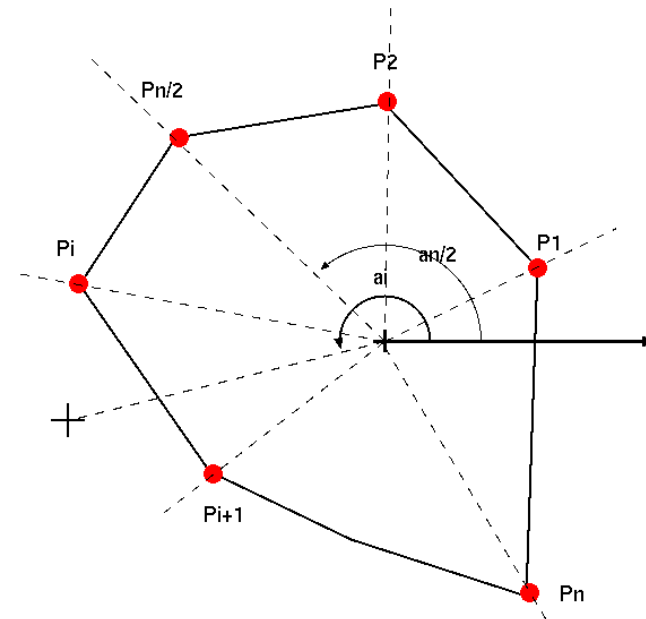
EXERCICE: Point dans convexe ?

Algorithme efficace pour traiter K points (K grand)



Préparation :
« construction » des secteurs

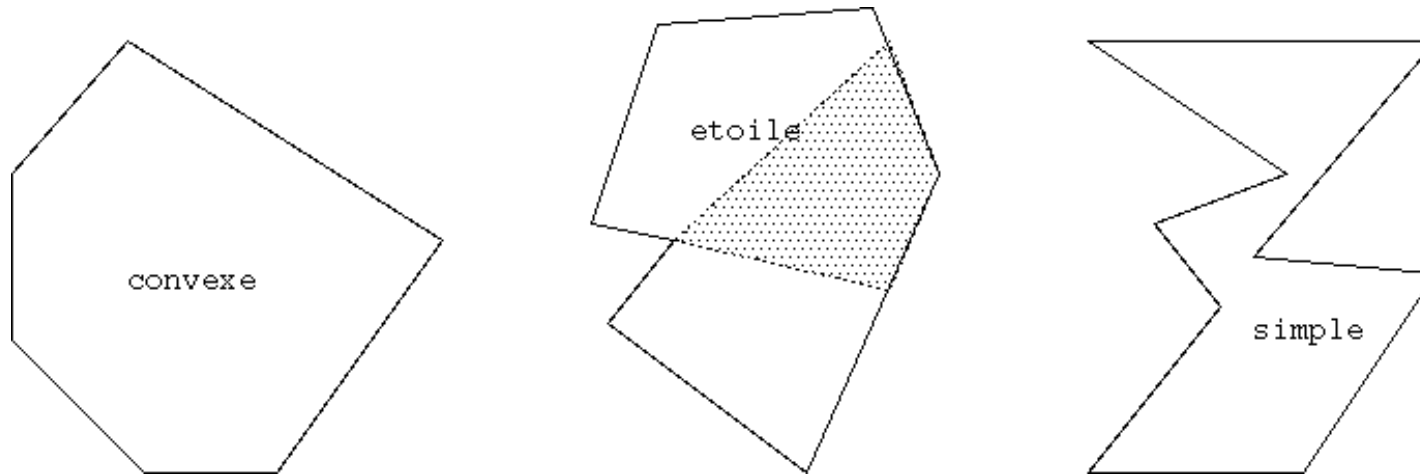
$O(n)$



Requête :
accès par dichotomie

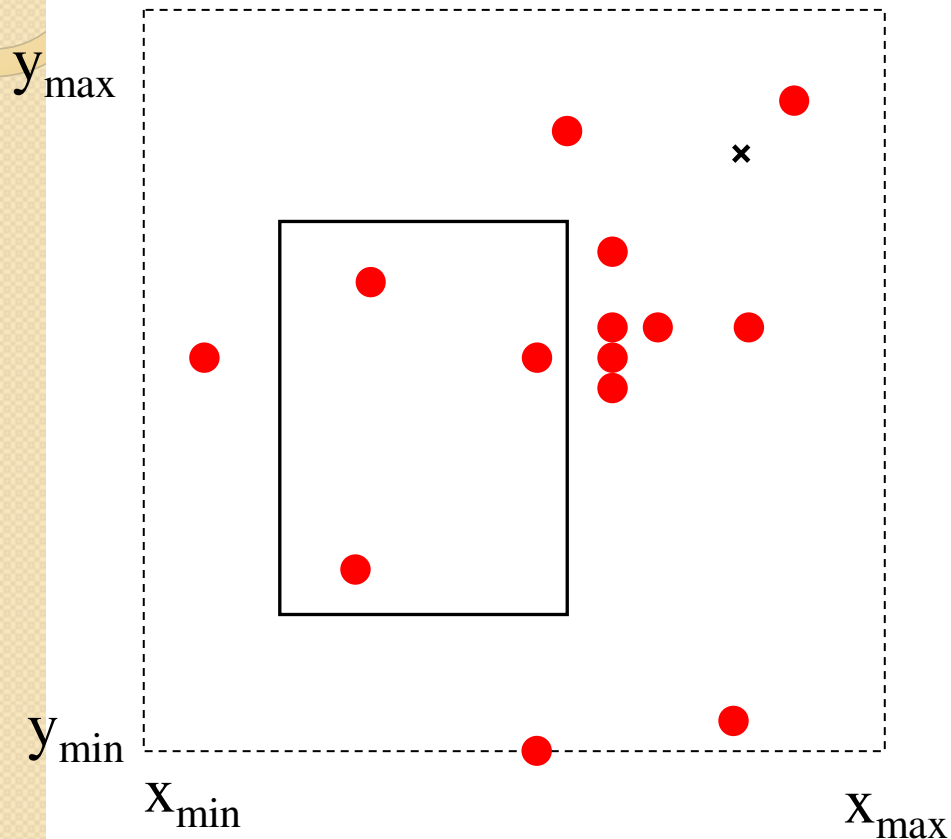
$O(\log(n))$

Point dans polygone ?



Polygone	Temps	Mémoire	Pré-traitement
Simple	$O(n)$	$O(n)$	-
Etoilé	$O(\log(n))$	$O(n)$	$O(n)$
Convexe	$O(\log(n))$	$O(n)$	$O(n)$

Arbres de recherche



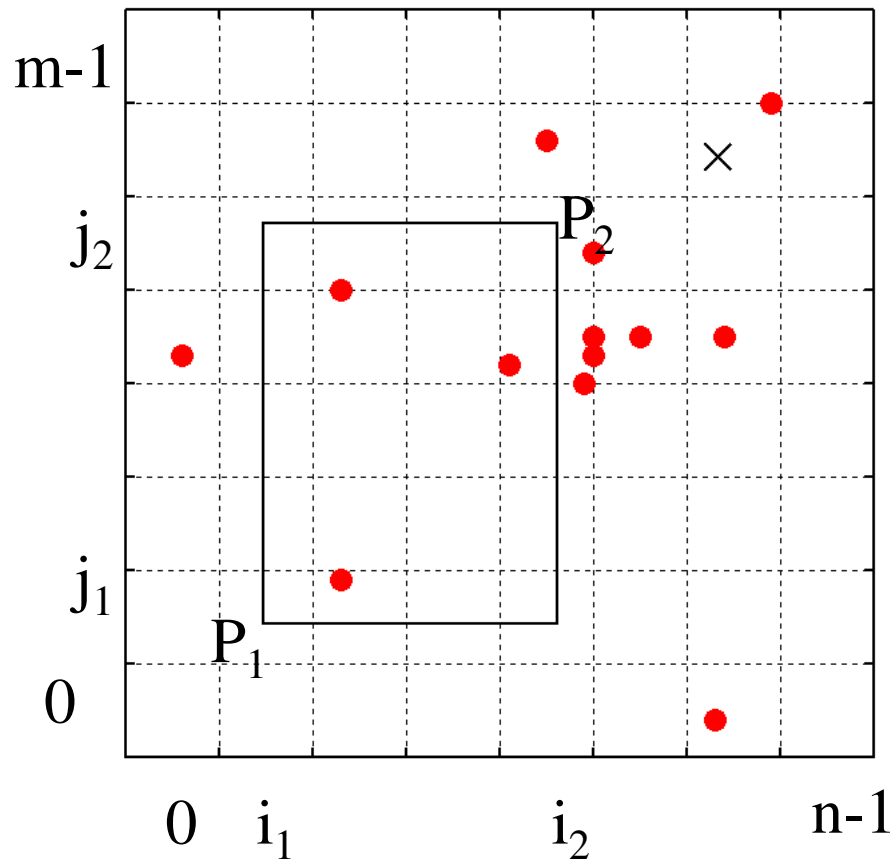
OBJECTIF

Optimiser les requêtes

PRINCIPE

1. Limitation de l'espace
2. Structure de découpage

La grille



Requête boîte $B(P_1, P_2)$

$P_1 = (x_1, y_1)$, $P_2 = (x_2, y_2)$

$$i_1 = \text{floor}(n * (x_1 - x_{\min}) / (x_{\max} - x_{\min}))$$

$$j_1 = \text{floor}(m * (y_1 - y_{\min}) / (y_{\max} - y_{\min}))$$

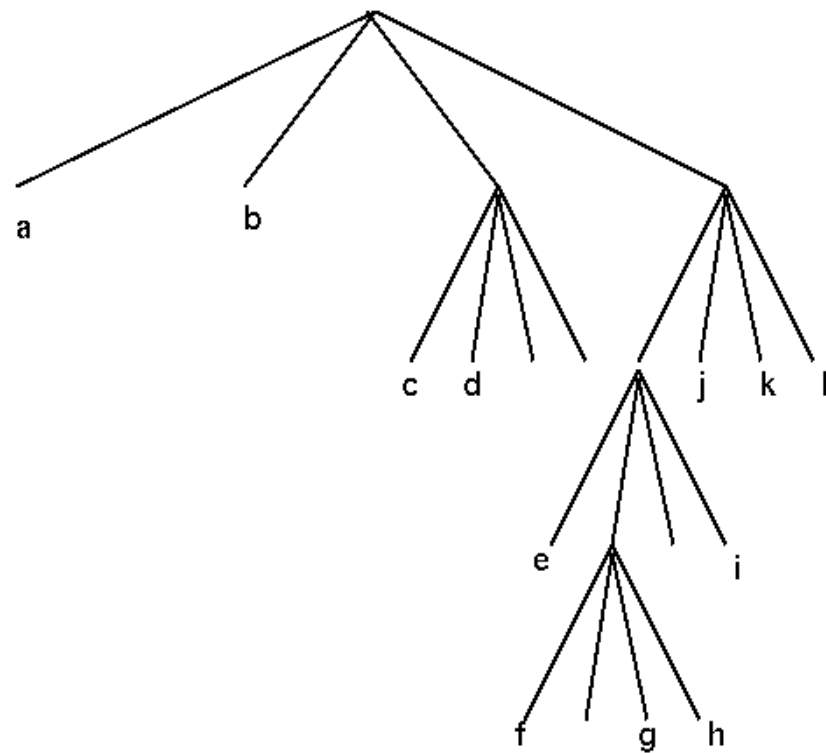
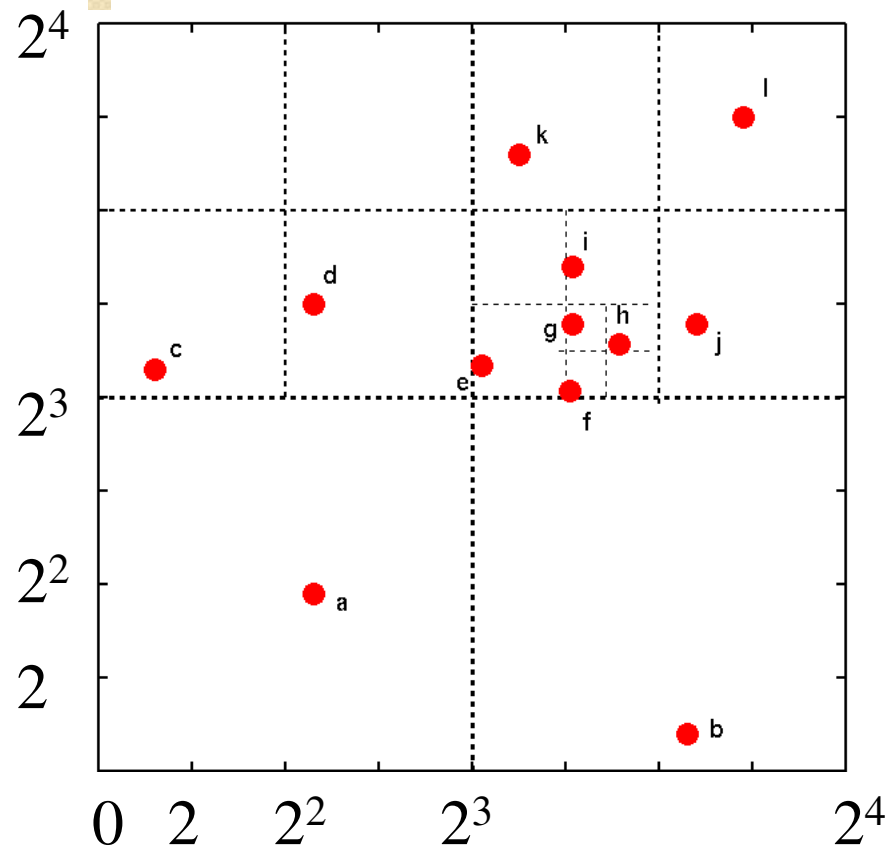
$$i_2 = \text{floor}(n * (x_2 - x_{\min}) / (x_{\max} - x_{\min}))$$

$$j_2 = \text{floor}(m * (y_2 - y_{\min}) / (y_{\max} - y_{\min}))$$

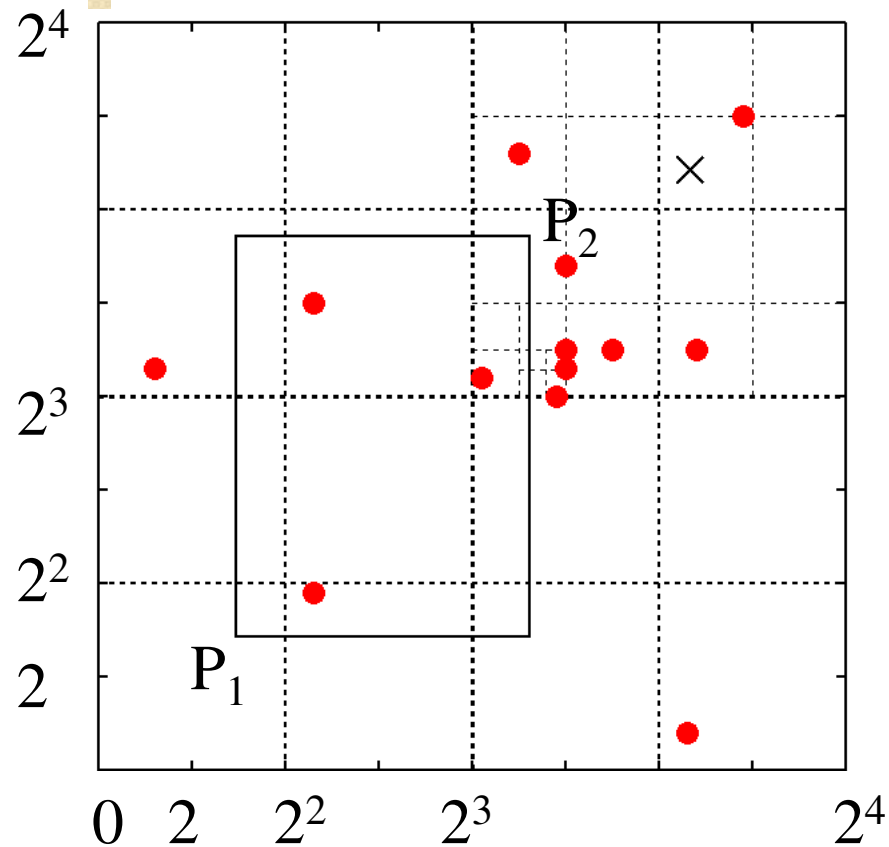
Cellules de i_1 à i_2 et de j_1 à j_2

`floor()` renvoi la partie entière

Le Quadtree



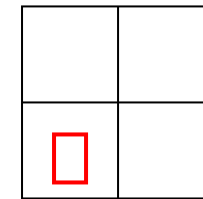
Requêtes sur un quadtree



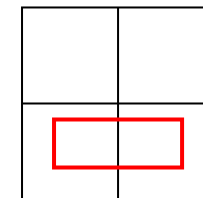
2^{d-i}	2	3
	0	1
	2^{d-i}	

$C = \text{Classement}(P_1, P_2, d, i)$

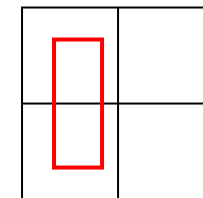
$C = (0, 0)$



$C = (0, 1)$



$C = (2, 3)$

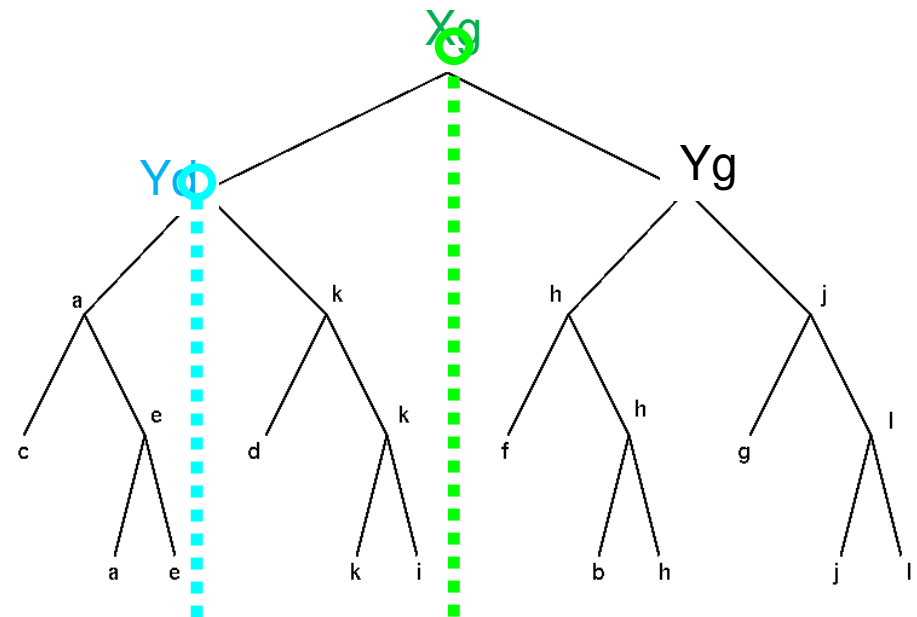
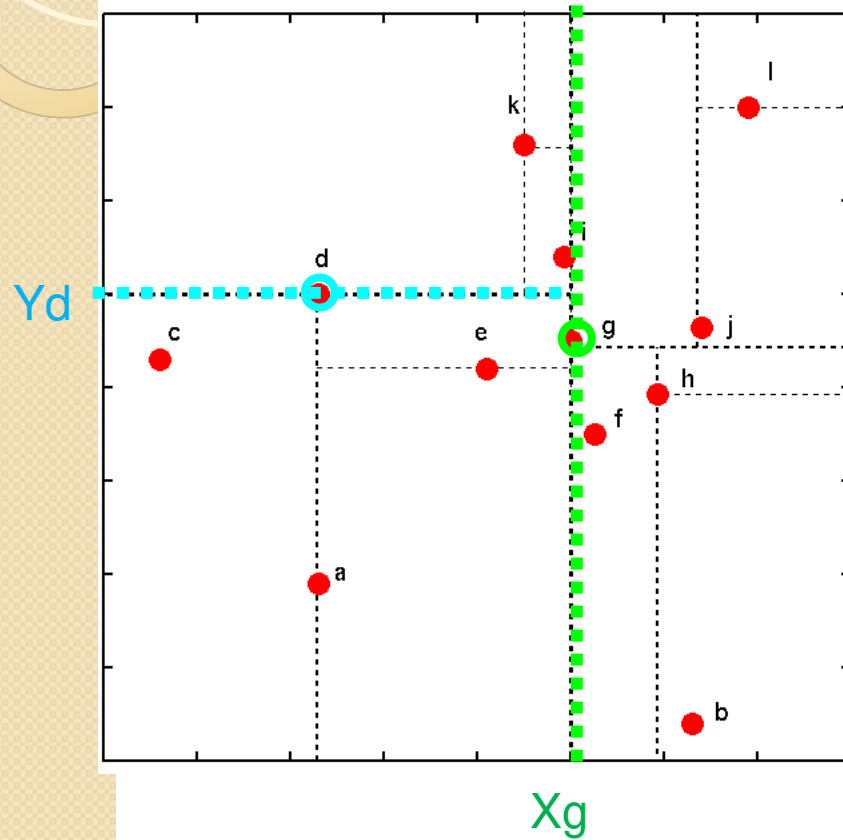


$C = (0, 2)$

$C = (1, 3)$

...

Le KDtree



Construction du KDTree

tabX

c a d k e i g f h b j l

tabY

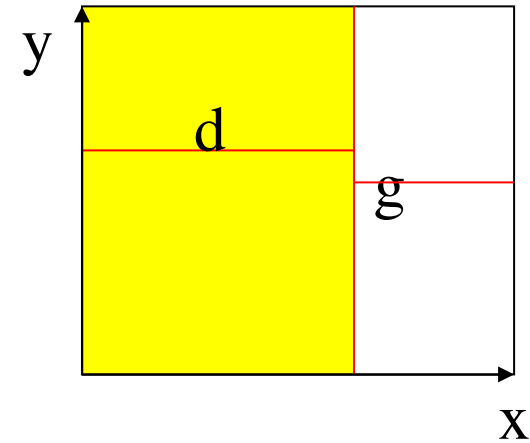
b a f e c h g j d i k l

tabY1G

a e c d i k

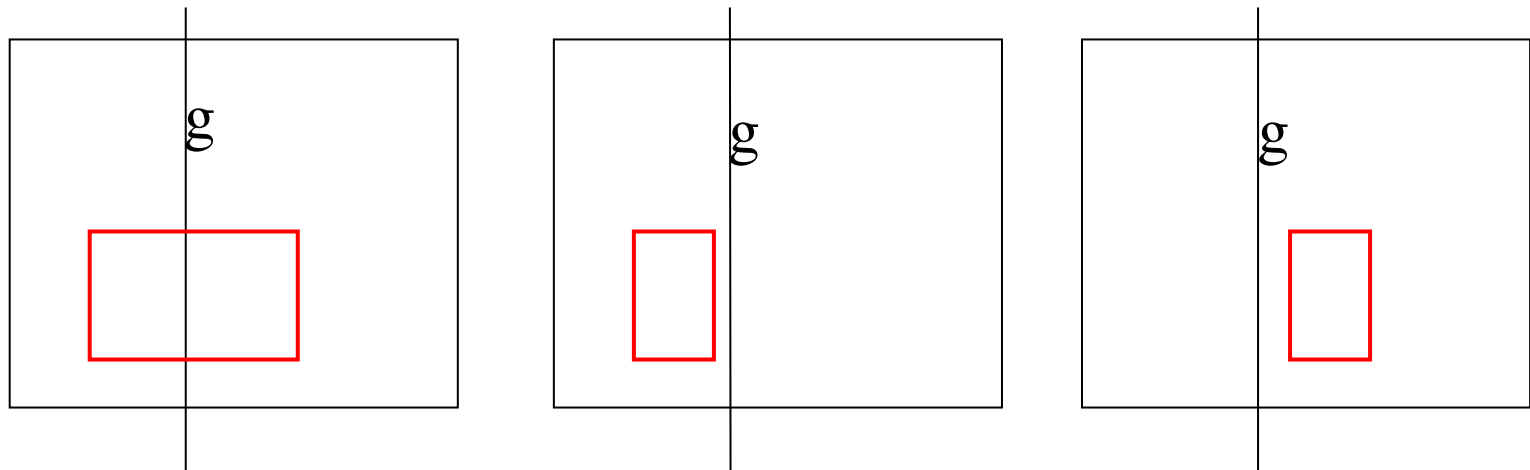
tabY1D

b f h g j l



Requêtes sur un KDtree

3 cas de récursion

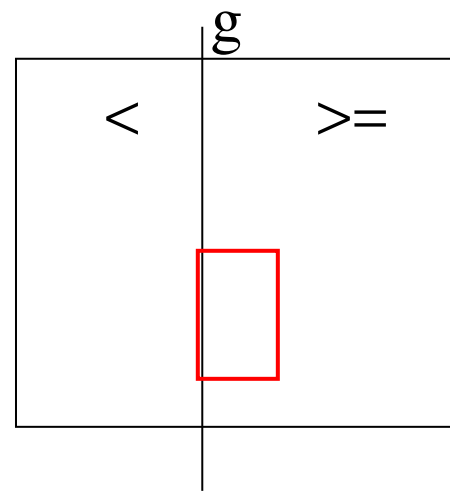
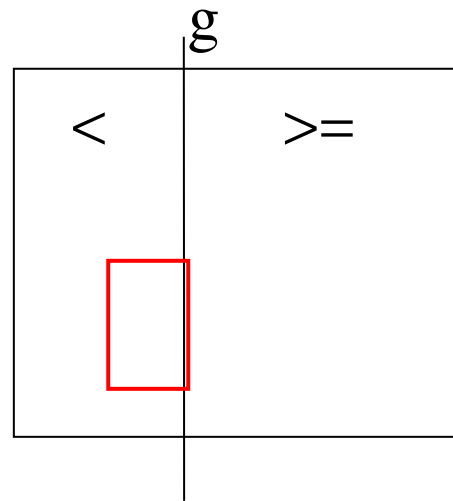


g est la valeur du pivot

Question :

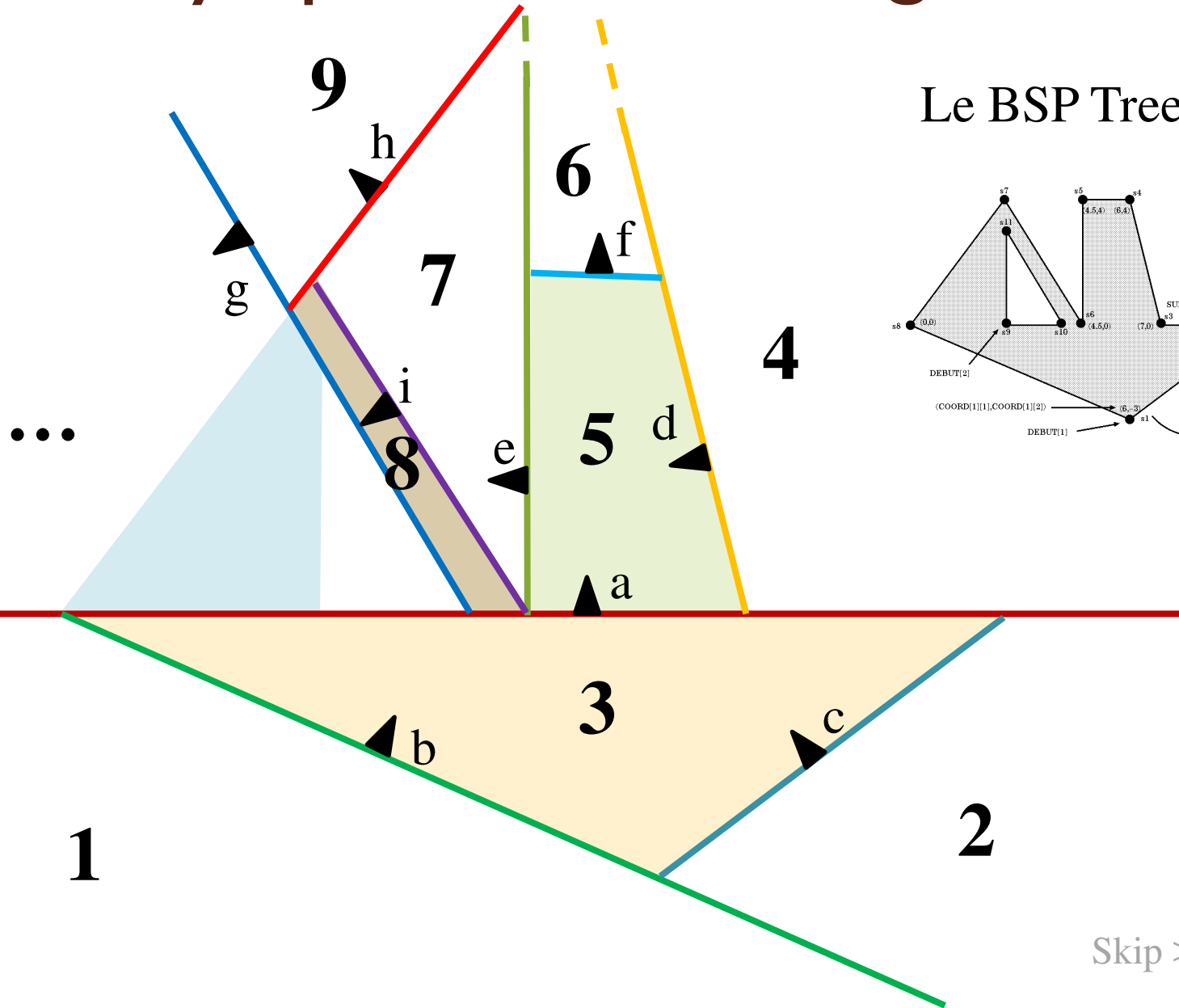
1) Faut-il visiter le SAD
si $\max(X_{box}) = g$?

2) Faut-il visiter le SAG
si $\min(X_{box}) = g$?

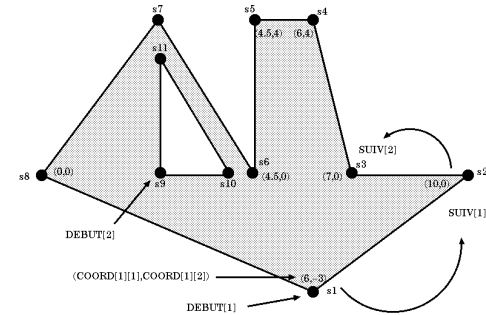


g est la valeur du pivot

Binary Space Partitioning Tree

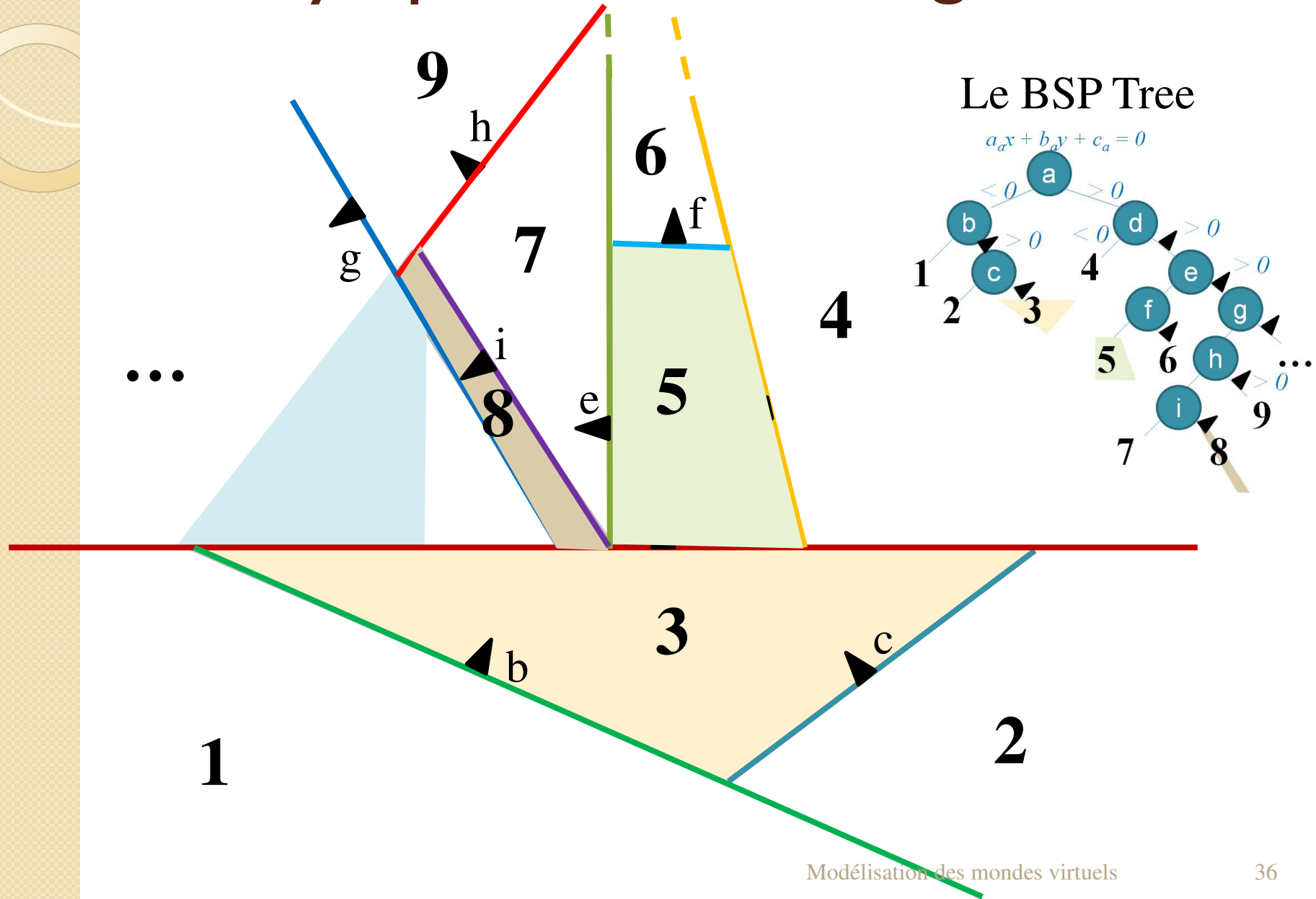


Le BSP Tree

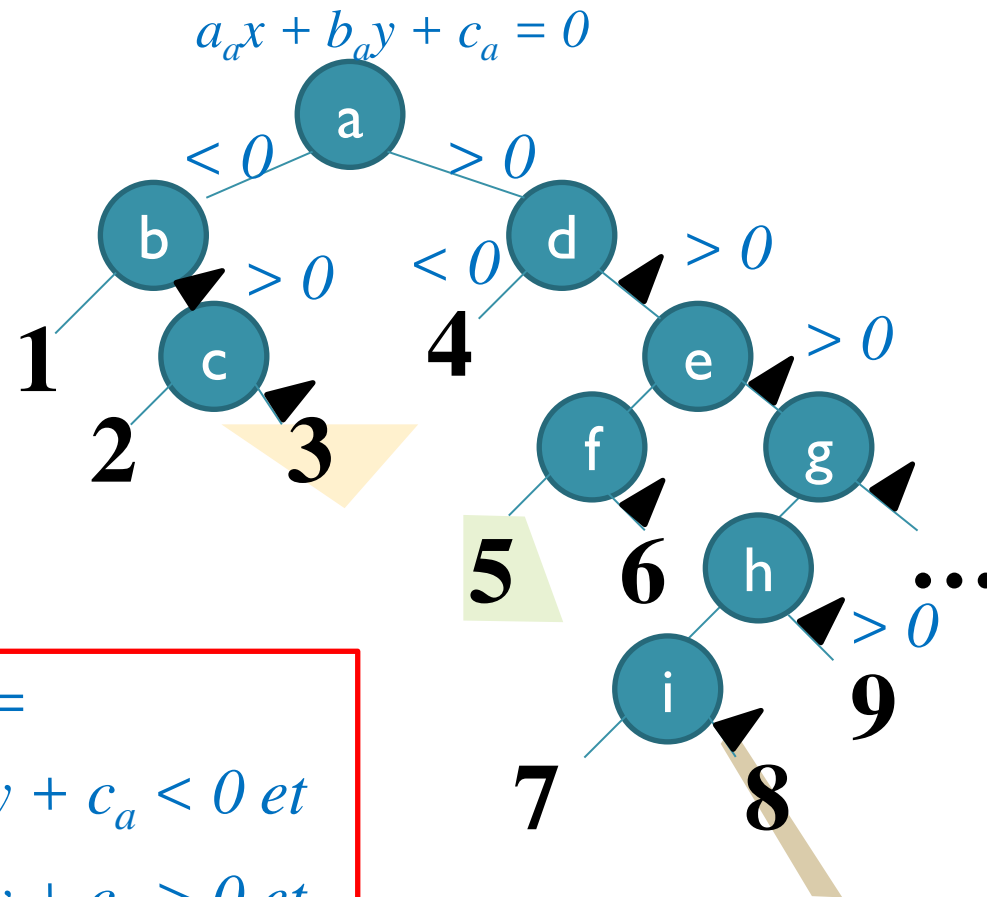


Skip >

Binary Space Partitioning Tree



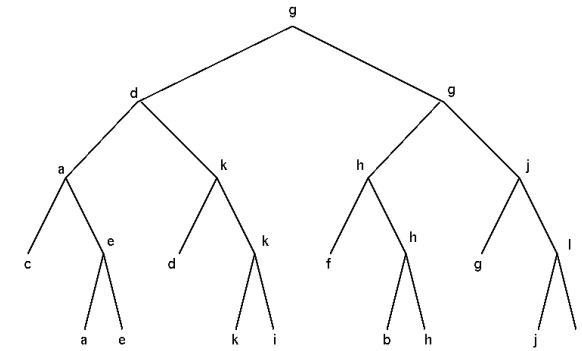
Binary Space Partitioning Tree



$\mathbf{3} =$
 $a_x x + b_x y + c_x < 0$ et
 $a_b x + b_b y + c_b > 0$ et
 $a_c x + b_c y + c_c > 0$

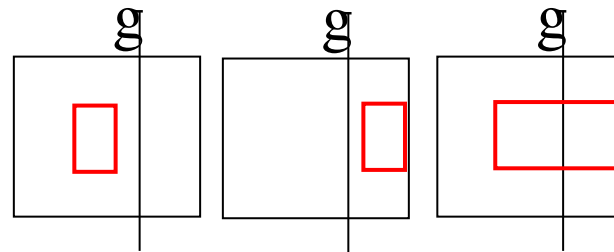


TP : KDTree

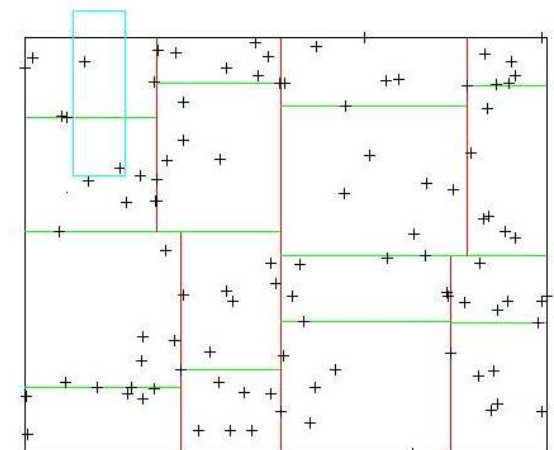
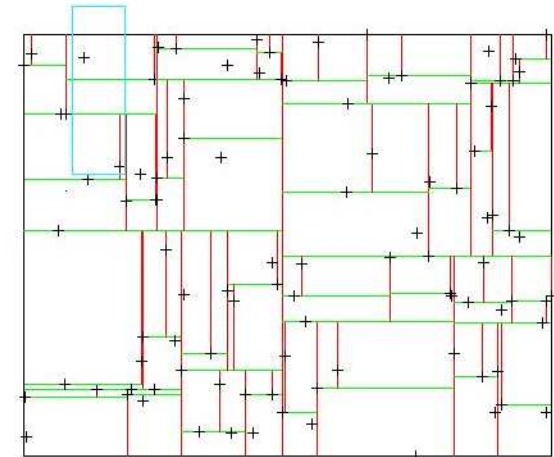


1. Manipulation de KDTree ; utilisation de :
 $[KDT]=buildKDTree(XY);$

2. Programmation de la fonction
 $[]=findInBox(KDT,Box)$

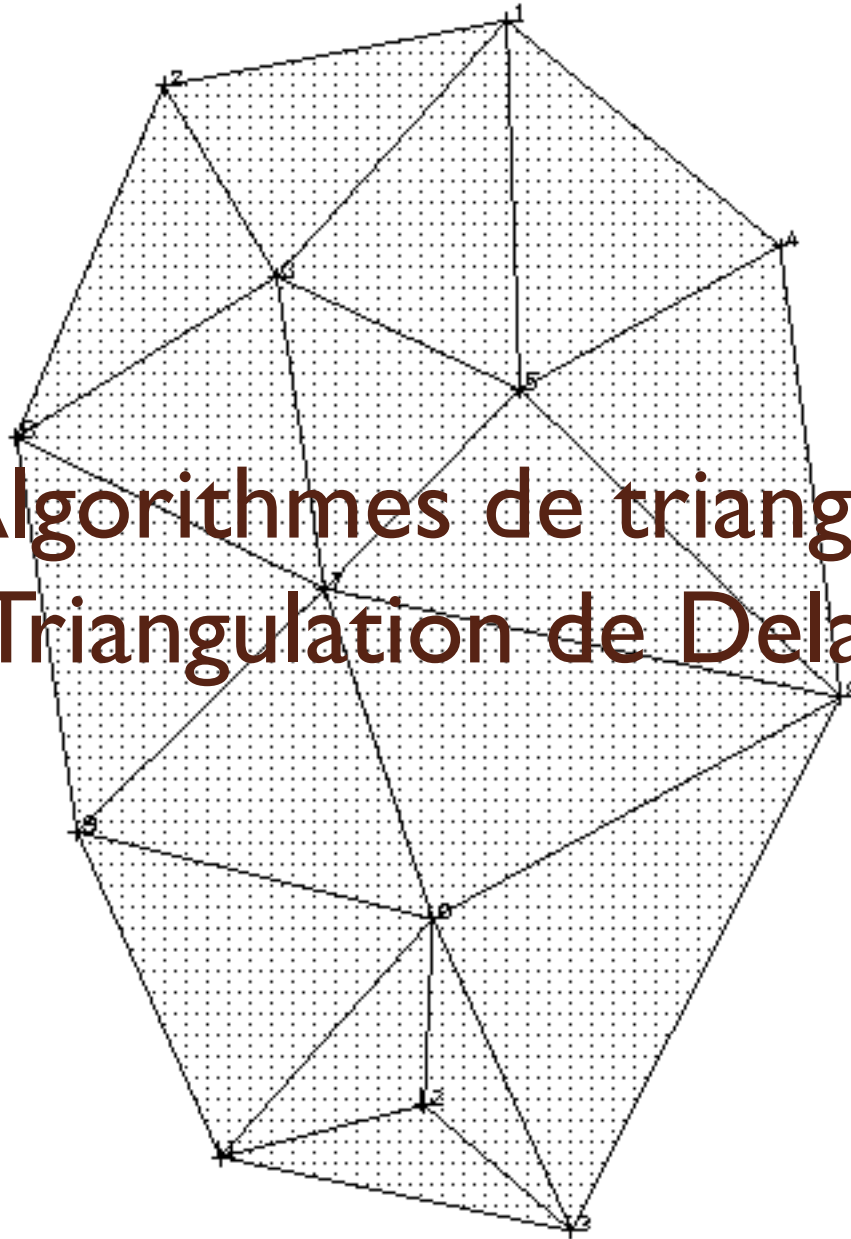


3. Manipulation de KDTree avec des clusters > 1





3. Algorithmes de triangulations Triangulation de Delaunay



Cardinaux (cas 2D)

Relation d'Euler

adaptée : $t - a + s = 1$

Triangulation : $a' + 2a'' = 3t$

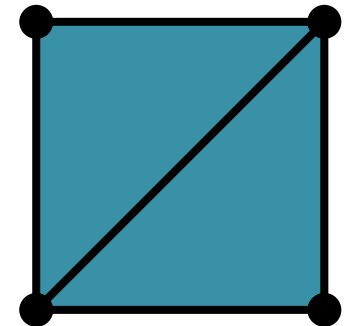
$$t = 2s - a' - 2$$

a' le nombre d'arêtes de frontière

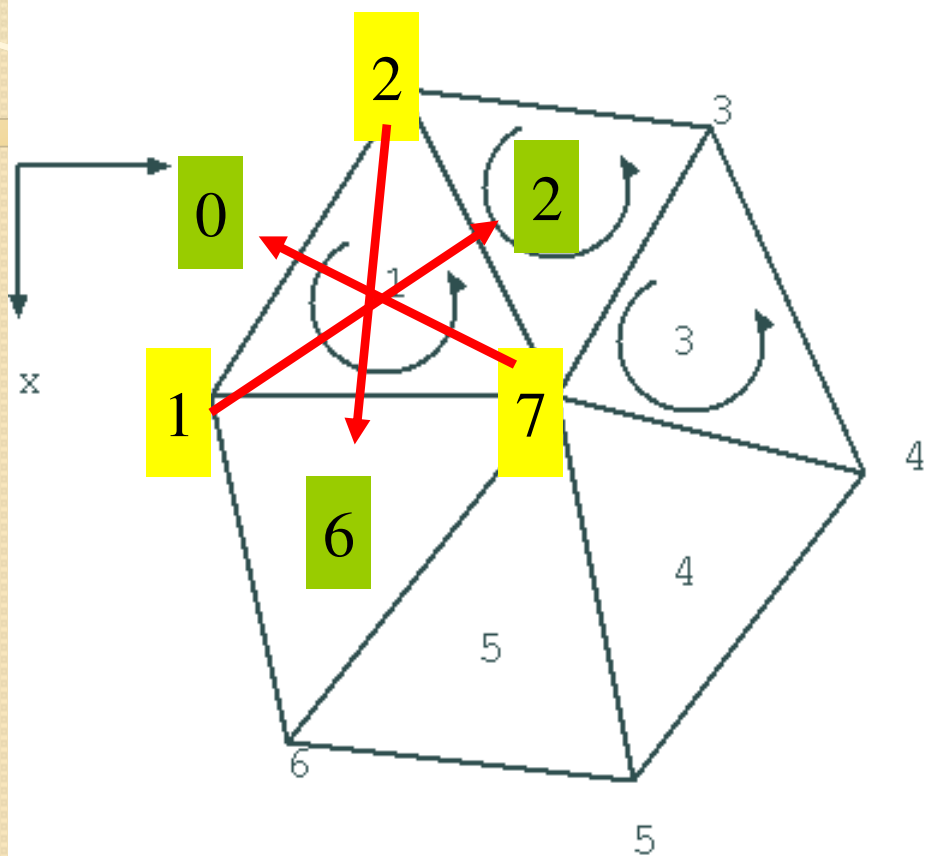
$$2 - 5 + 4 = 1$$

$$4 + 2 = 3 * 2$$

$$2 = 8 - 4 - 2$$



Structure



ITRNOE

1	1,7,2
2	3,2,7
3	7,4,3
4	7,5,4
	...

ITRTRI

1	2,0,6
2	1,3,0
3	0,2,4
4	0,3,5
	...

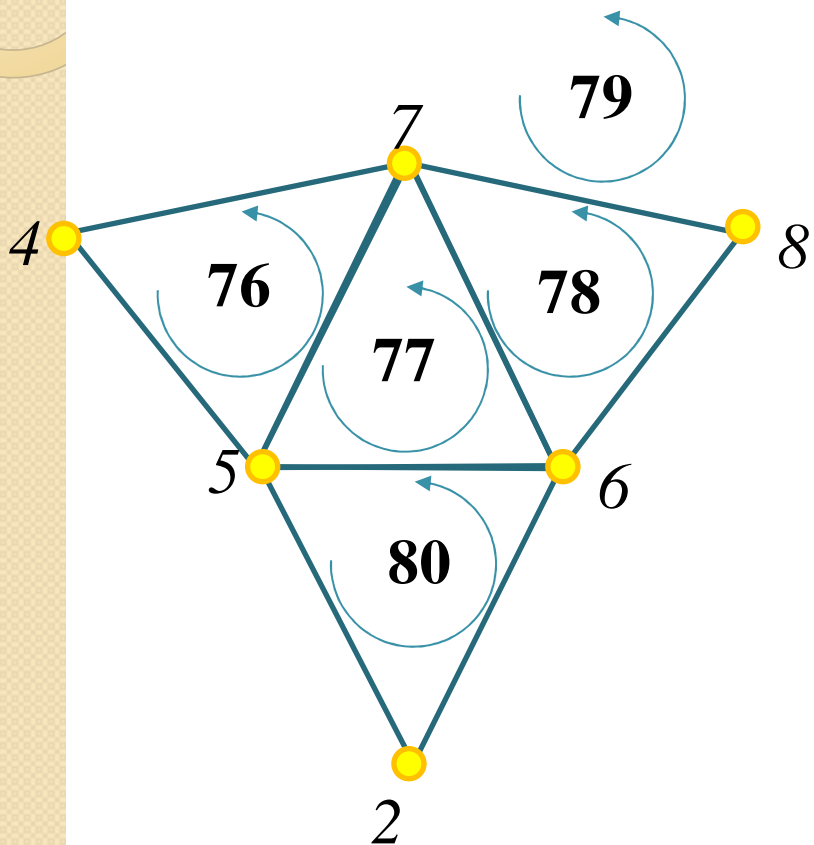
COORD

1	1.5,1.2
2	-.5,2.5
3	-.2,4.5
	...

NOETRI

1	6
2	2
3	2

Structure



NOETRI

7 77

ITRNOE

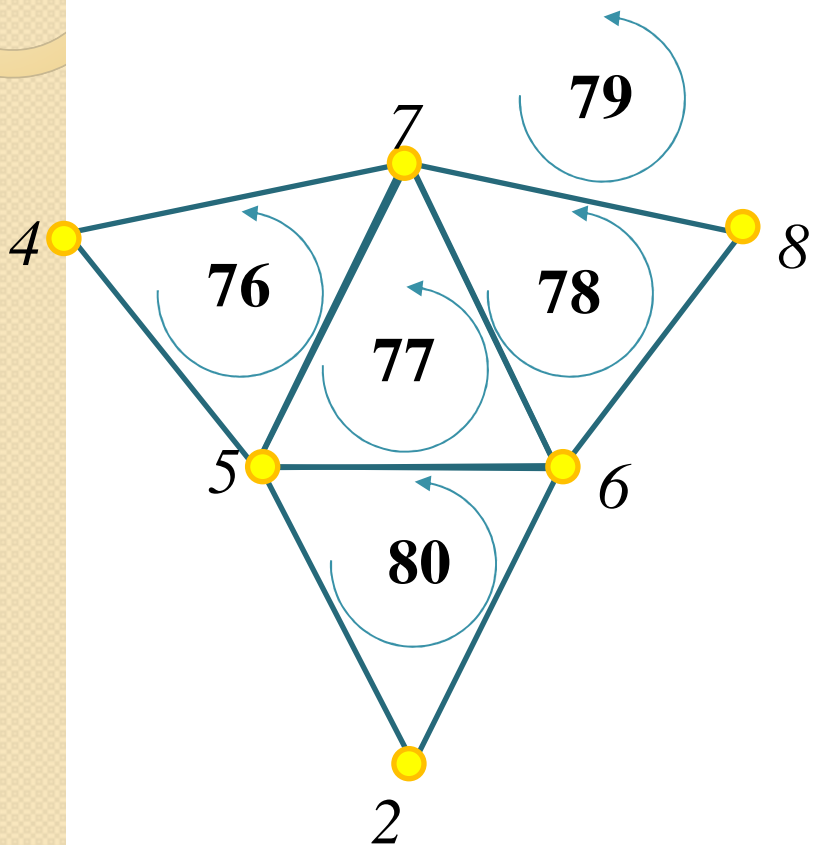
77			
78			
79			
80			

ITRTRI

Algo de parcours

```
iel0=NOETRI(S); iel= iel0;  
do {  
  ...  
  ...  
  ...  
  ...  
} while (iel != iel0)
```

Structure



NOETRI

7 77

ITRNOE

77	6	7	5
78	6	8	7
79	7	8	?
80	2	6	5

ITRTRI

76	80	78
79	77	?
?	?	77
77	?	?

Algo de parcours

iel0=NOETRI(S); iel= iel0;

do {

...

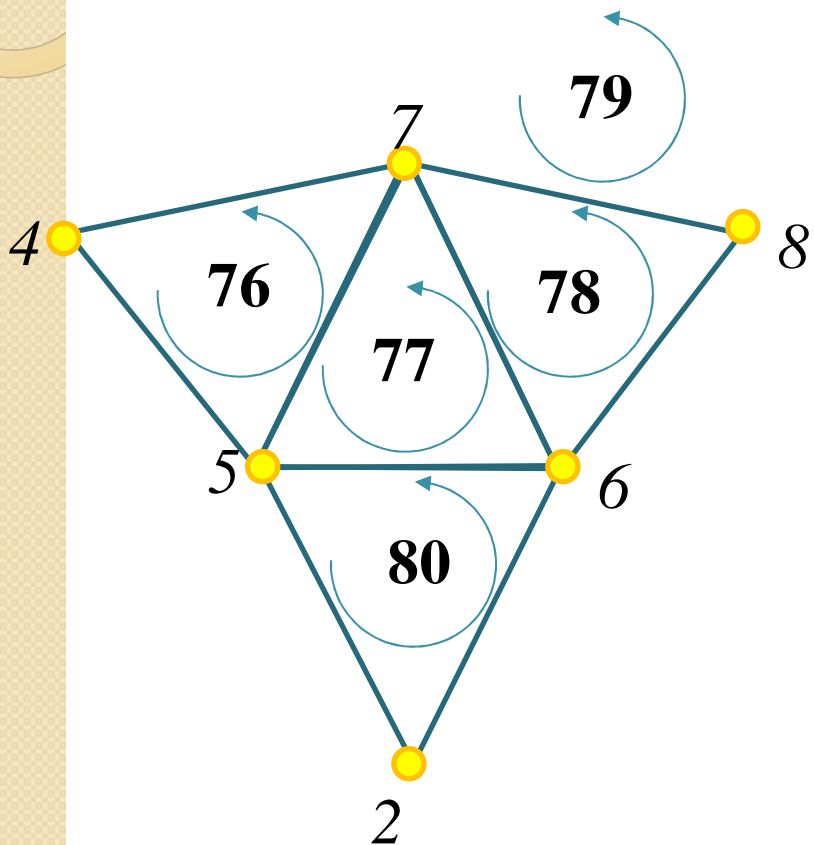
...

...

...

} while (iel != iel0)

Structure



NOETRI

7 77

ITRNOE

77	6	7	5
78	6	8	7
79	7	8	?
80	2	6	5

ITRTRI

76	80	78
79	77	?
?	?	77
77	?	?

Algo de parcours

faire tourner pour S=7 :

iel0=NOETRI(S); iel= iel0;

do {

 i=1;

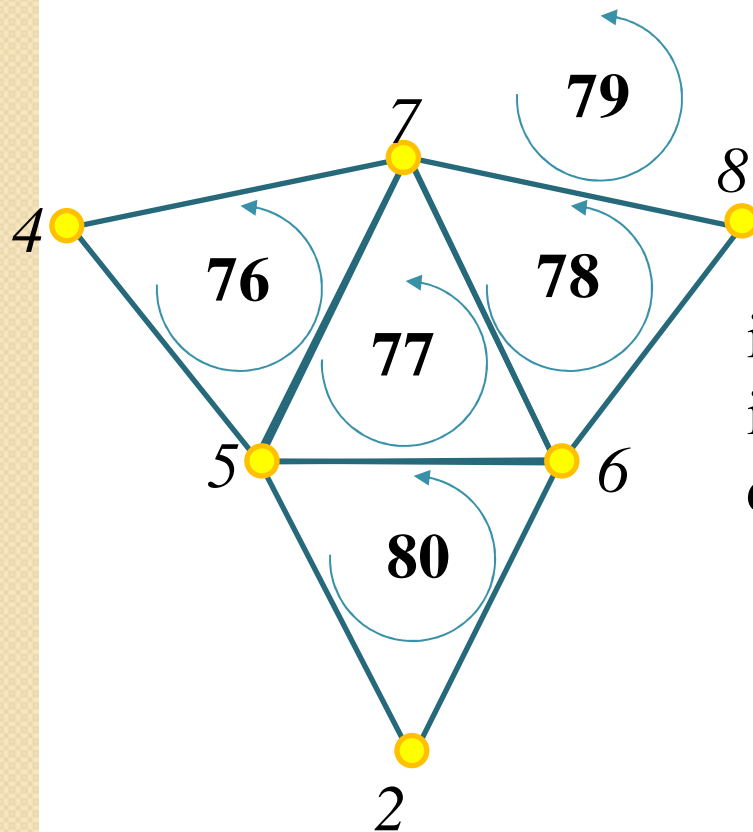
 while(ITRNOE(iel,i)!=S) i=i+1;

 i=modulo(i,3)+1

 iel=ITRTRI(iel,i)

} while (iel != iel0)

Structure Optimisée



indice du sommet dans ITRNOE

NOETRI

7 **77** (2)

ITRNOE

77	6	7	5
78	7	6	8
79	8	?	7
80	5	2	6

sommets opposés

ITRTRI

76	80	78
?	79	77
77	78	?
?	77	?

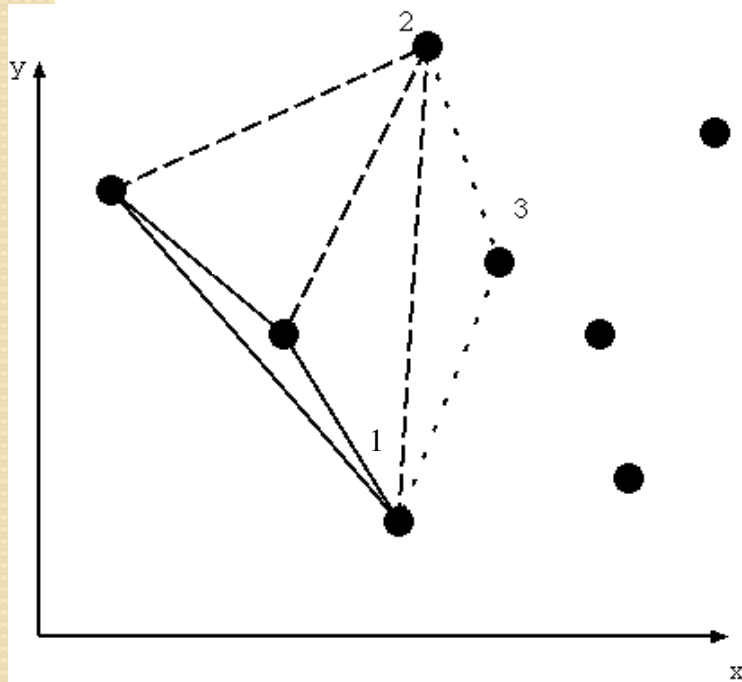
sommets opposés

Algo de parcours

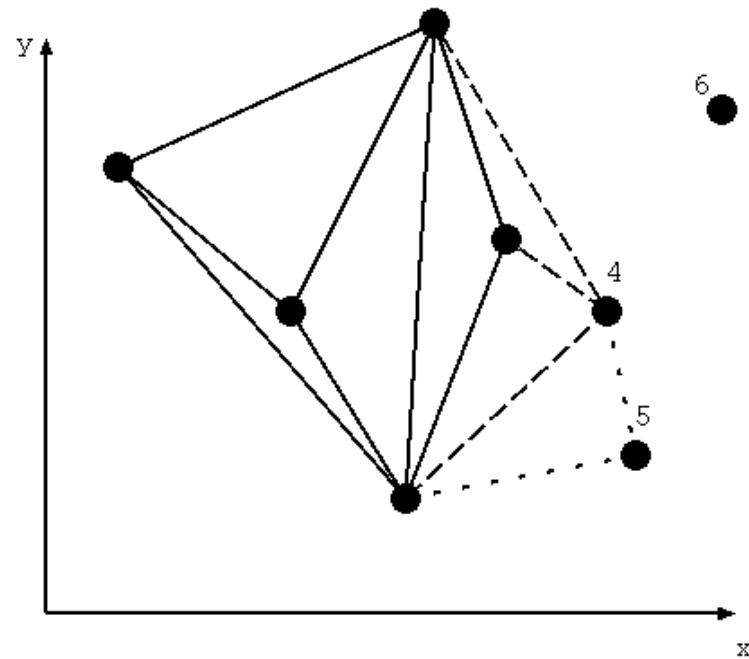
```

iel0=NOETRI(S);      iel=77,
i=I(S);iel= iel0; i=(2) i=2
do {
  i=modulo(i,3)+1    i=3      i=2
  [iel]=ITRTRI(iel,i) iel=78  iel=79
  i=modulo(i,3)+1    i=1      i=3
} while (iel != iel0)
  
```

Triangulation par balayage



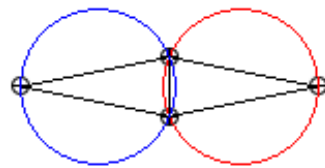
Tri en X :
 $O(n \cdot \log_2(n))$



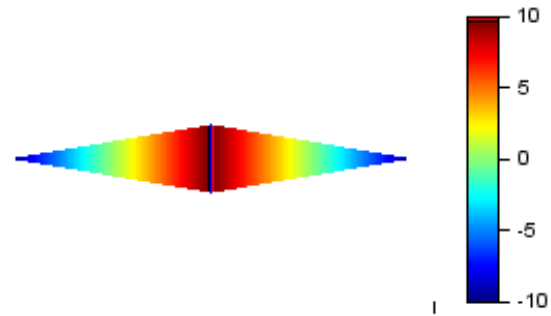
Balayage en X :
 $O(n)$

Qualité des triangulations

Triangulation des points



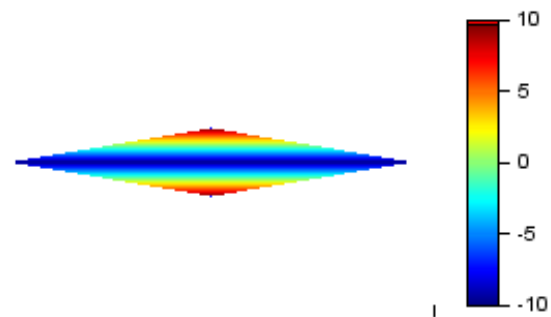
Interpolation sur la triangulation



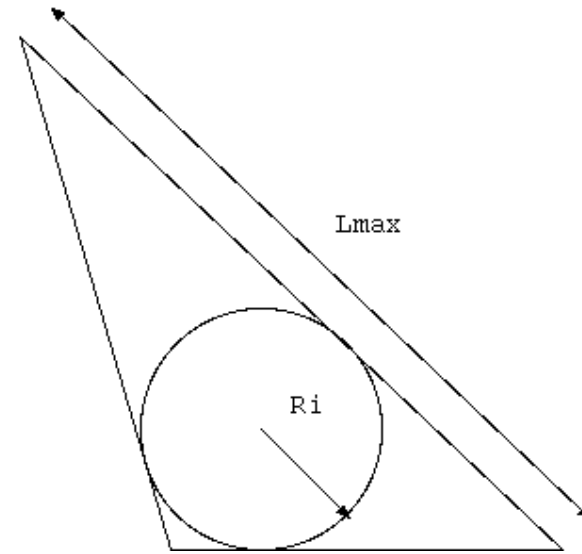
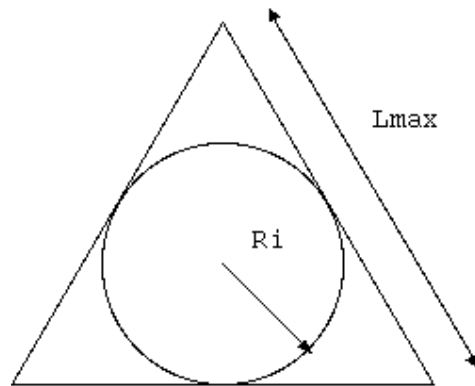
Triangulation des points



Interpolation sur la triangulation



Qualité des triangulations



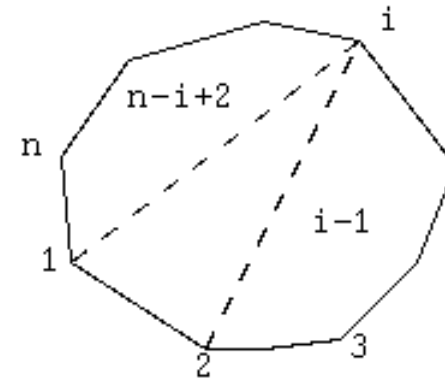
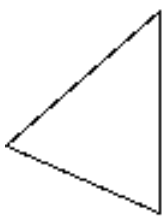
Coefficients de qualité :

$$c_1 R_i / L_{max},$$

$$l_{min} / L_{max},$$

$$c_3 L_{max} / R_c$$

Nombre de triangulations

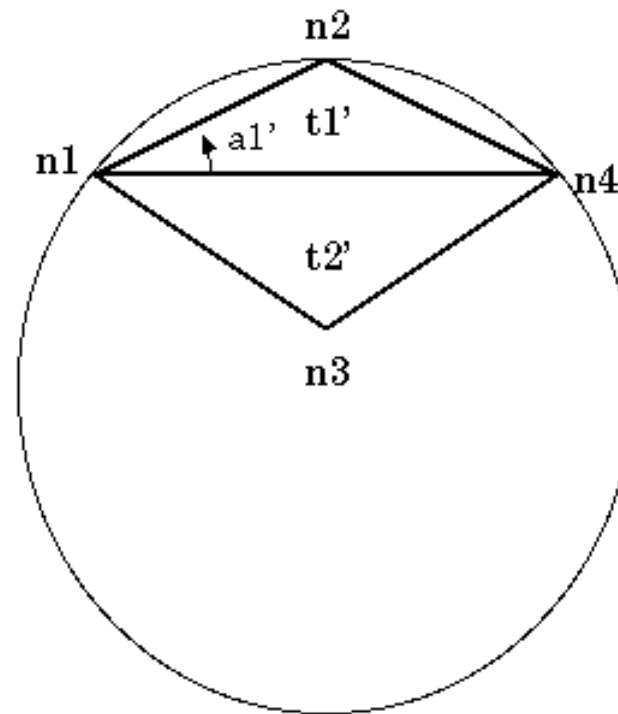
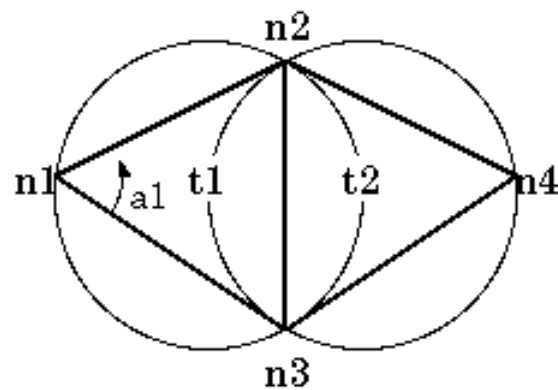


$$C_{14} = 208012$$

$$C_n = \sum_{i=3}^n C_{i-1} * C_{n-i+2}$$

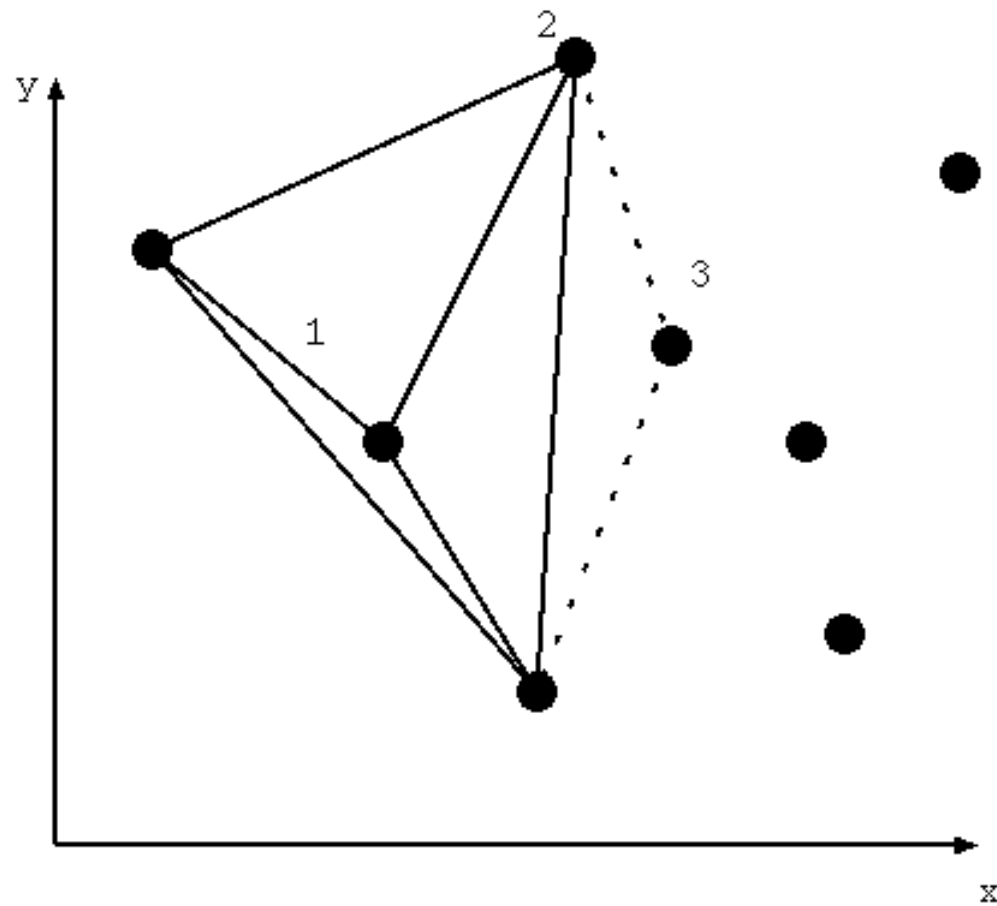
Propriété de Delaunay

Soit T une triangulation s'appuyant sur les points de N .
 T est de Delaunay ssi : $\forall t \in T, \forall n \in N, n \notin B(t)$

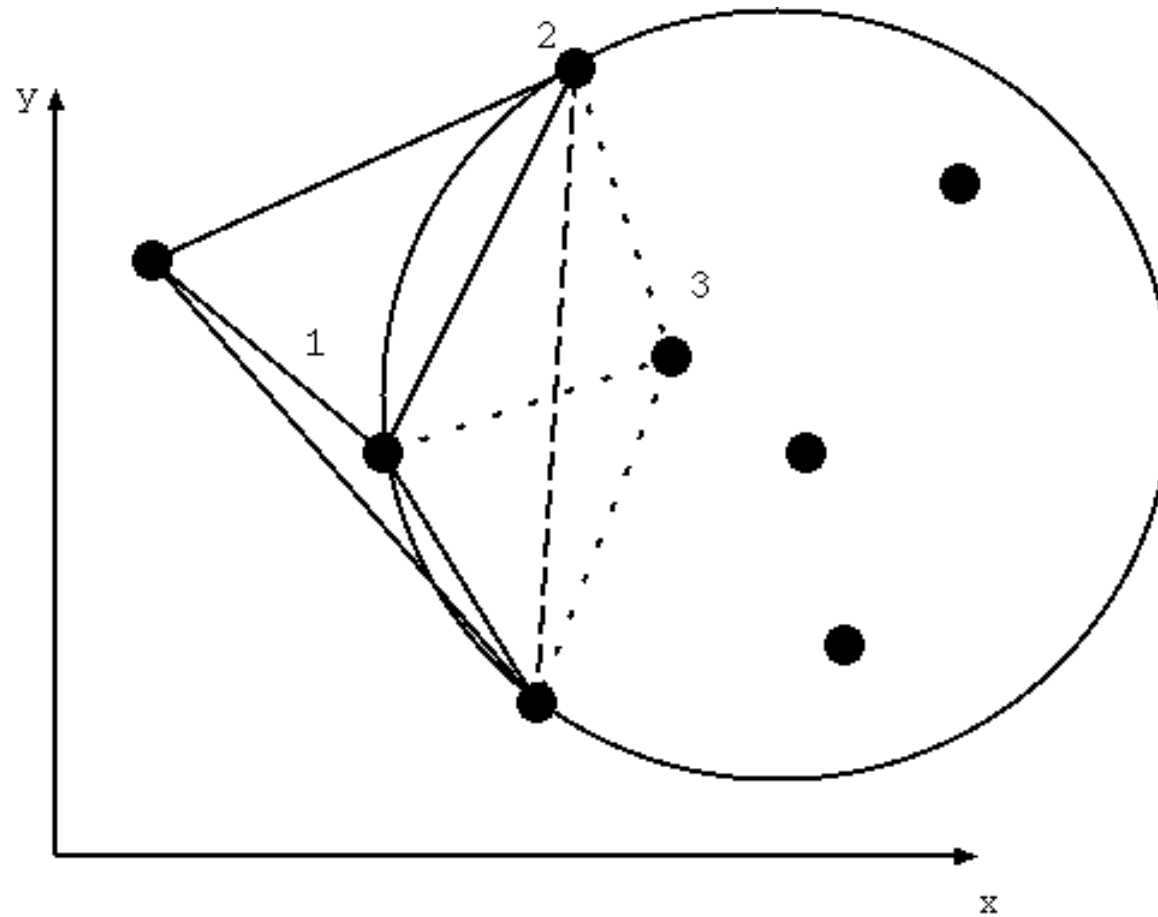


La propriété de Delaunay
maximise les angles en 2D

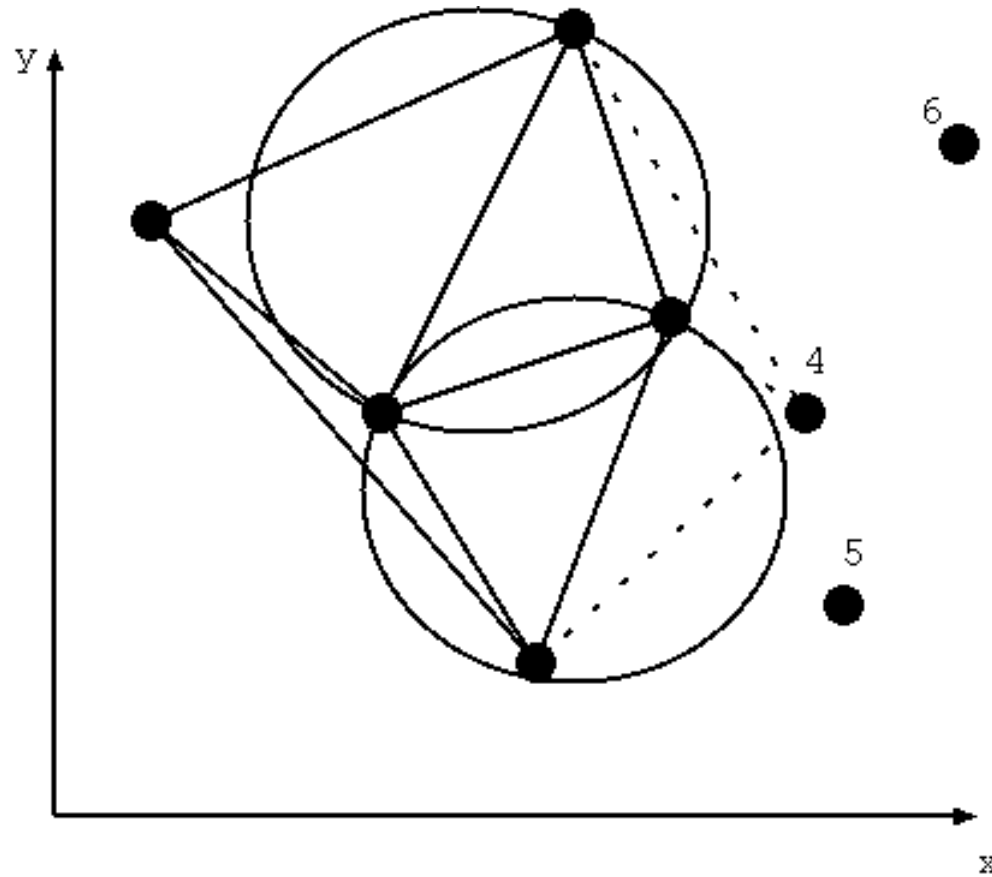
Delaunay par balayage



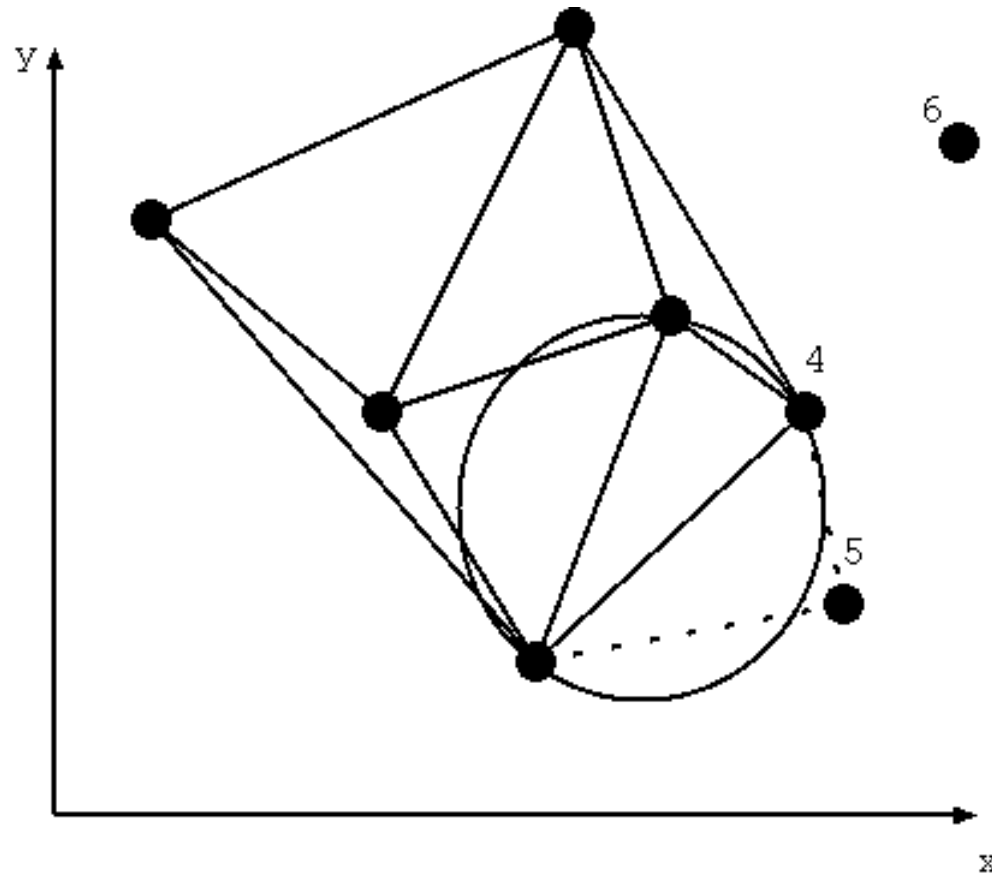
Delaunay par balayage



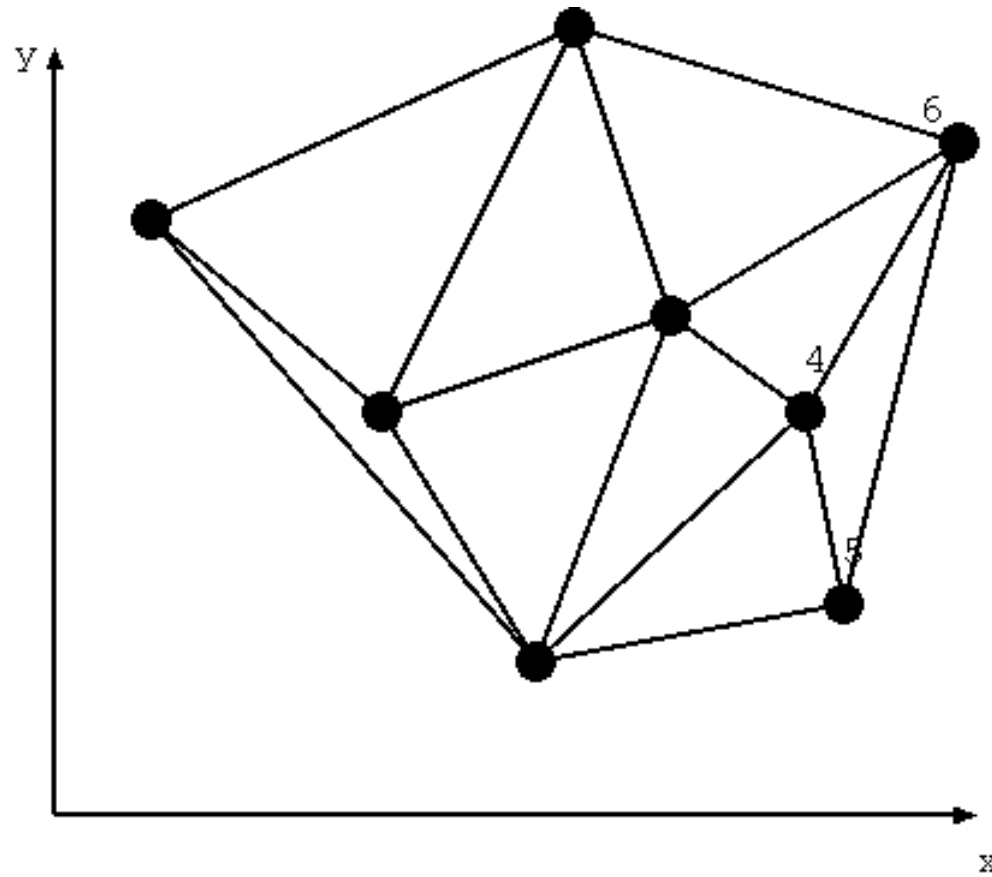
Delaunay par balayage



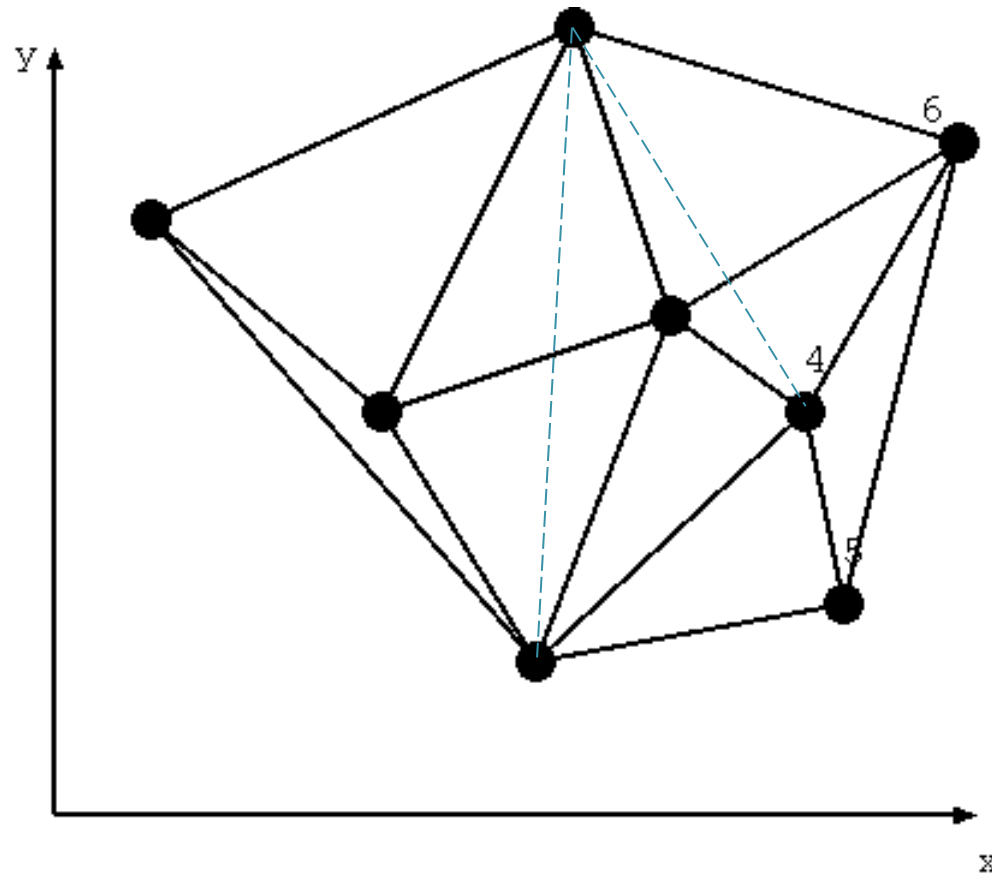
Delaunay par balayage



Delaunay par balayage

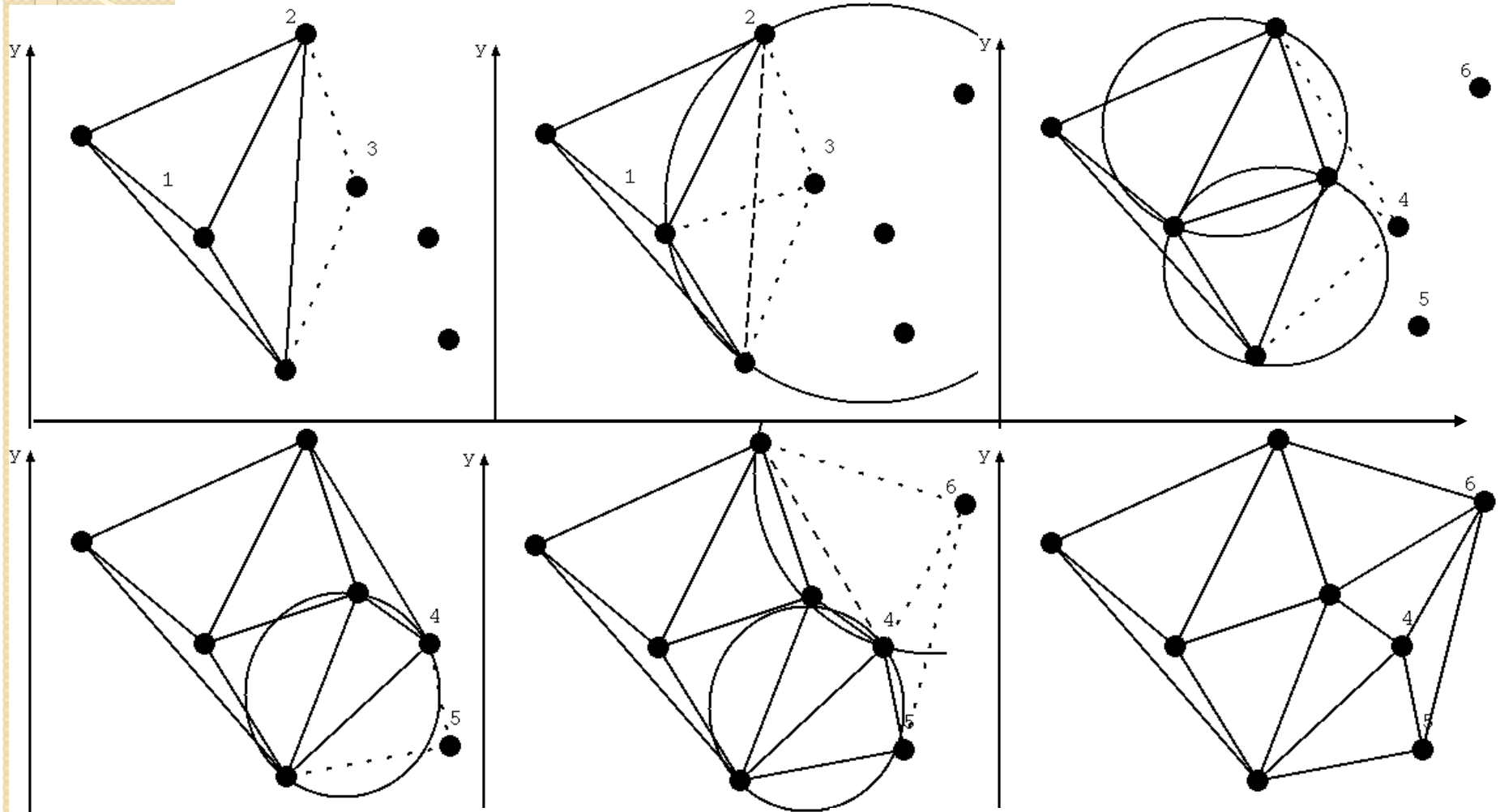


Delaunay par balayage



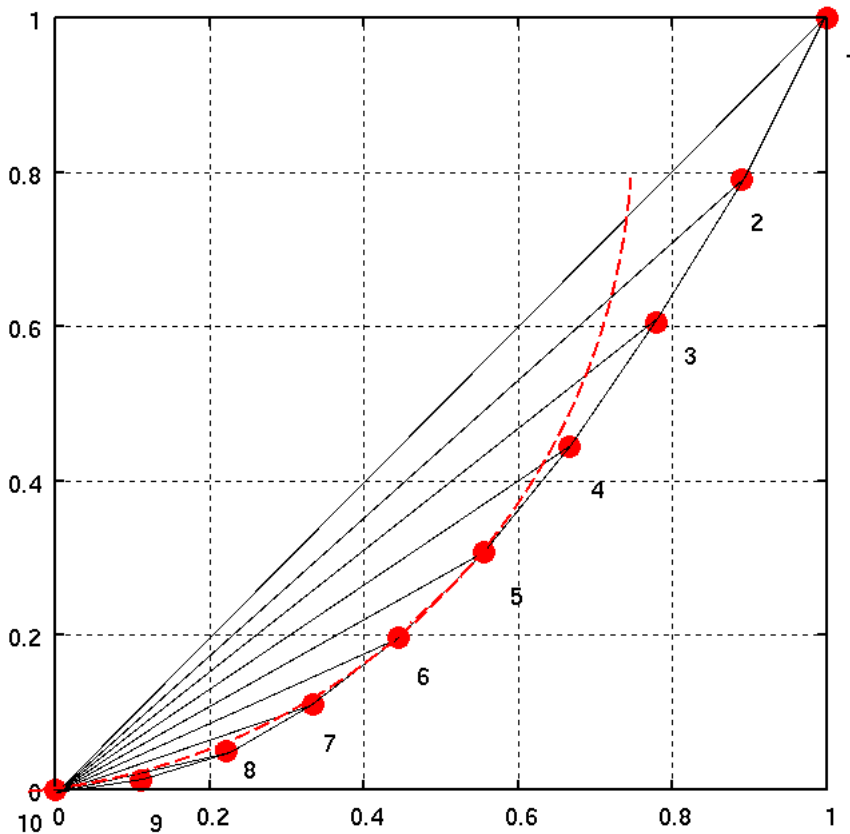
Delaunay par balayage

Complexité pire cas ?



1) Tri en X : $O(n \cdot \log_2(n))$ — 2) Balayage en X : $O(n^2)$

Complexité pire-cas



Les points d'une parabole
constituent un pire cas
pour un balayage en x
décroissant:

$$O(n^2)$$

C'est en revanche un
« meilleur cas » pour un
balayage en x croissant:

$$O(n)$$

Algorithme incrémental

Ajouter_nœud(n, T)

Pour tout t de T

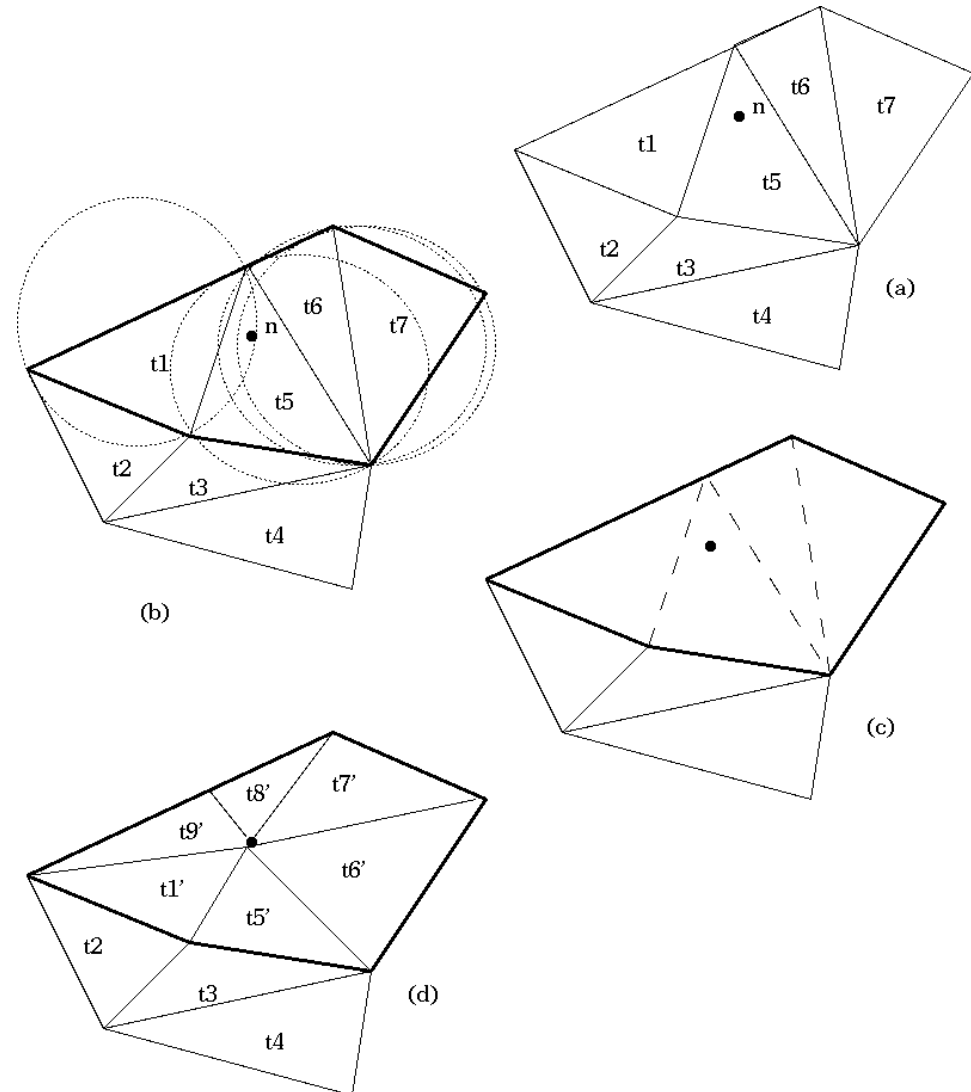
Si n dans $B(t)$, $TD = TD + \{t\}$

$A =$ Frontière de TD

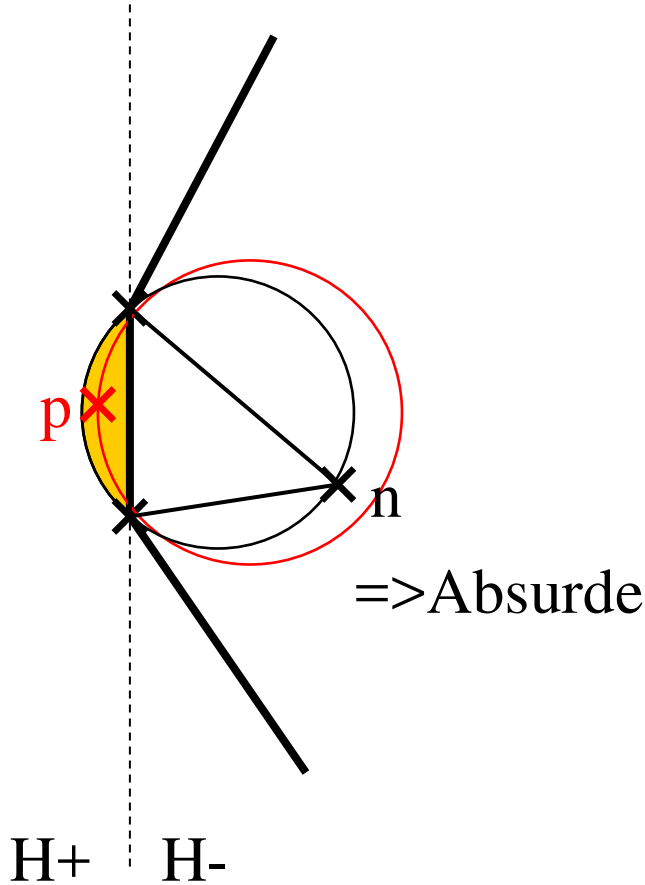
$T = T - TD$

Pour toute a de A

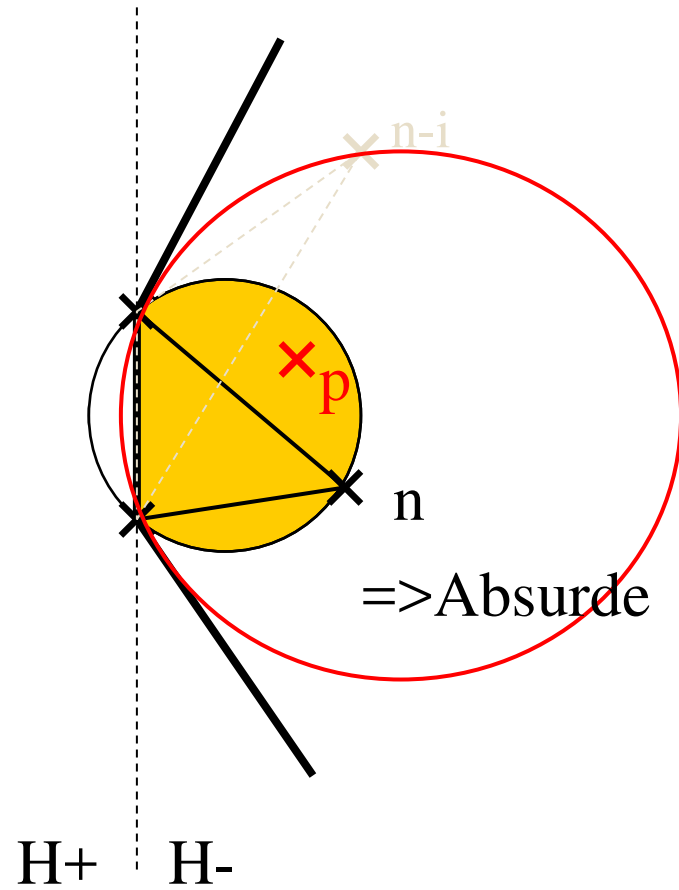
$T = T + \text{triangle}(a, n)$



Démonstration (I)

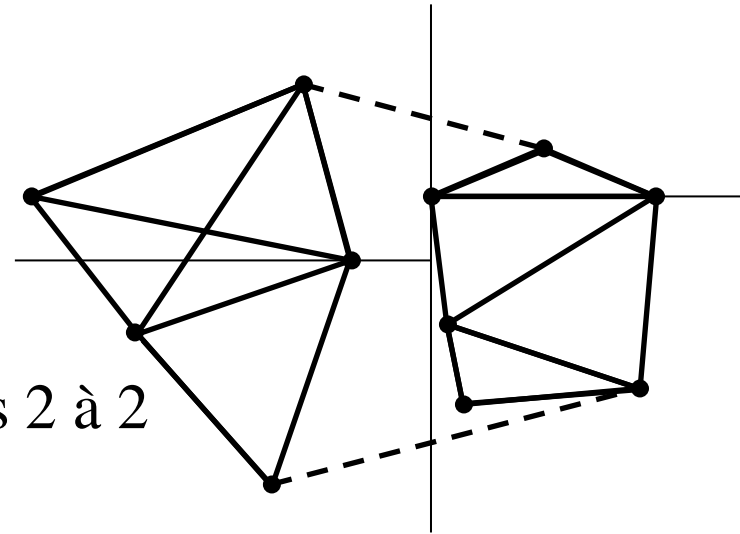


Démonstration (2)

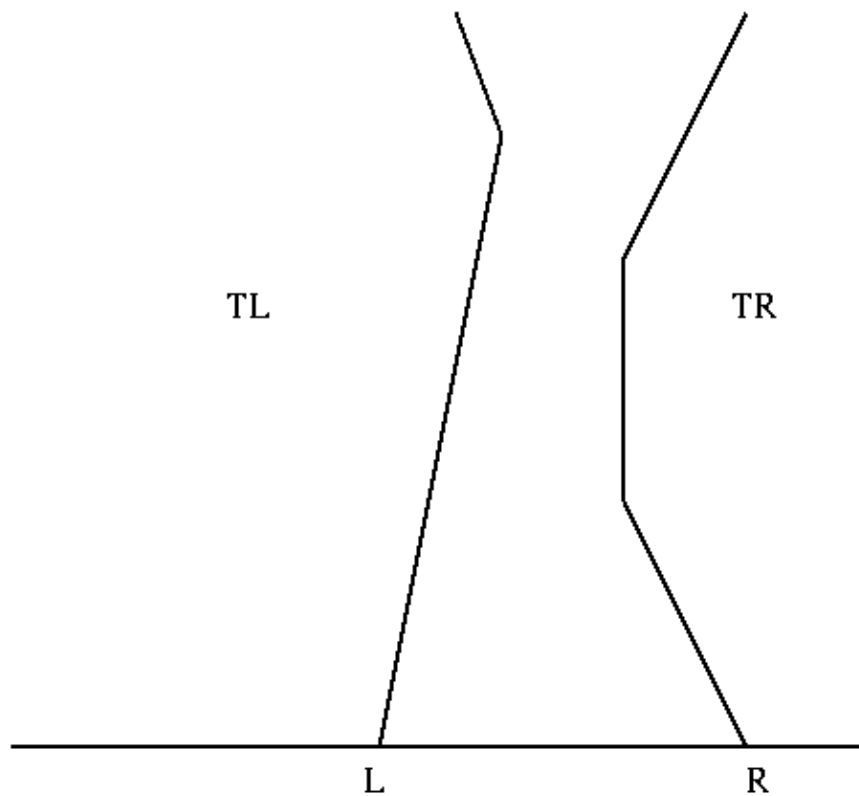


Delaunay : diviser pour régner

1. Construire KDtree
2. Calculer triangles
3. Fusionner les triangulations 2 à 2

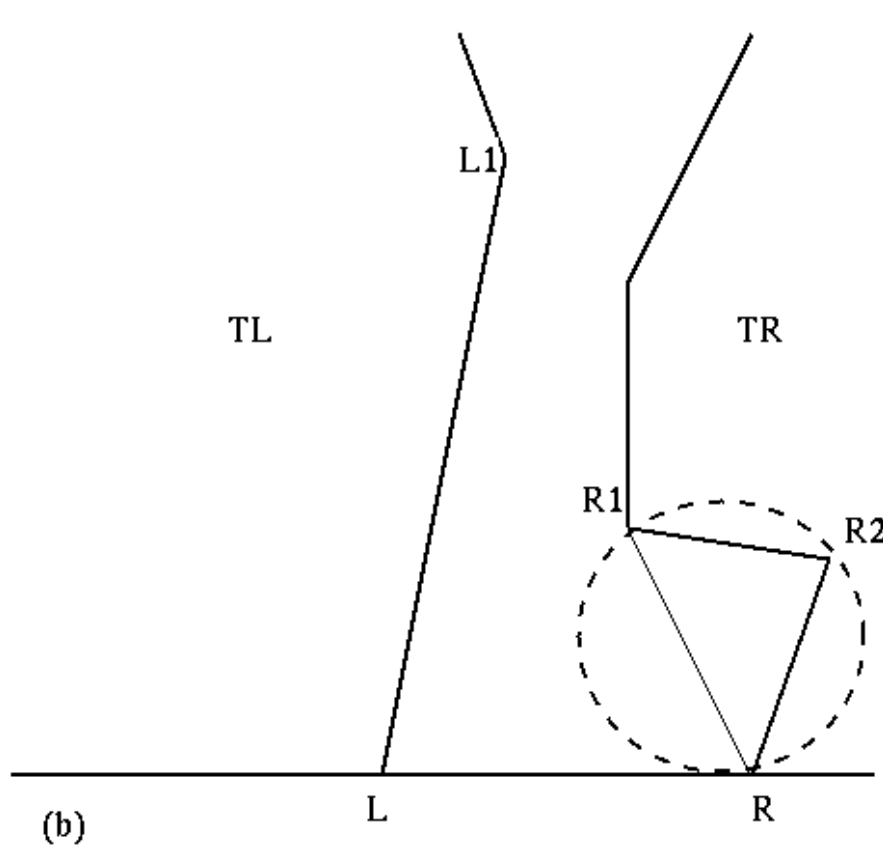


Fusion des Triangulations de Delaunay



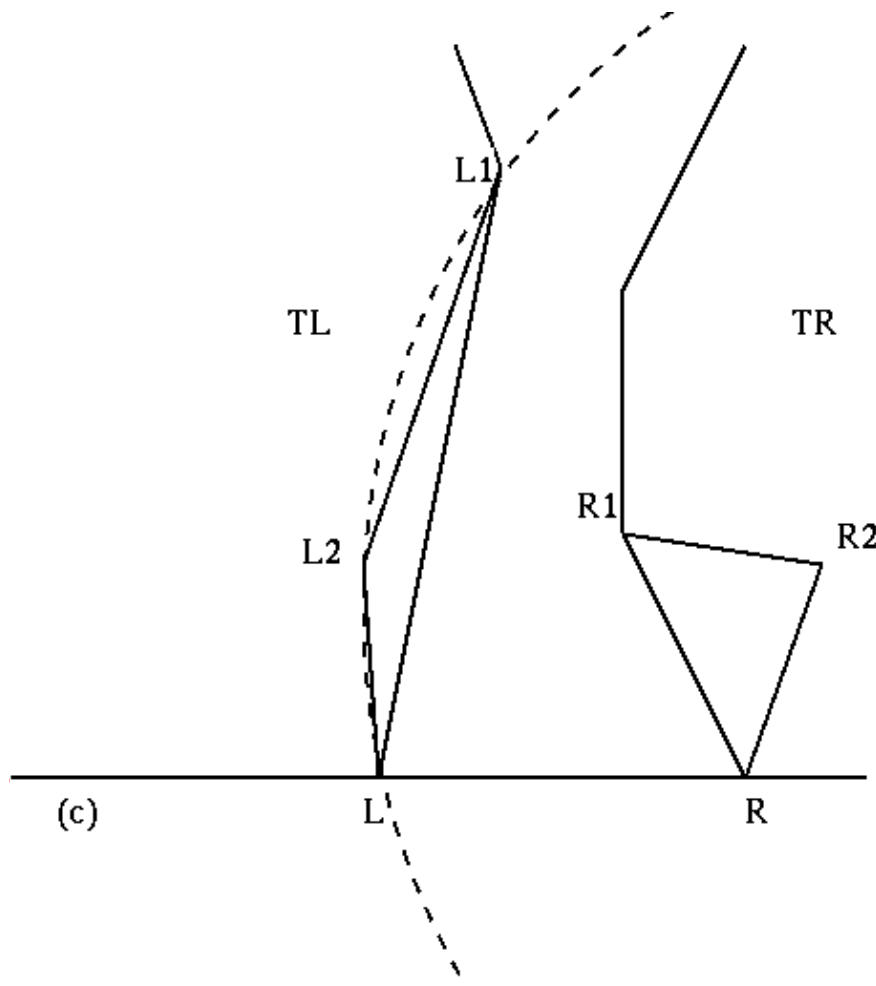
A) On joint les triangulations droite TR et gauche TL avec la tangente basse LR

Fusion des Triangulations de Delaunay



B) Les triangles de TR incidents à R qui ne satisfont pas Delaunay sont détruits

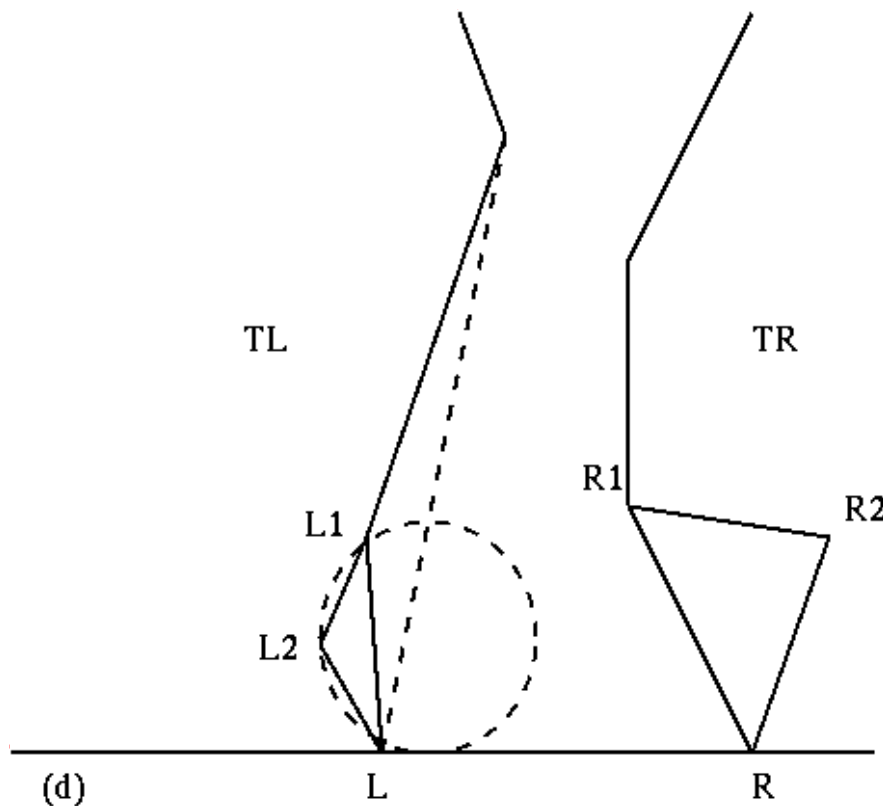
Fusion des Triangulations de Delaunay



C) Les triangles de TL incidents à L qui ne satisfont pas Delaunay sont détruits

Fusion des Triangulations de Delaunay

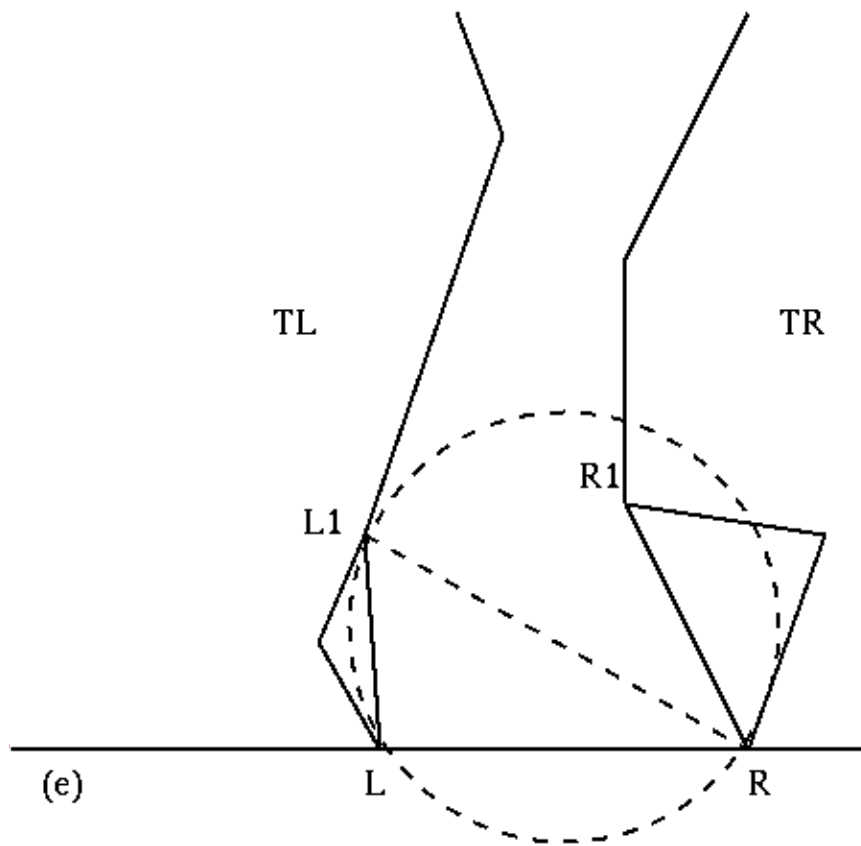
D) Les triangles de TL incidents à L qui ne satisfont pas Delaunay sont détruits



(d)

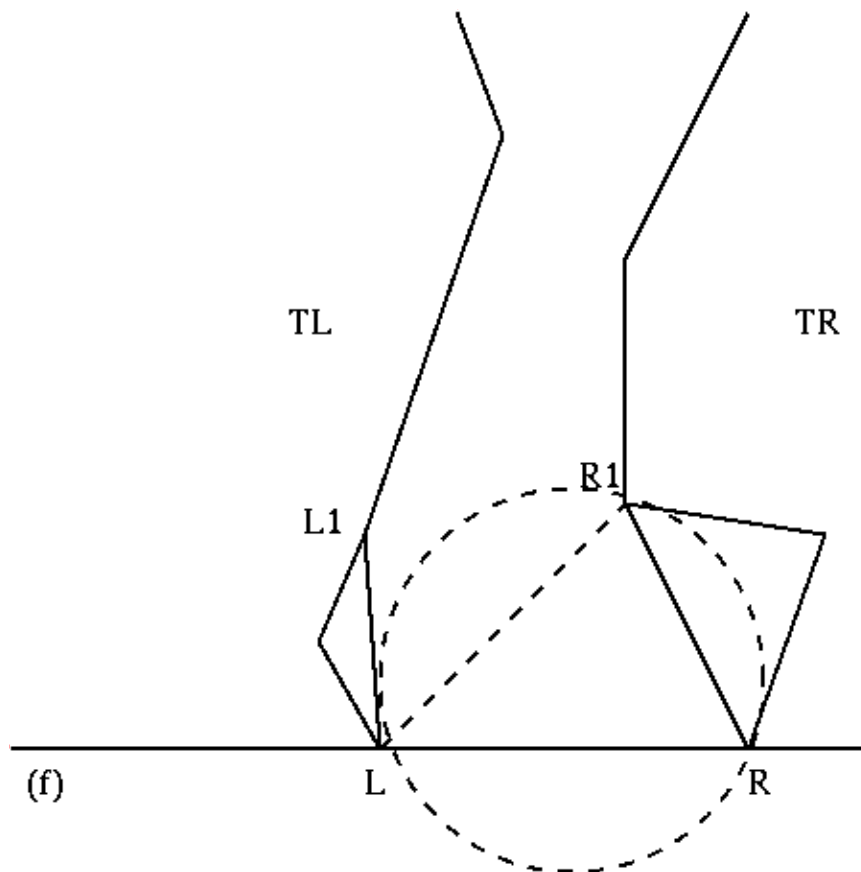
Fusion des Triangulations de Delaunay

E) Construire le triangle de Delaunay s'appuyant sur l'arête LR

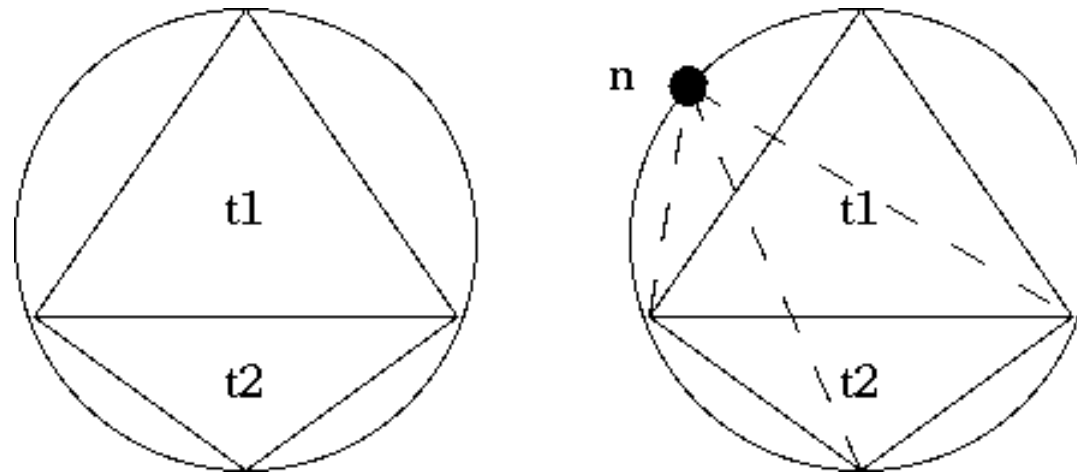


Fusion des Triangulations de Delaunay

F) Construire le triangle de Delaunay s'appuyant sur l'arête LR



Erreur numérique



Triangulations contraintes

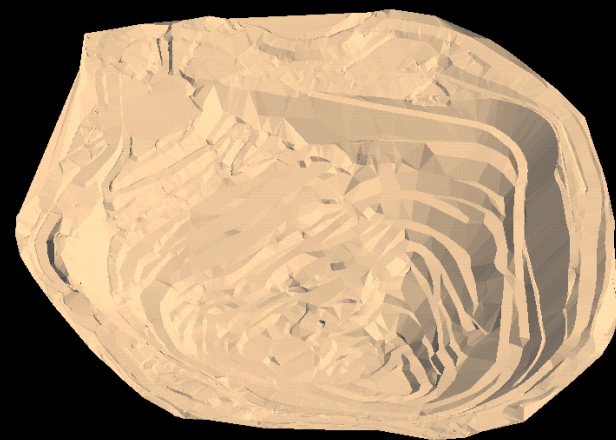
1×10001

-1000 -500 0 50

-2.5

-3

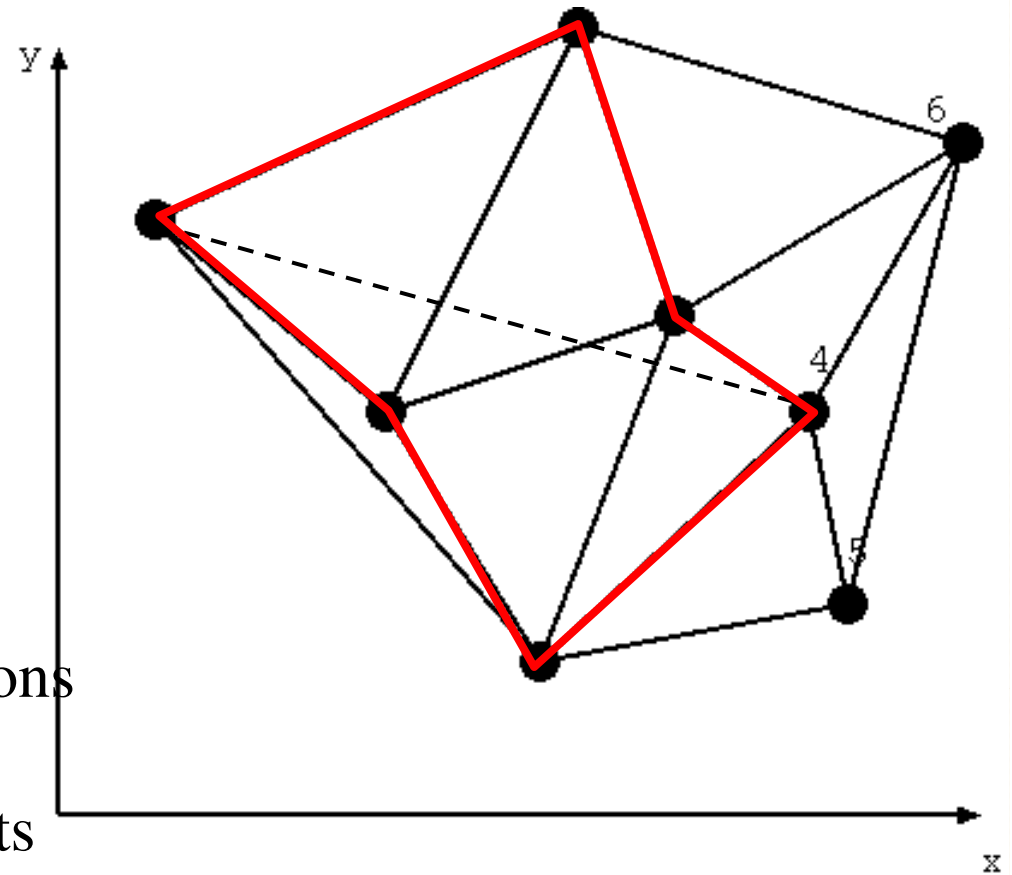
-3.5



Triangulation contraintes

Incompatibilité entre :
le critère de Delaunay
le respect des arêtes

Traitement a posteriori
Ajout de points
Modification des connexions
Traitement a priori
Détection et ajout de points



Triangulation contraintes

Incompatibilité entre :
le critère de Delaunay
le respect des arêtes

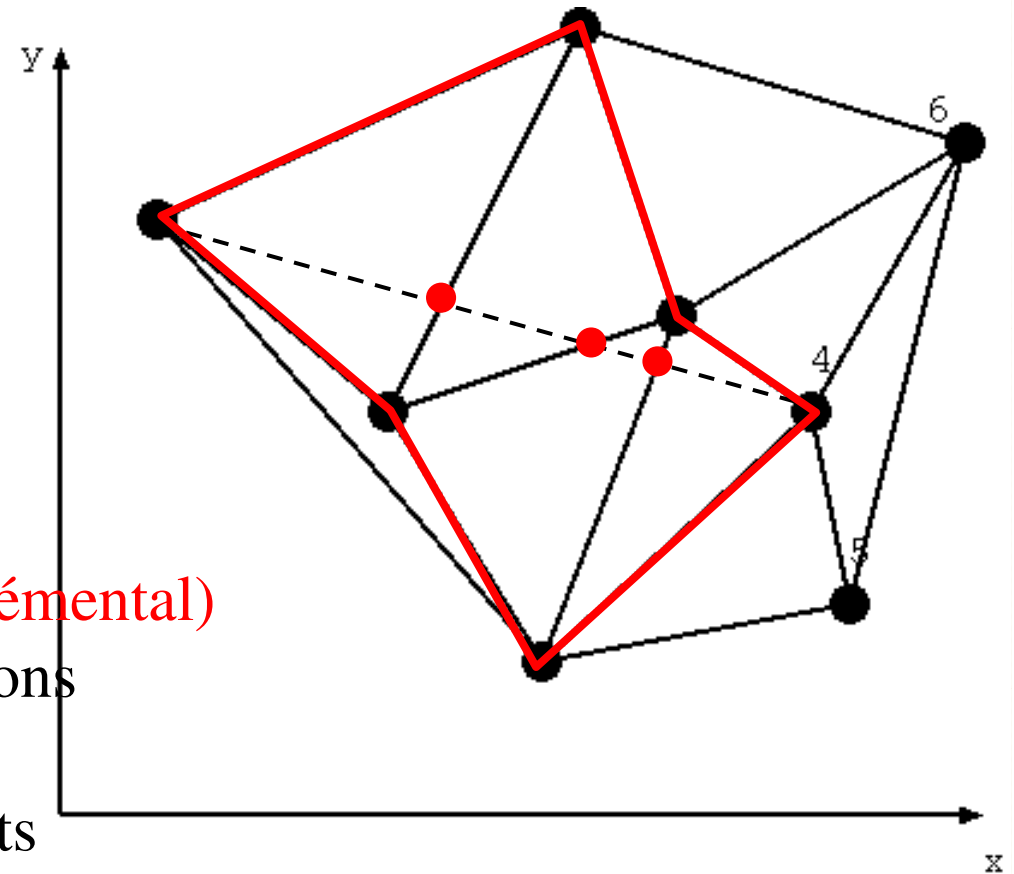
Traitement a posteriori

Ajout de points (algo incrémental)

Modification des connexions

Traitement a priori

Détection et ajout de points



Triangulation contraintes

Incompatibilité entre :
le critère de Delaunay
le respect des arêtes

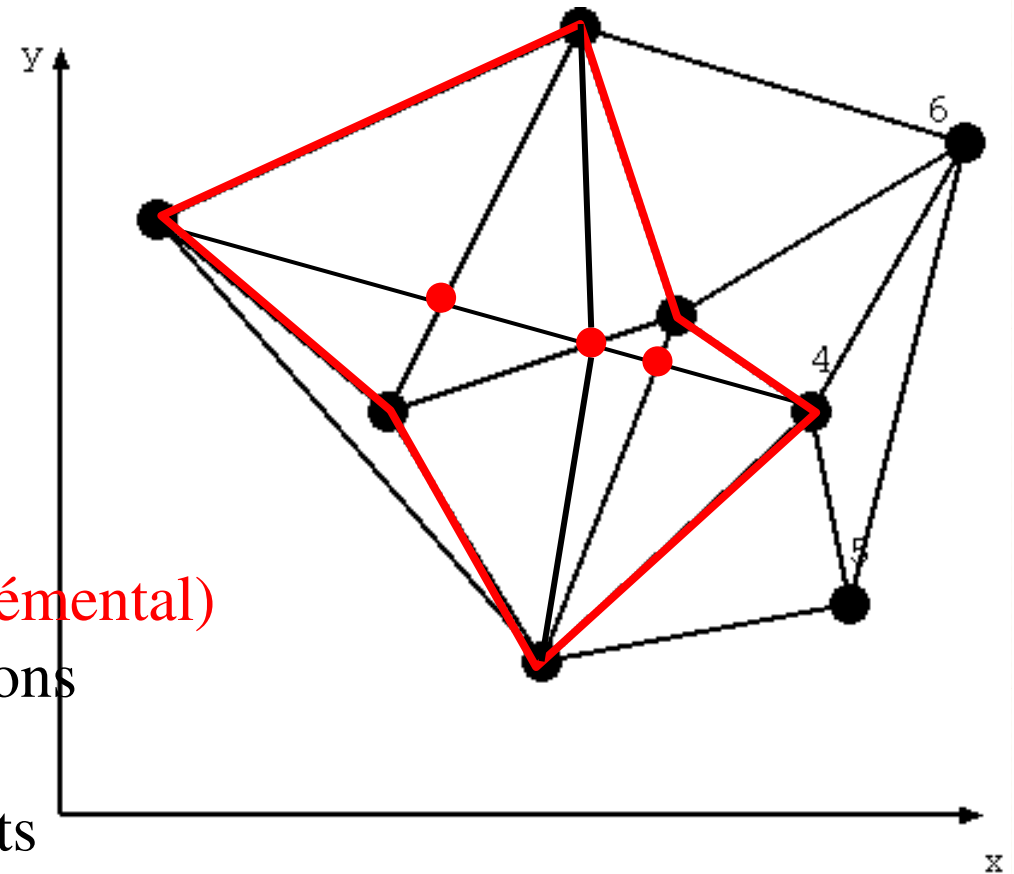
Traitement a posteriori

Ajout de points (algo incrémental)

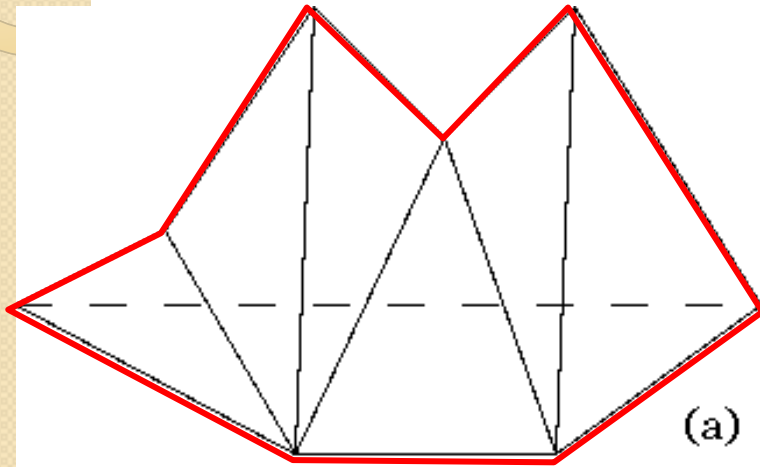
Modification des connexions

Traitement a priori

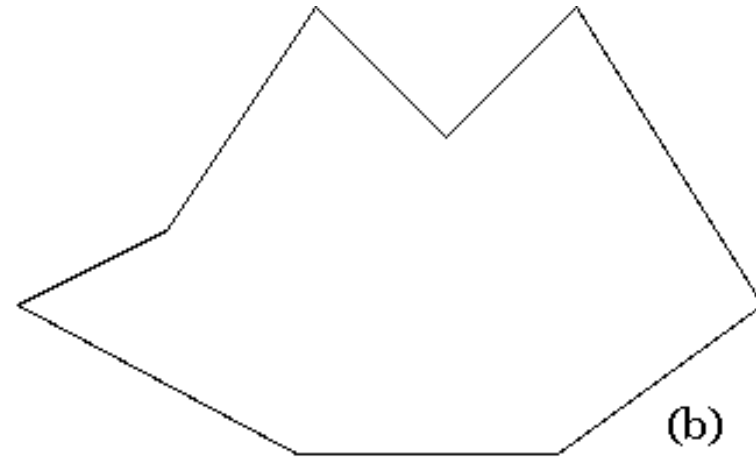
Détection et ajout de points



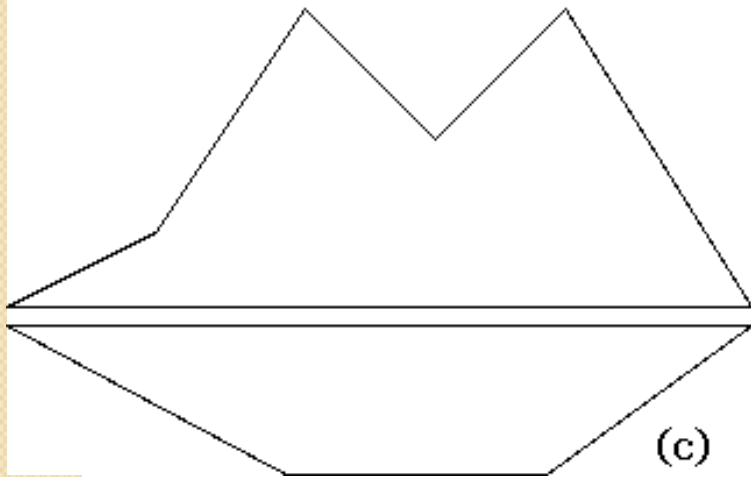
Remaillage



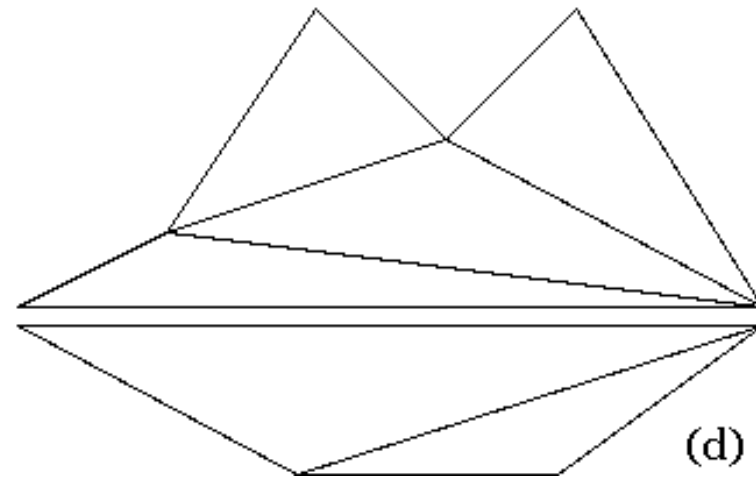
(a)



(b)

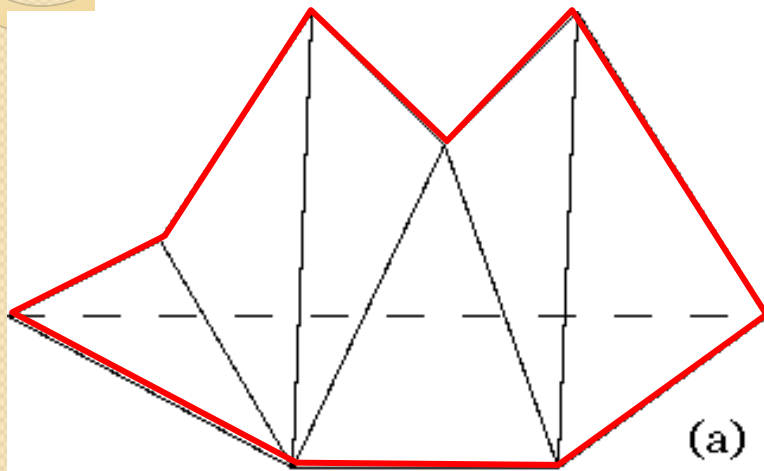


(c)

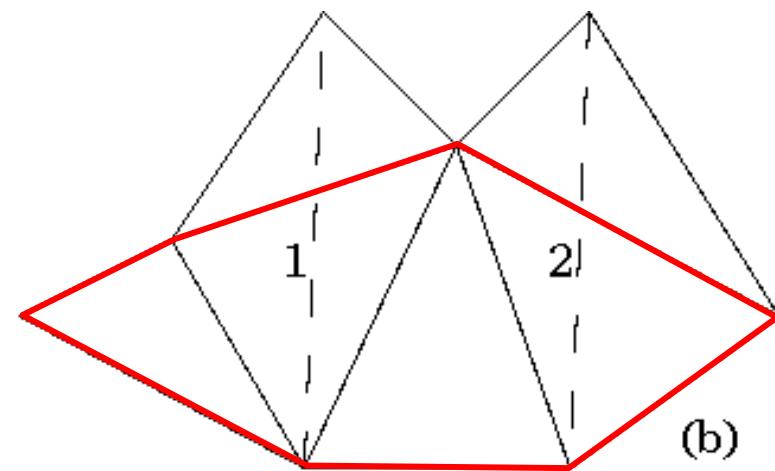


(d)

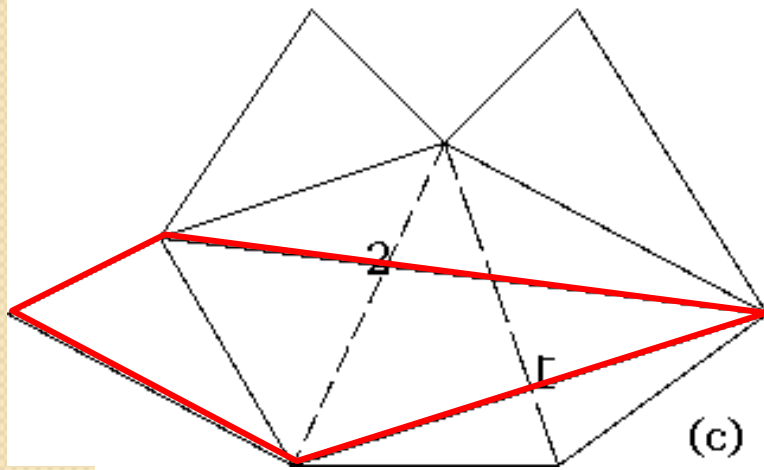
Forçage d'arêtes par inversion de diagonales



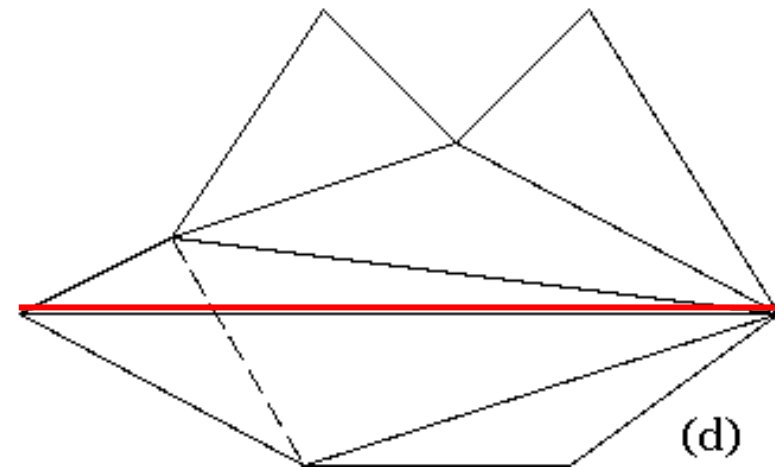
(a)



(b)

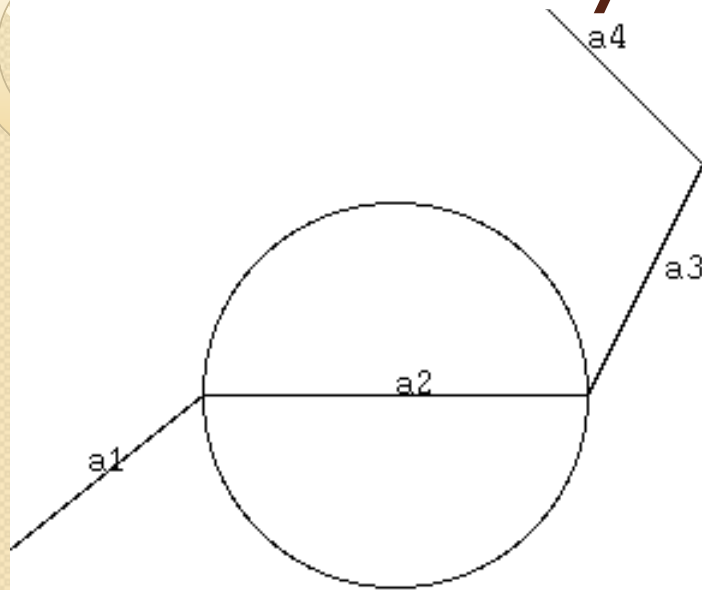


(c)

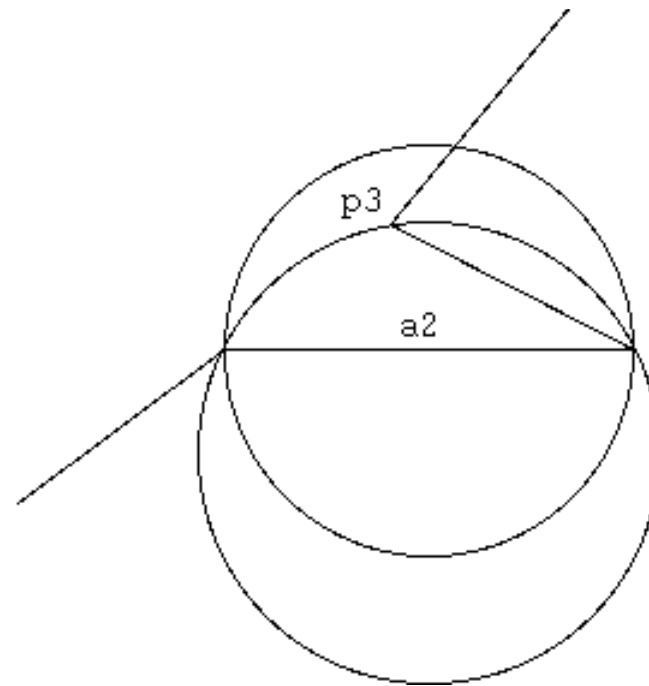


(d)

Détection des arêtes « non Delaunay-admissibles »



Si $B_{\Phi}(a_2)$ est vide alors :
 a_2 est Delaunay admissible



Soit p_3 dans $B_{\Phi}(a_2)$ tel que $B_{\Phi}(a_2)$
soit vide du côté de a_2 .
Si $B_{\Phi}(a_2)$ vide de l'autre côté alors :
 a_2 est Delaunay admissible

Triangulations : Le cas 3D

- **Cardinaux**

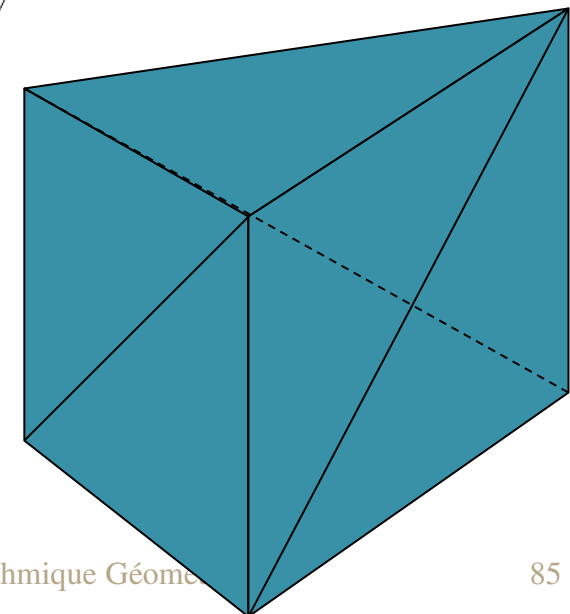
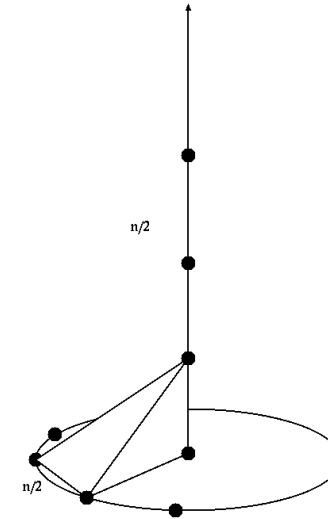
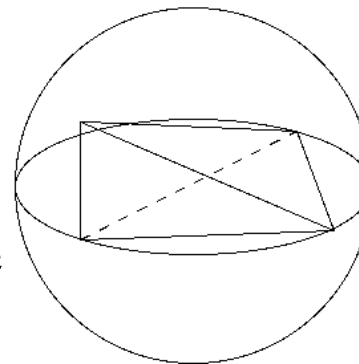
Le nombre de tétraèdres peut être quadratique

- **Delaunay**

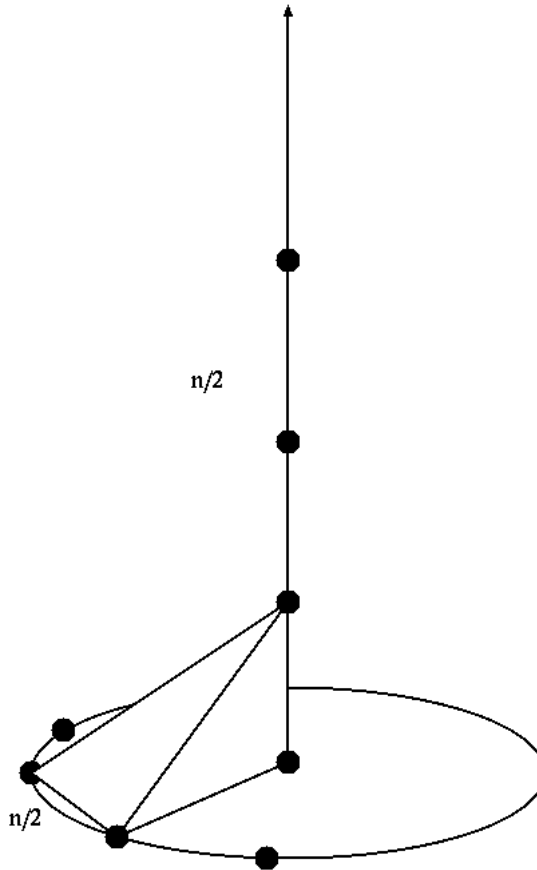
Le critère de Delaunay ne maximise pas les angles solides

- **Forçage de frontière**

Le Polyèdre de Schönhart ne peut être tétraédrisé sans ajout de point.

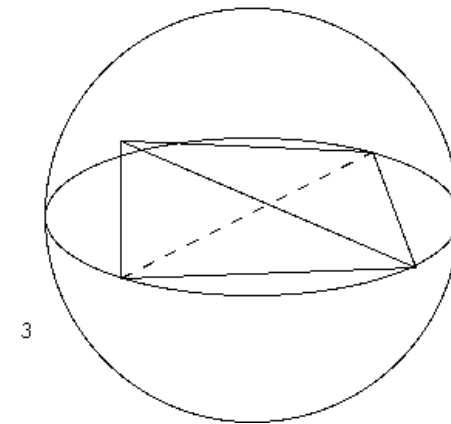
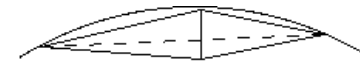
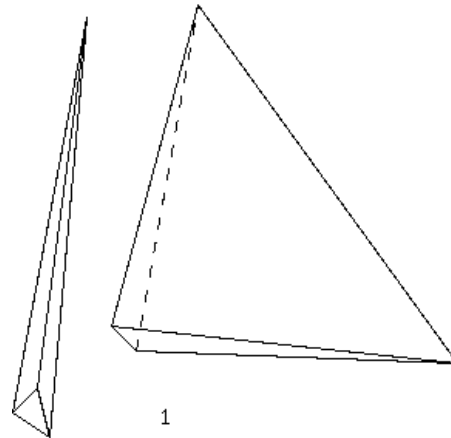


Cardinaux (cas 3D)



Qualité des triangulations (3D)

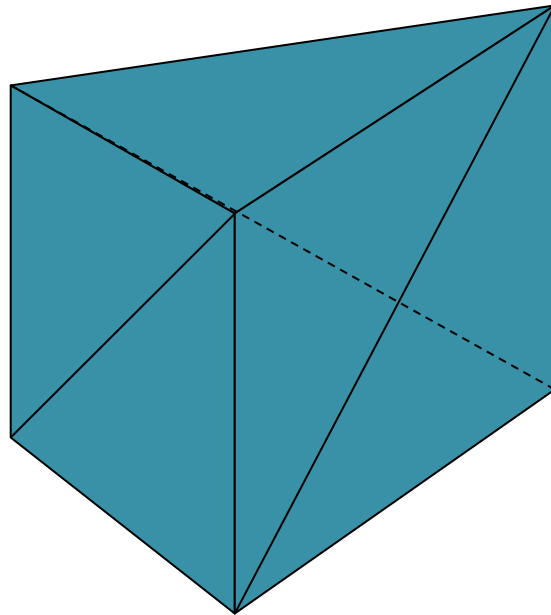
$$c_1 R_i / L_{\max} < \tau_{\min}$$



3 catégories :

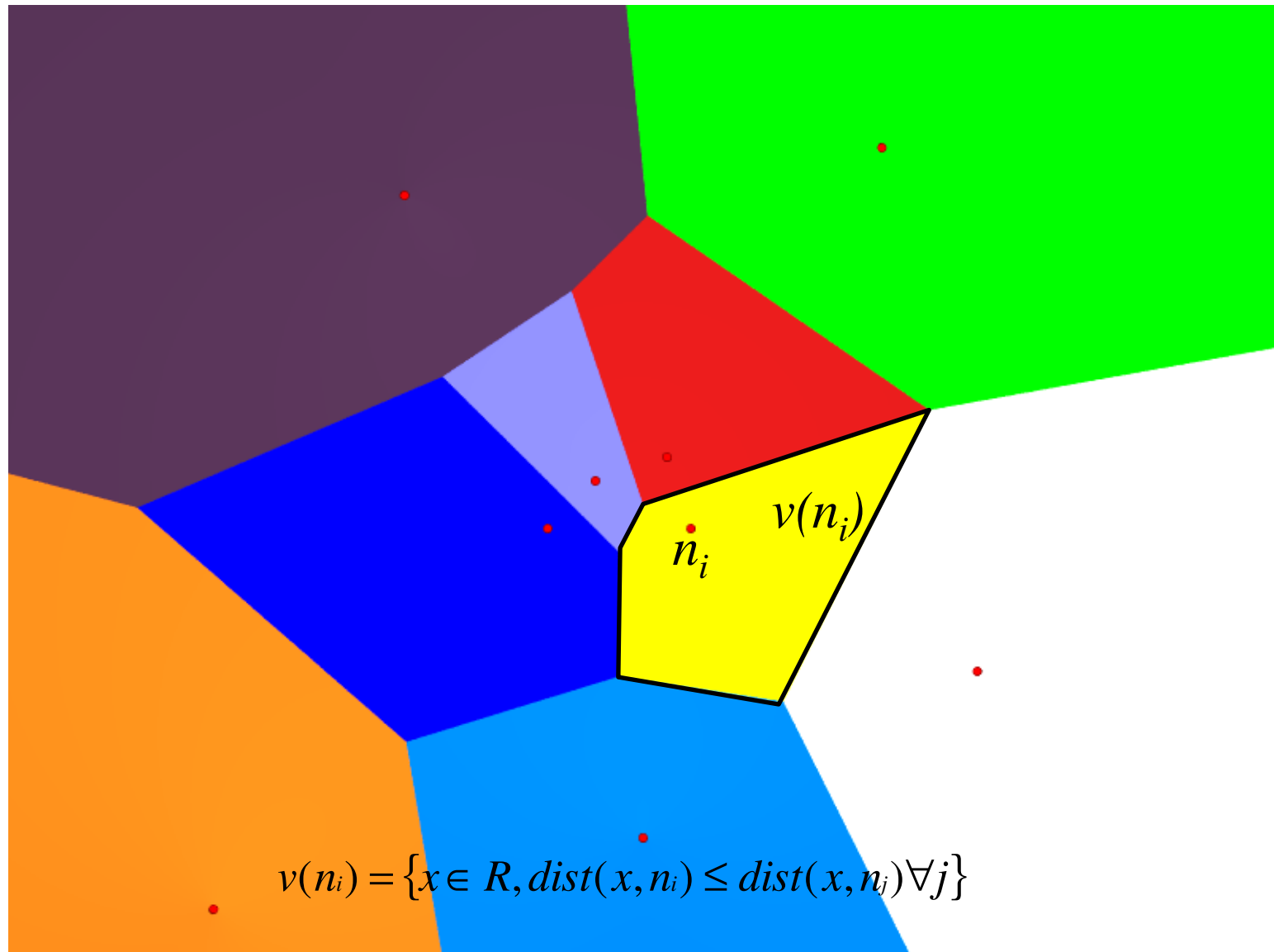
- 1) $l_{\min} / L_{\max} < \kappa_{\min}$ et $c_3 L_{\max} / R_c > \omega_{\min}$
- 2) $l_{\min} / L_{\max} > \kappa_{\min}$ et $c_3 L_{\max} / R_c < \omega_{\min}$
- 3) $l_{\min} / L_{\max} > \kappa_{\min}$ et $c_3 L_{\max} / R_c > \omega_{\min}$

Triangulation contrainte en 3D

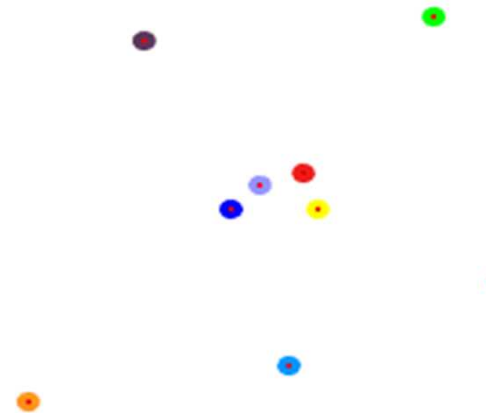
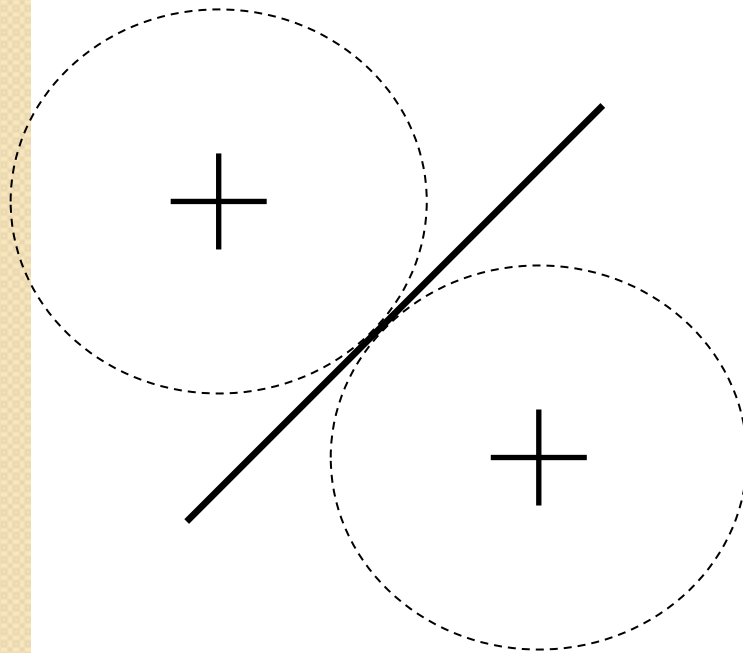


Le Polyèdre de
Schönhart ne
peut être
tétraédrisé
sans ajout de
point.

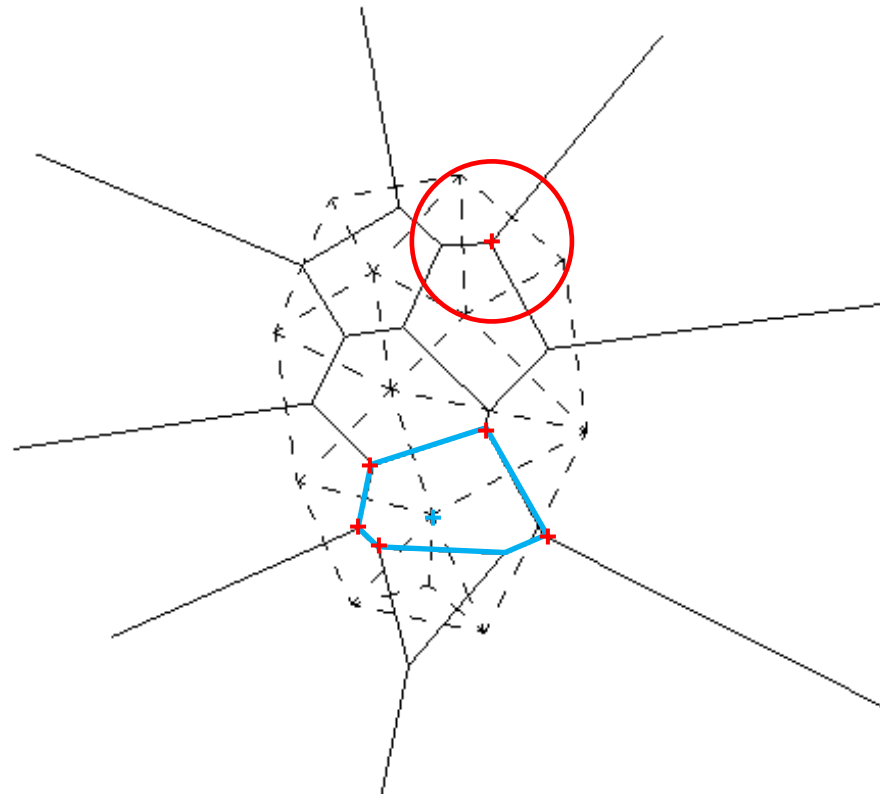
4. Graphe de Voronoï-Dirichlet



Voronoi métrique euclidienne



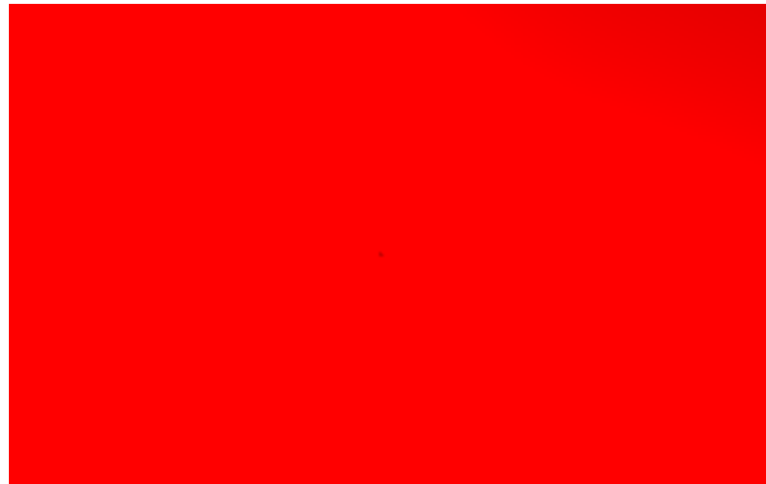
Dualité Delaunay/Voronoi



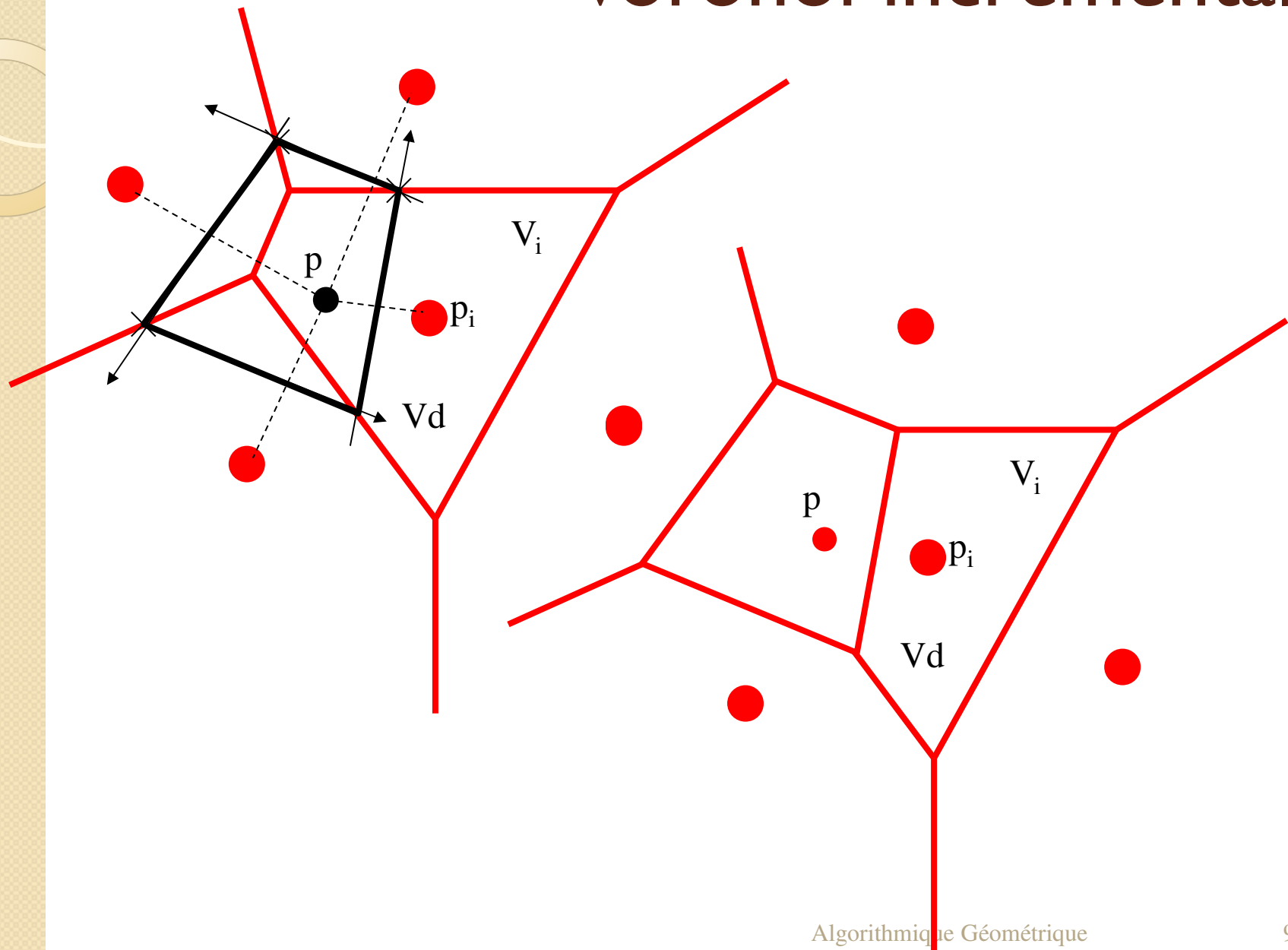
Principe de conversion : Delaunay \rightarrow Voronoi

$\text{Vor}(S) = \text{Polygone} = \{ \text{le centre des cercles des triangles incidents à } S \}$

Algorithme incrémental



Voronoi incrémental



Algorithme incrémental

Ajouter nœud(p,G)

$V_i, p_i = \text{PPV}(p, G)$

$V_d = V_i$

Faire

$m_i = \text{médiatrice}(p, p_i)$

$a_i = 1^{\text{ère}} \text{ arête de } V_i \text{ intersecté par } m_i$

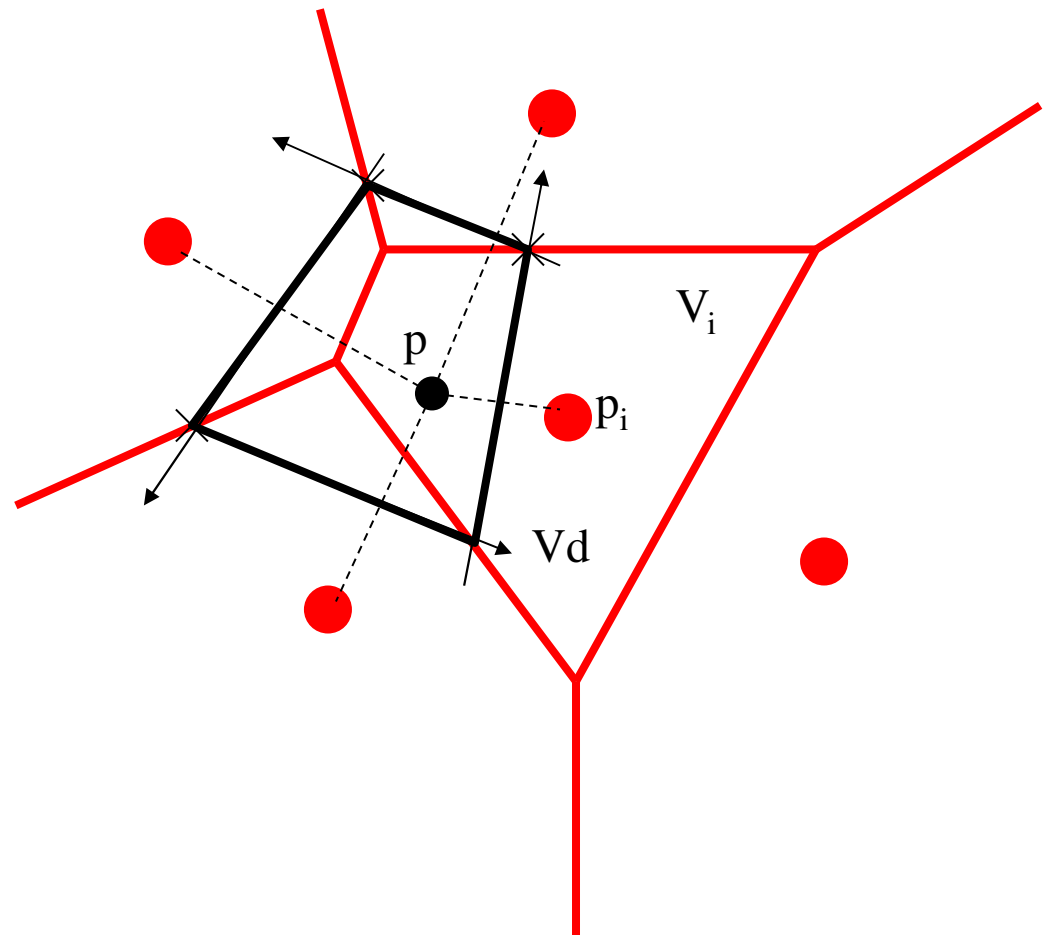
$p_v = \text{point d'intersection}(a_i, m_i)$

$V = V \cup \{p_v\}$

$V_i, p_i = \text{région adjacente à } V_i \text{ sur } a_i$

Tant que ($V_i \neq V_d$)

créer_région(V,p)



Voronoi D&C

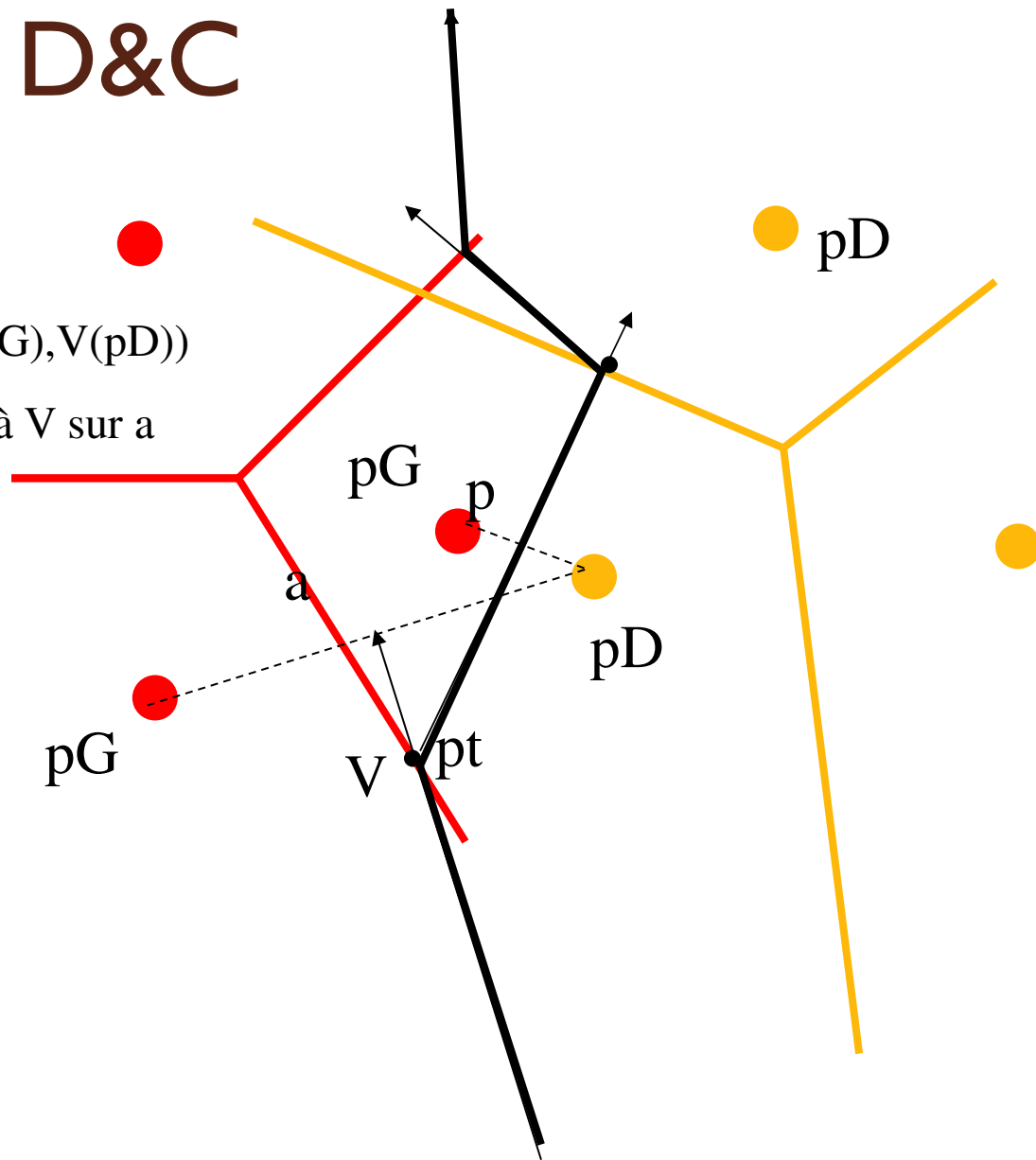
$m = \text{médianne}(pG, pD)$

$V, a, pt = \text{1ere intersection}(m, V(pG), V(pD))$

$p = \text{point de la région adjacente à } V \text{ sur } a$

Si $V == V(pG)$ $pG = p$ sinon $pD = p$

$\text{couper}(a, pt, m)$



Algorithme diviser pour régner

FusionGraphe(VG,VD)

$qG', qD' = \text{TanSup}(EC(G), EC(D))$;

$qG, qD = \text{TanInf}(EC(G), EC(D))$;

$pG = qG'$; $pD = qD'$

Faire

$m = \text{médiatrice}(pG, pD)$

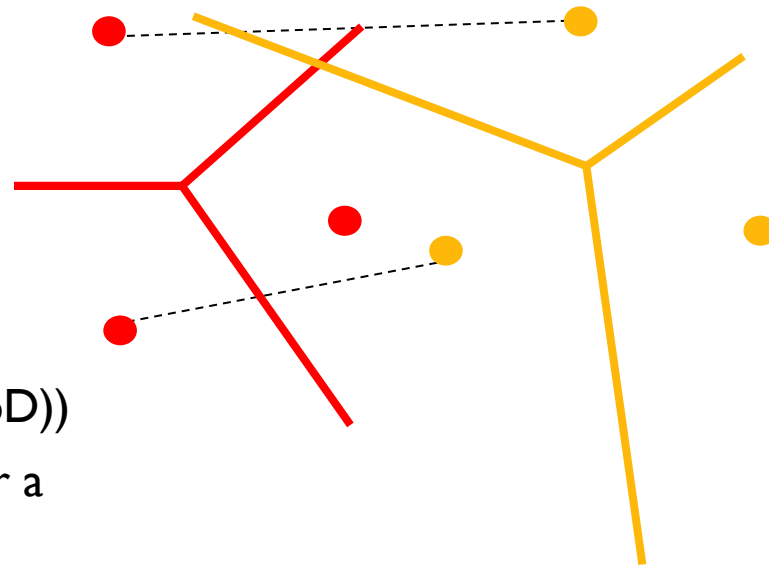
$V, a, pt = \text{1ere intersection}(m, V(pG), V(pD))$

$p = \text{point de la région adjacente à } V \text{ sur } a$

Si $V = V(pG)$ $pG = p$ sinon $pD = p$

$\text{couper}(a, pt, m)$

Tant que $(pG \neq pG'$ et $pD \neq pD')$



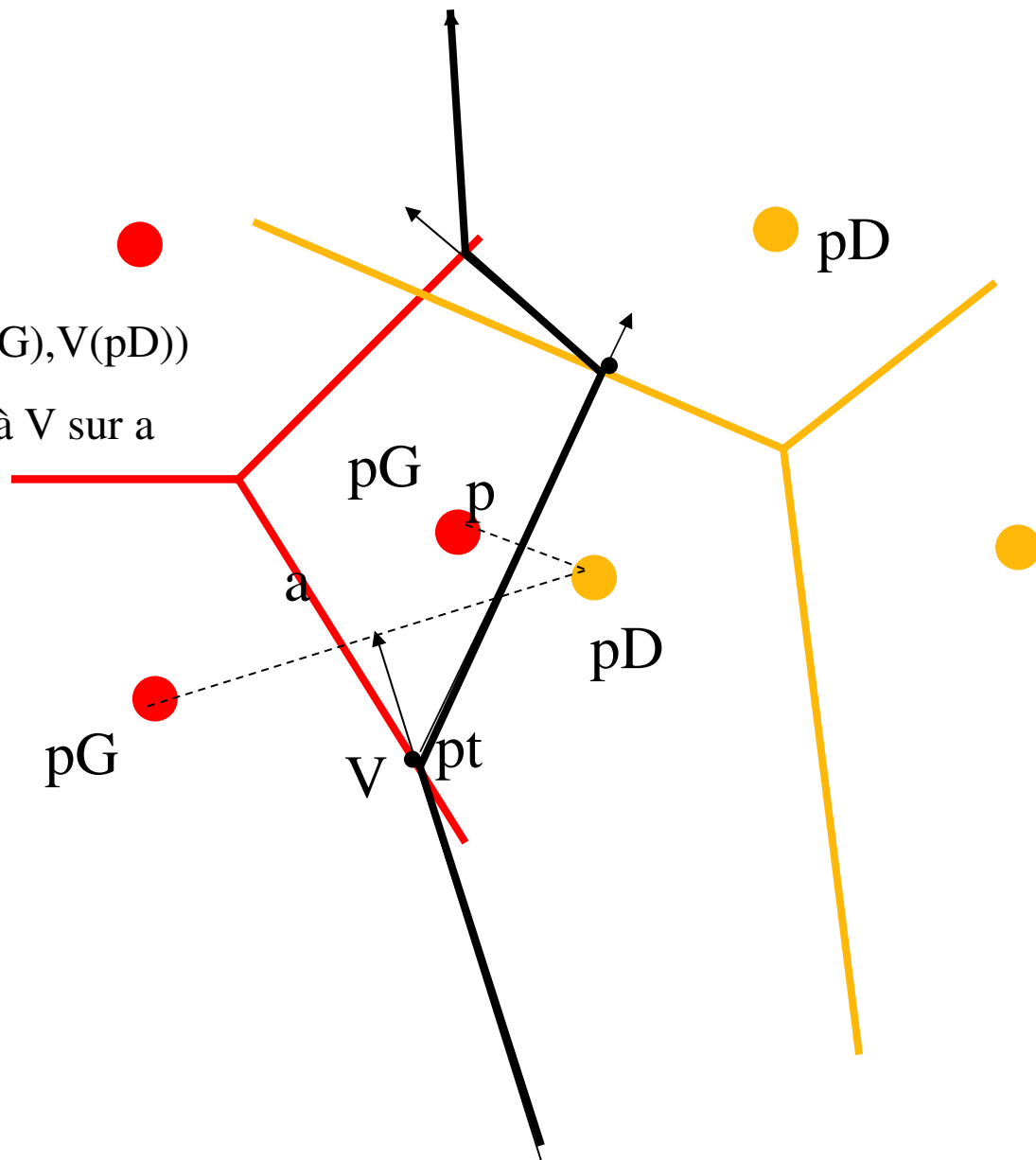
$m = \text{médianne}(pG, pD)$

$V, a, pt = \text{1ere intersection}(m, V(pG), V(pD))$

$p = \text{point de la région adjacente à } V \text{ sur } a$

Si $V == V(pG)$ $pG = p$ sinon $pD = p$

$\text{couper}(a, pt, m)$



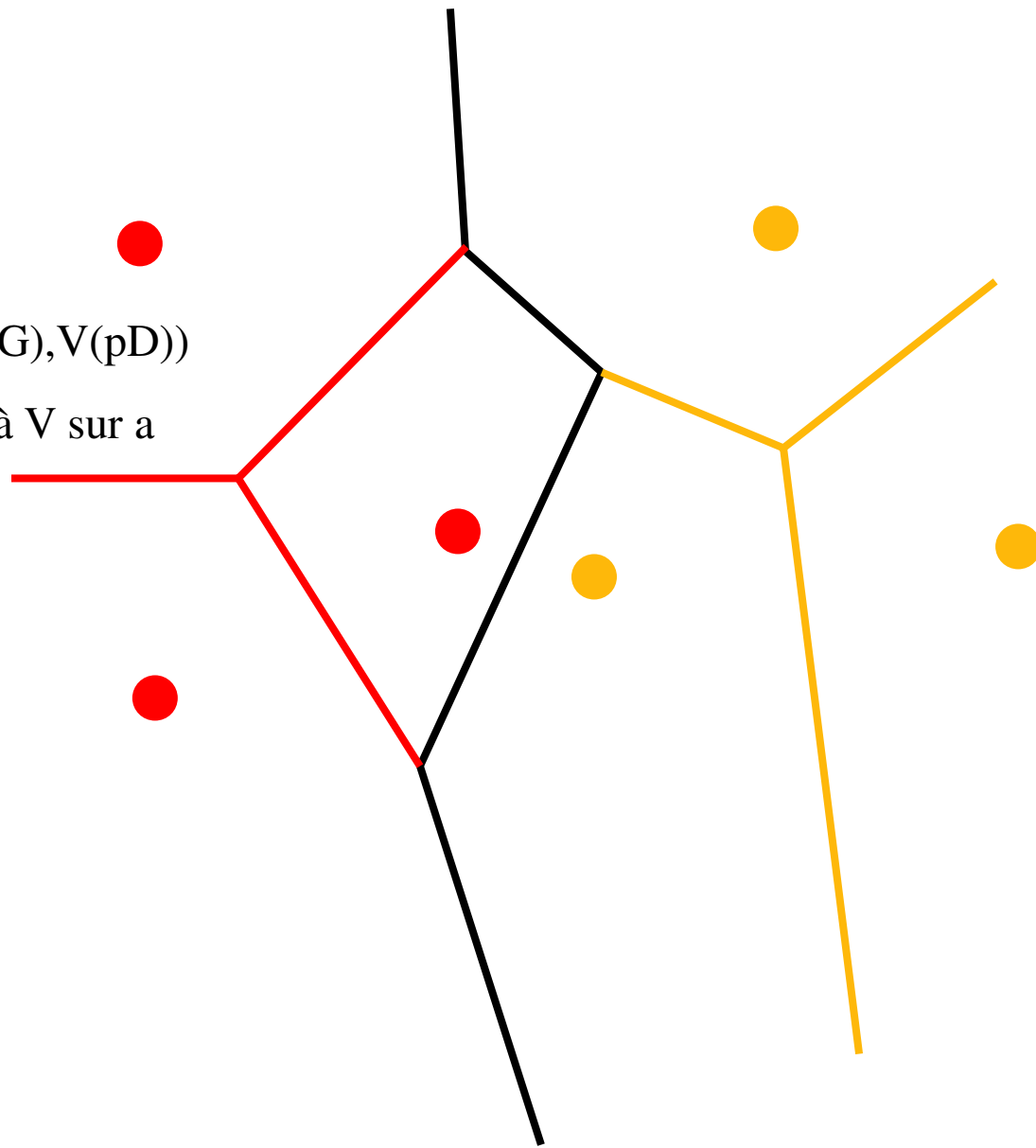
$m = \text{médianne}(pG, pD)$

$V, a, pt = \text{1ere intersection}(m, V(pG), V(pD))$

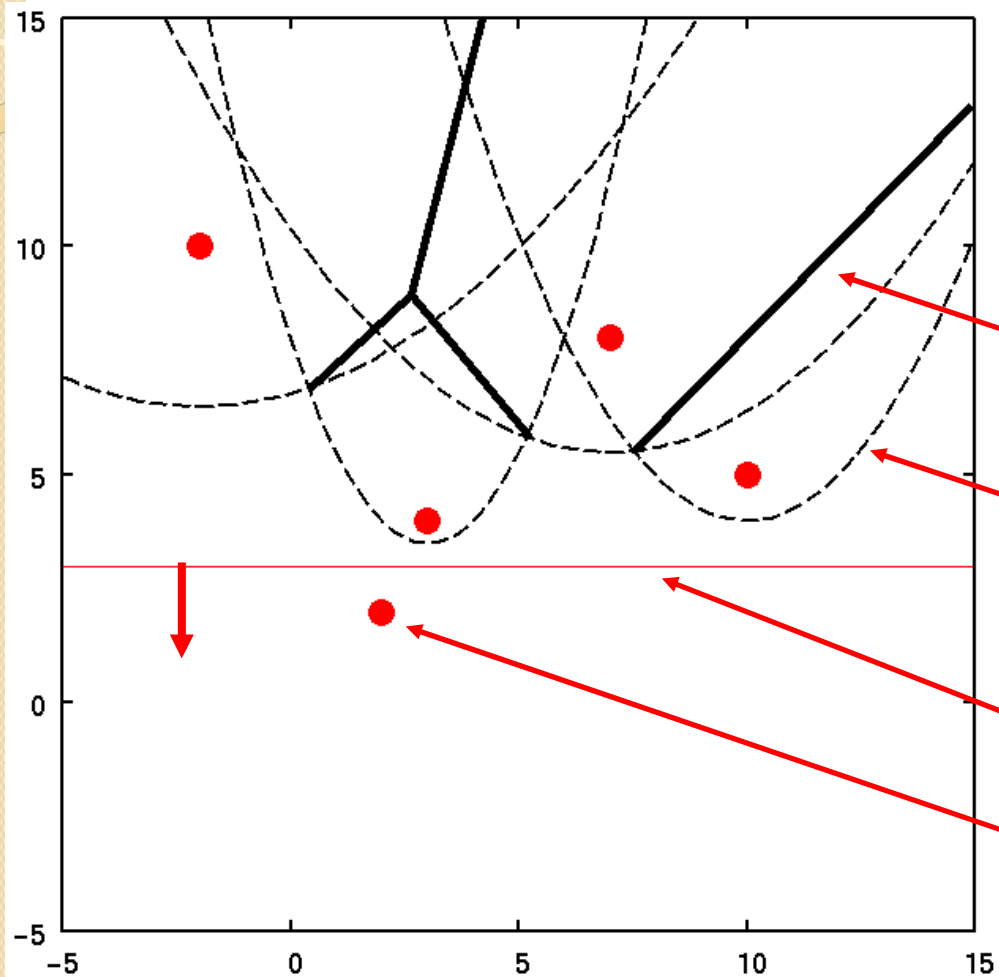
$p = \text{point de la région adjacente à } V \text{ sur } a$

Si $V == V(pG)$ $pG = p$ sinon $pD = p$

$\text{couper}(a, pt, m)$



Voronoi par balayage



PRINCIPE

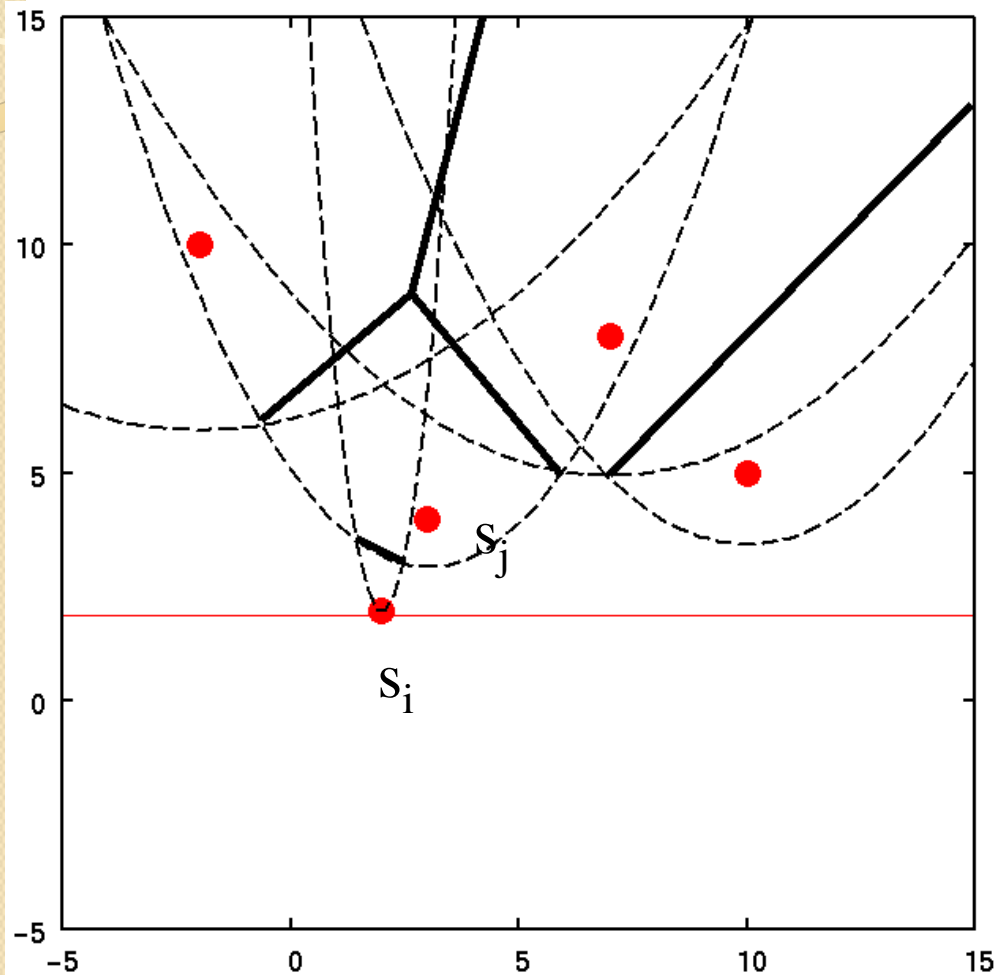
Voronoi en construction

Ligne de plage

Droite de balayage

Evènements

Voronoi par balayage

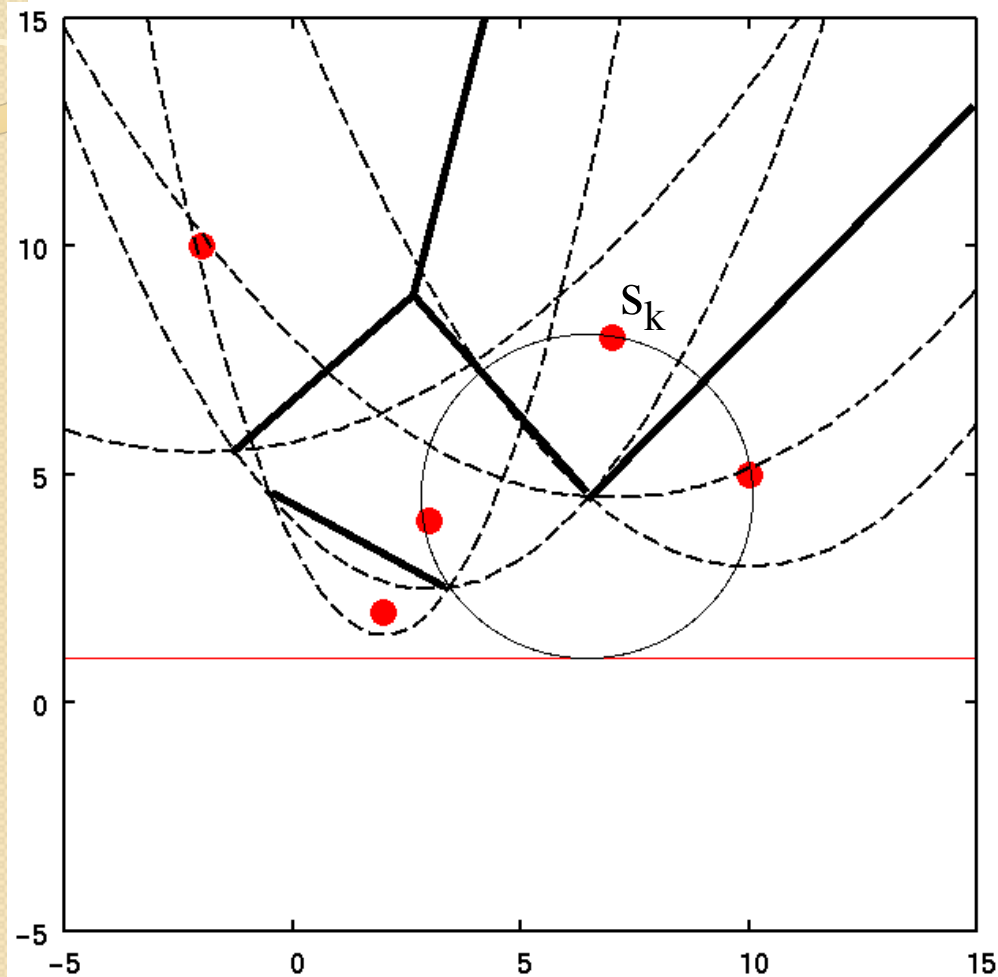


Apparition d'un arc (de s_i)

Mise à jour de la
ligne de plage

Insertion de l'arête
entre s_i et s_j

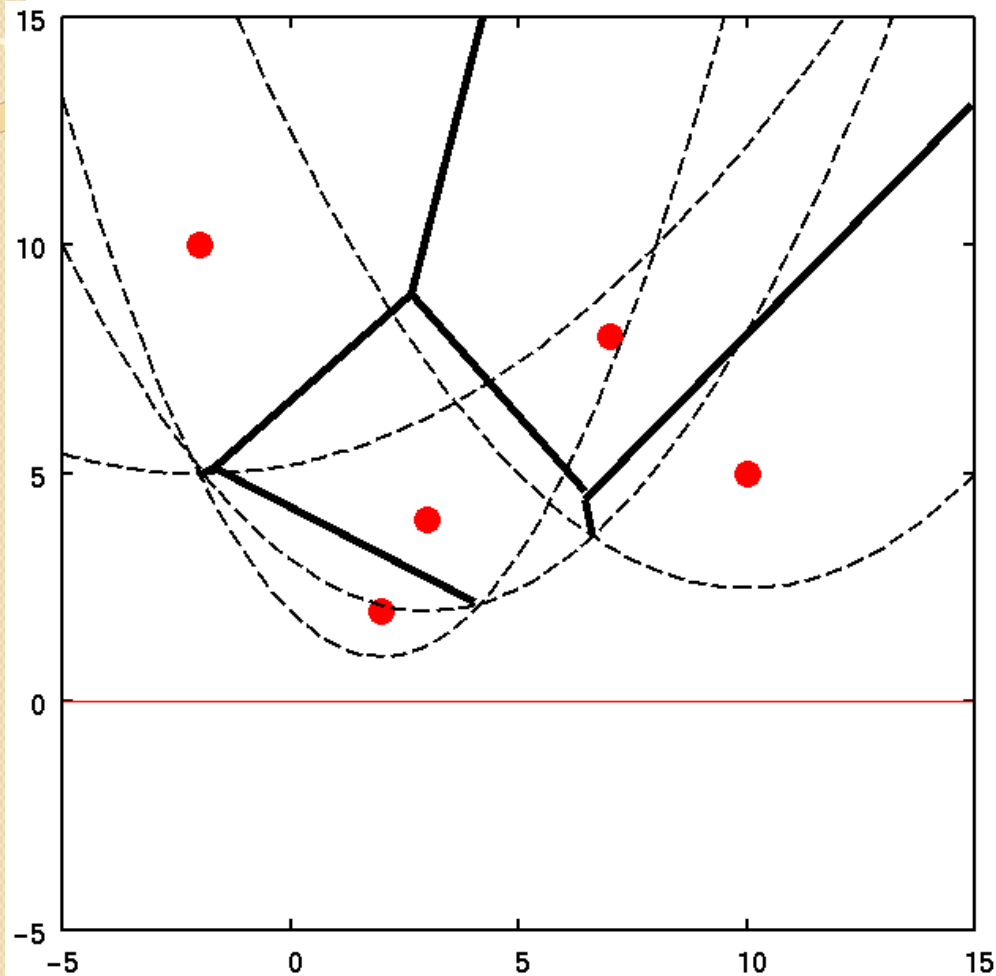
Voronoi par balayage



Disparition d'un arc (de s_k)

Pour la détection de ces évènements la programme maintient la liste des cercles circonscrits à 3 sites successifs sur la ligne de plage

Voronoi par balayage



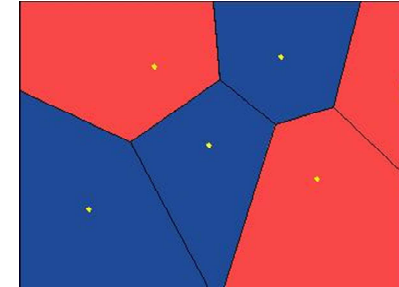
Jusqu'à traiter tous les évènements...

Algorithme de Fortune
Optimal : $O(n \log(n))$

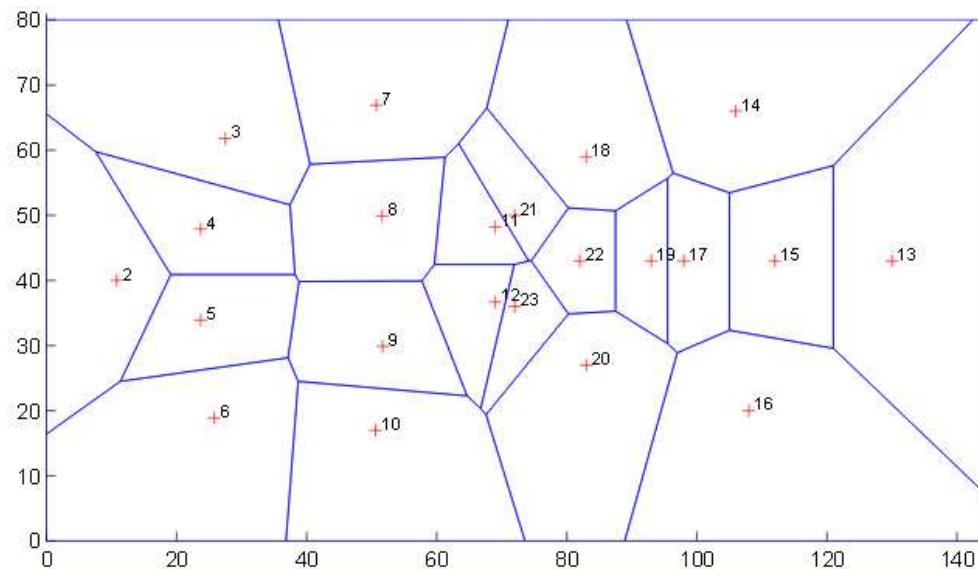
Application dans les jeux

- Un jeu en lui-même

<http://www.voronoigame.com/>



- Stratégie / influence / Estimation d'algorithmes de distribution

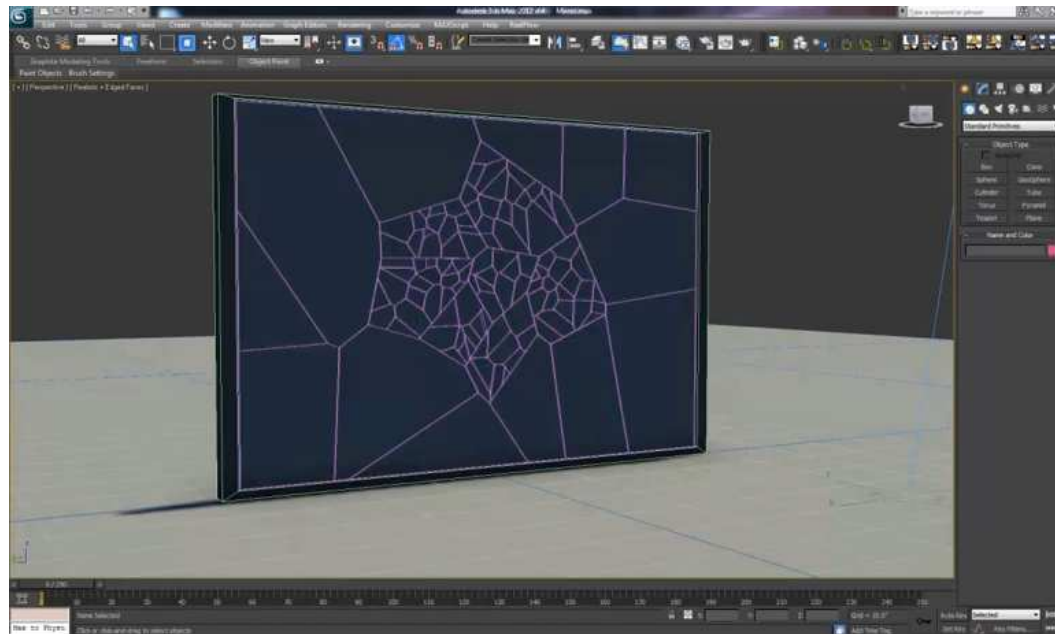


Voronoi appliqué à la fracturation

Blender et Bullet Physics



3DSmax



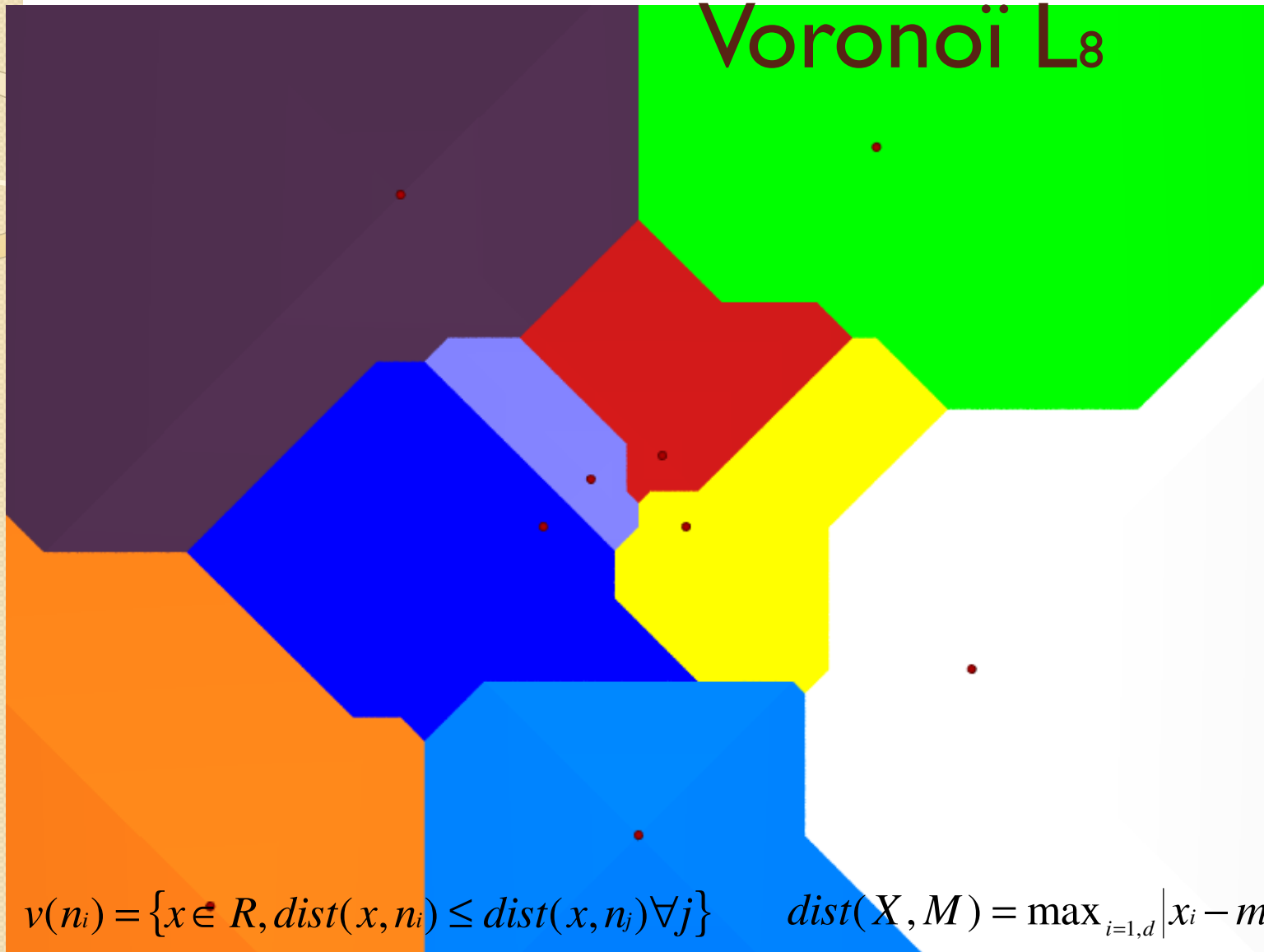
Maya script :
voronoï
texture
fracture

5. Voronoï généralisé

$$v(N_i) = \left\{ X \in R^d, \forall M_{ik} \in N_i, \forall M_{jk} \in N_j, \text{dist}(X, M_{ik}) \leq \text{dist}(X, M_{jk}) \forall j \right\}$$

- En dimension : $d=3\dots$
- Avec pondération
- Métrique :
$$\text{dist}(X, M) = \sum_{i=1}^d |x_i - m_i|$$
$$\text{dist}(X, M) = \max_{i=1,d} |x_i - m_i|$$
- Ordre supérieur : $\text{Card}(N_i) = 2, 3$ K sites
- Variété d'ordre supérieur : arêtes

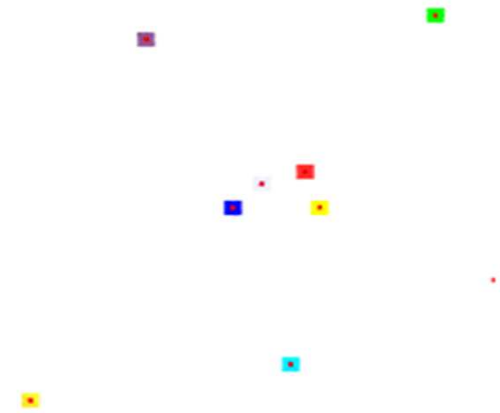
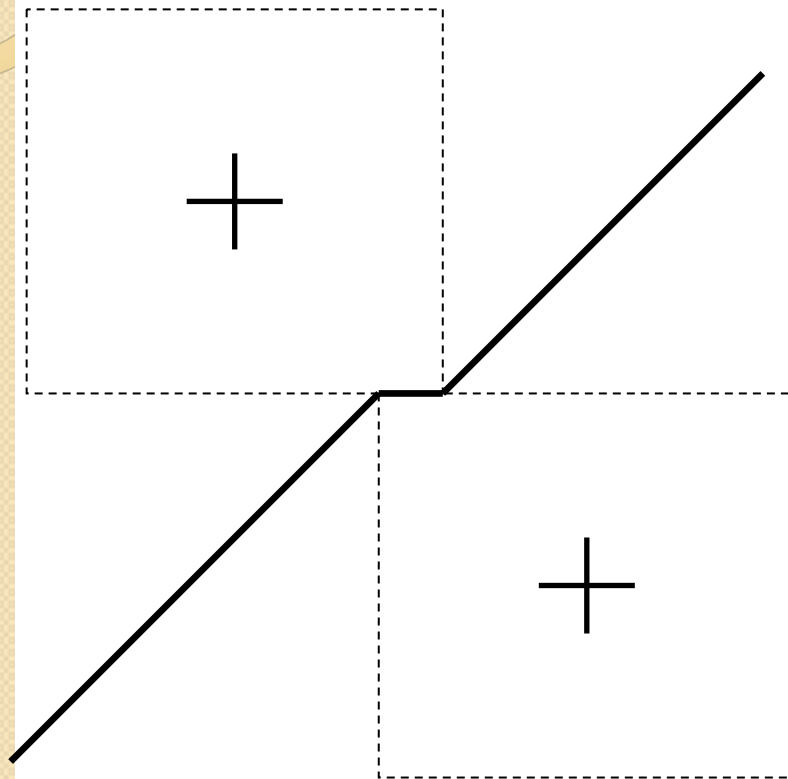
Voronoi L₈



$$v(n_i) = \{x \in R, \text{dist}(x, n_i) \leq \text{dist}(x, n_j) \forall j\}$$

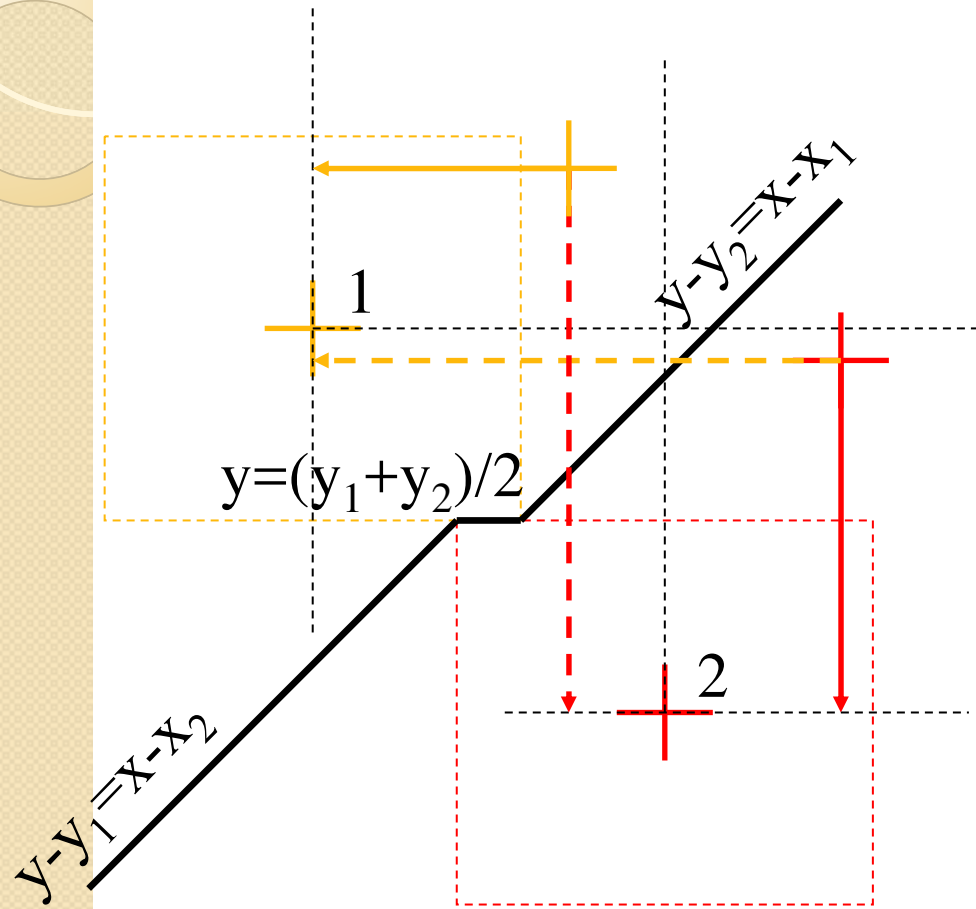
$$\text{dist}(X, M) = \max_{i=1,d} |x_i - m_i|$$

Voronoi métrique L_8

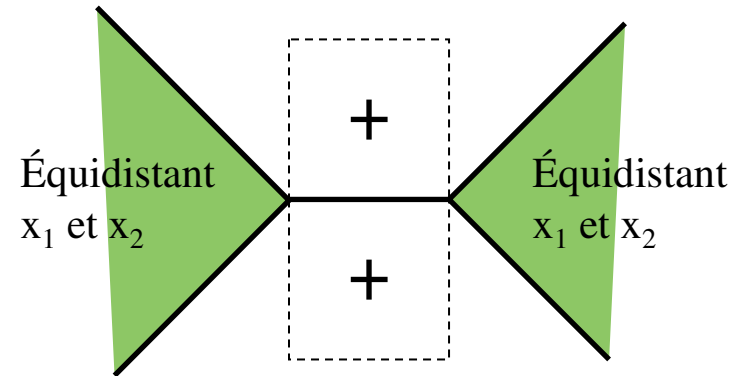


$$\text{dist}(X, M) = \max_{i=1,d} |x_i - m_i|$$

Voronoi métrique L_∞

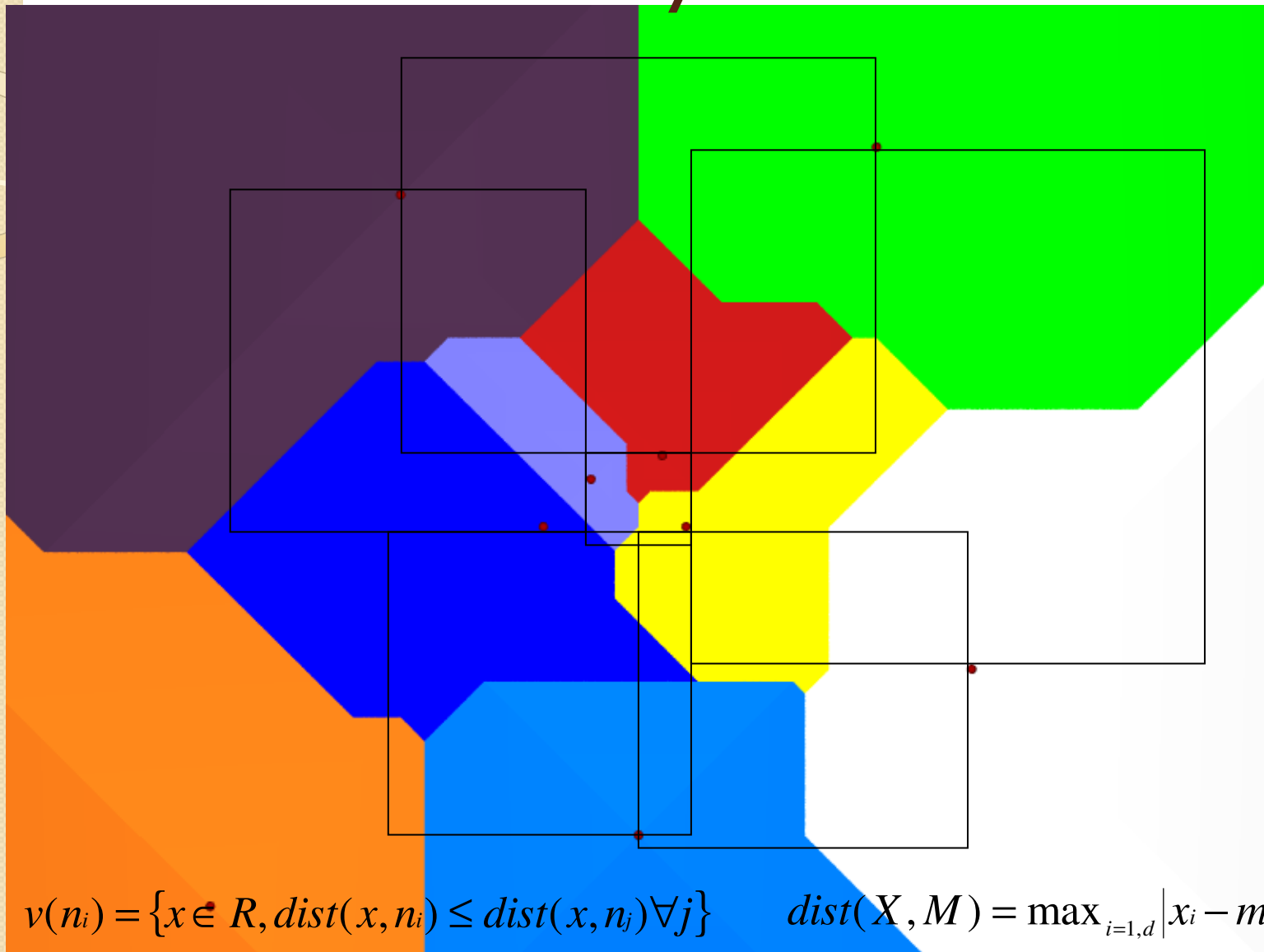


$$\text{dist}(X, M) = \max_{i=1,d} |x_i - m_i|$$

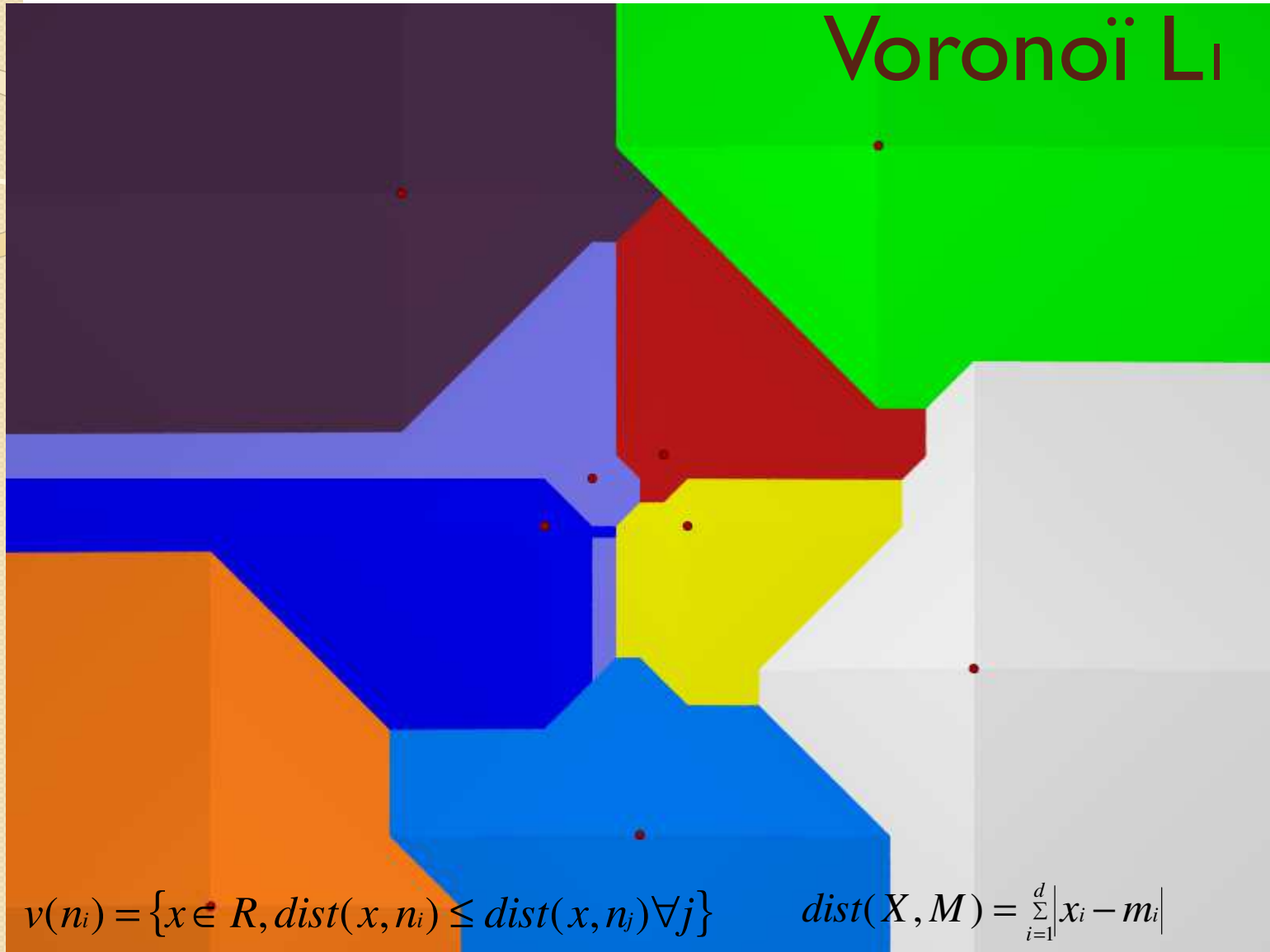


Ambiguïté

Dualité Delaunay/Voronoi en L_8



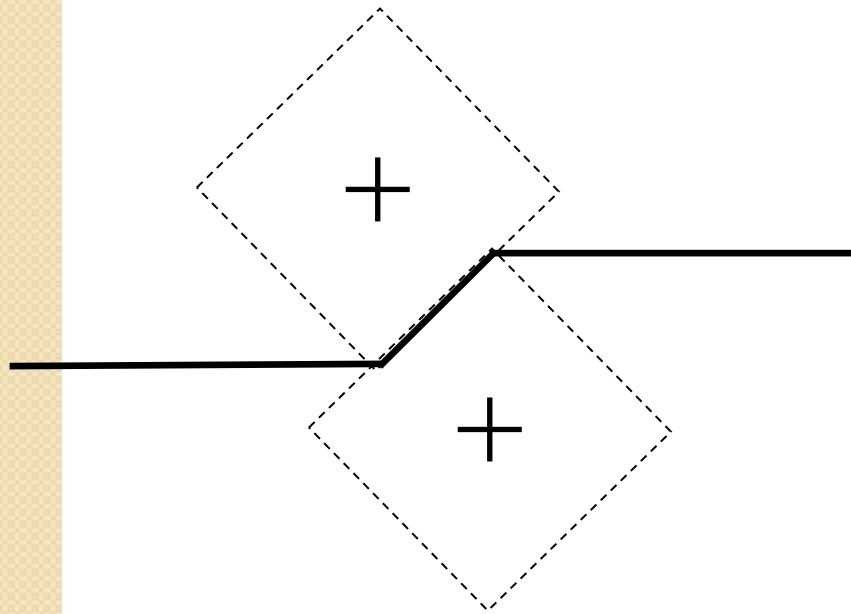
Voronoi L_1



$$v(n_i) = \{x \in R, \text{dist}(x, n_i) \leq \text{dist}(x, n_j) \forall j\}$$

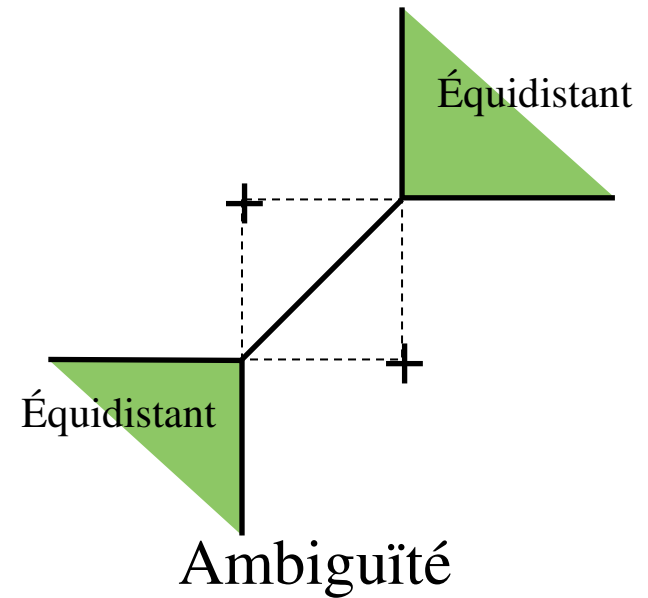
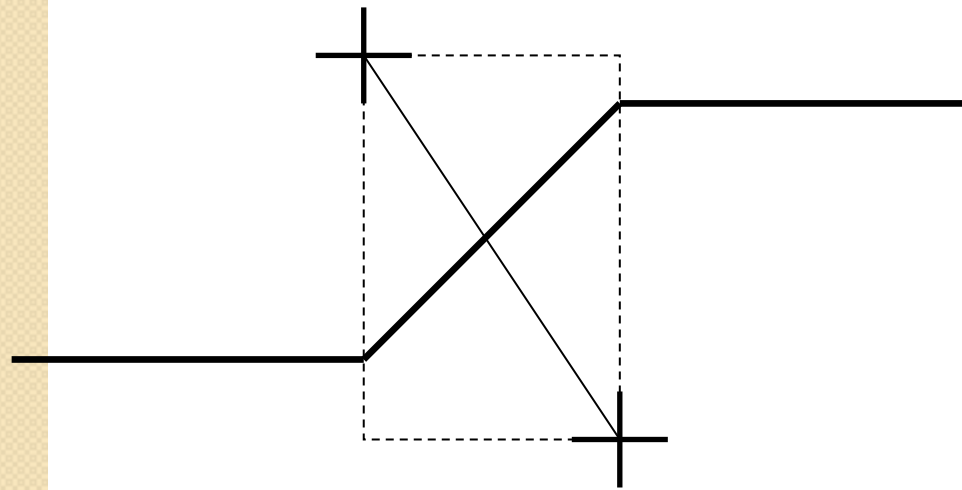
$$\text{dist}(X, M) = \sum_{i=1}^d |x_i - m_i|$$

Voronoi métrique L_1



$$\text{dist}(X, M) = \sum_{i=1}^d |x_i - m_i|$$

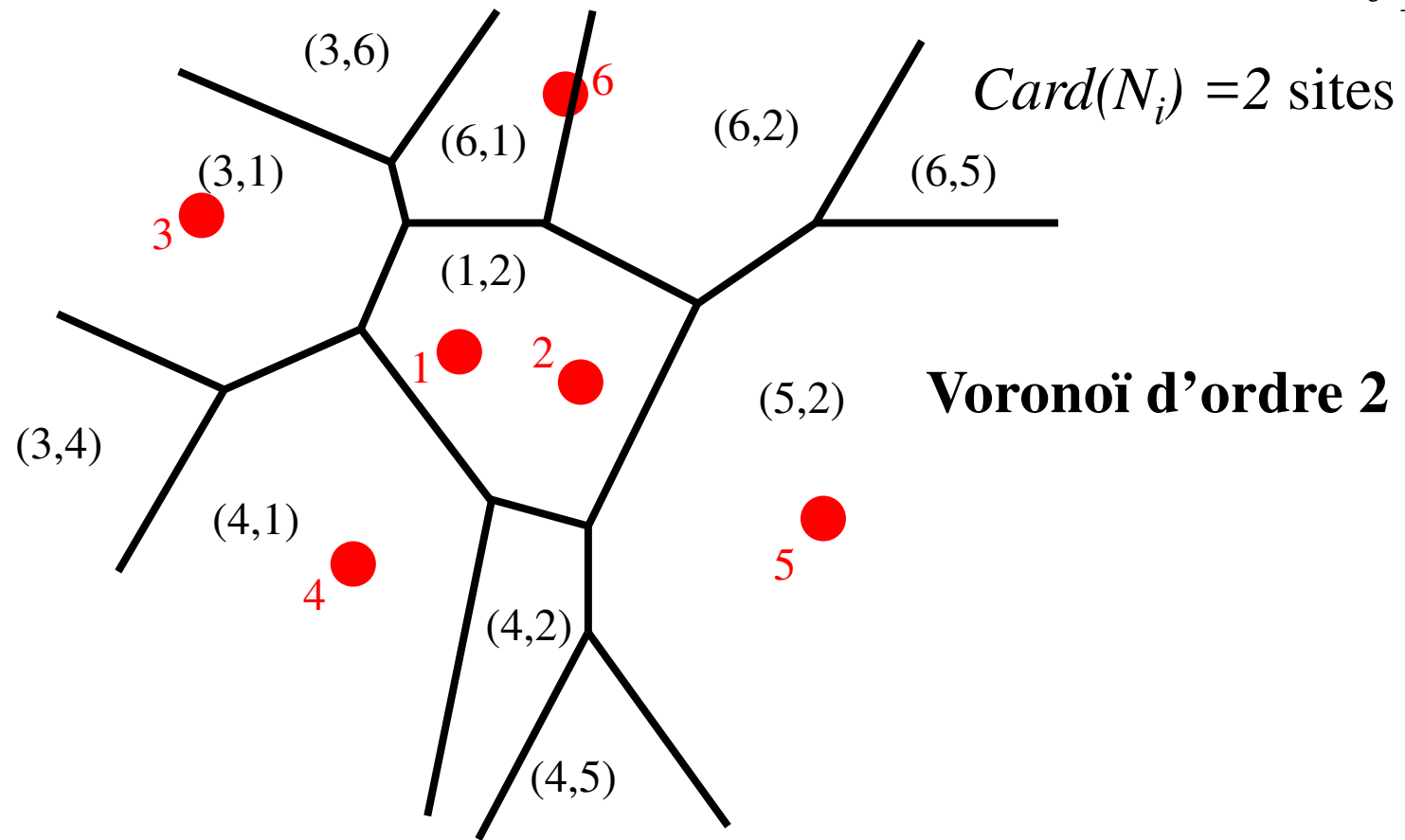
Métrie L₁



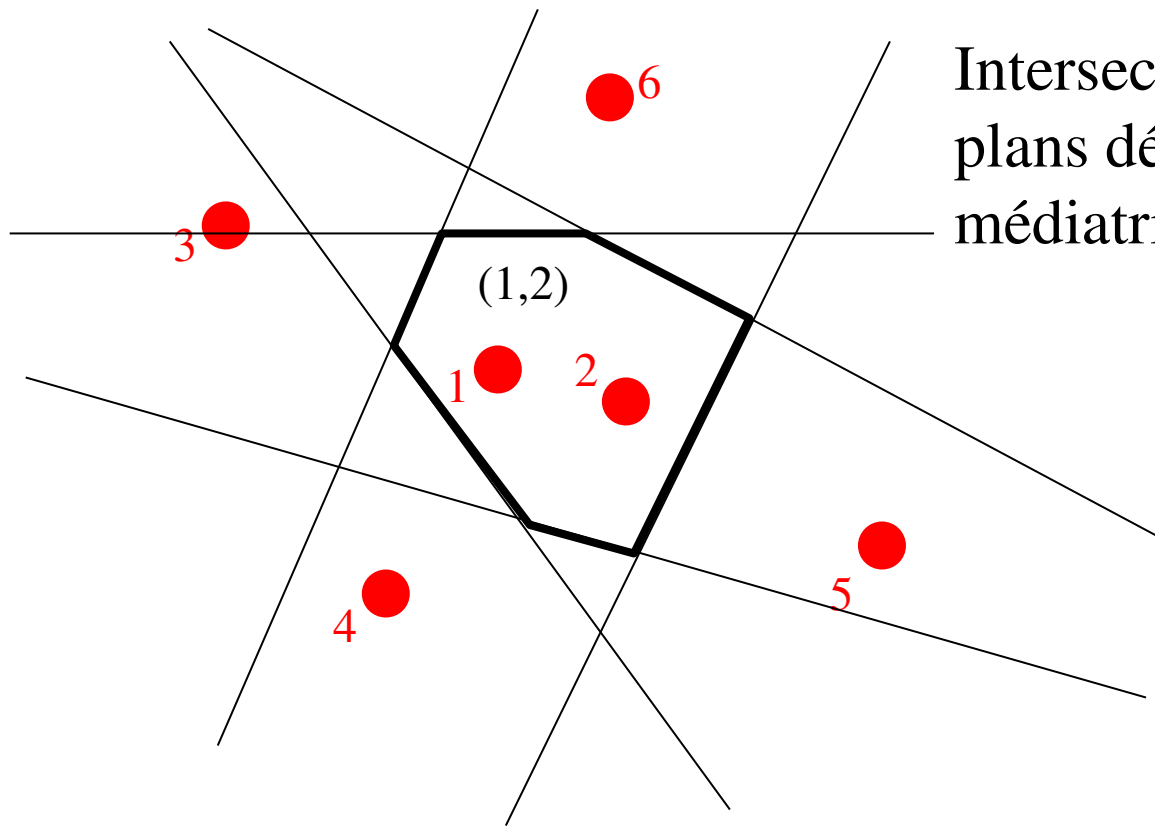
$$\text{dist}(X, M) = \sum_{i=1}^d |x_i - m_i|$$

Voronoi du 2^{ème} ordre

$$v(N_i) = \left\{ X \in R^d, \forall M_{ik} \in N_i, \forall M_{jk} \in N_j, \text{dist}(X, M_{ik}) \leq \text{dist}(X, M_{jk}) \forall j \right\}$$

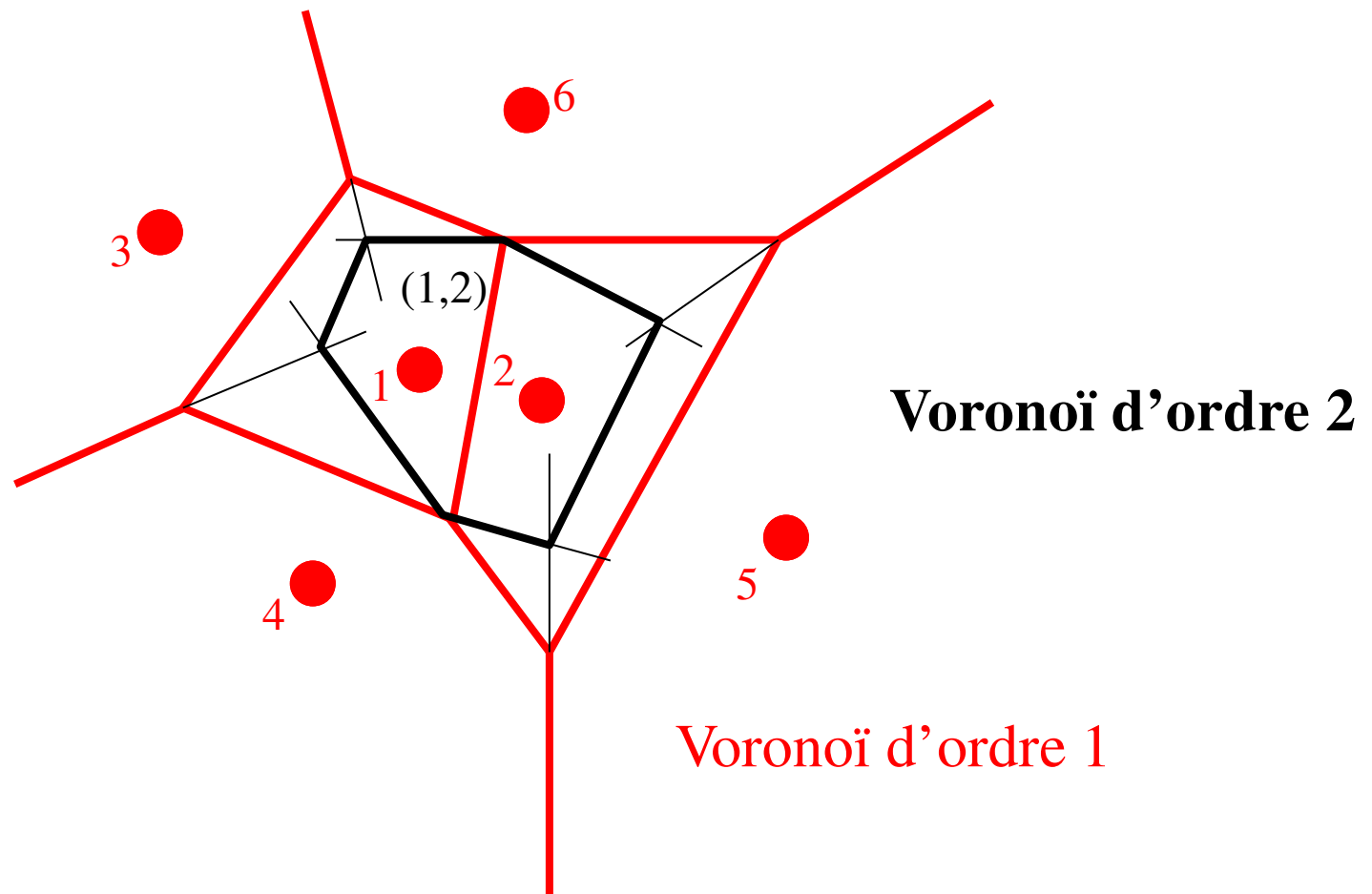


Voronoi du 2^{ème} ordre

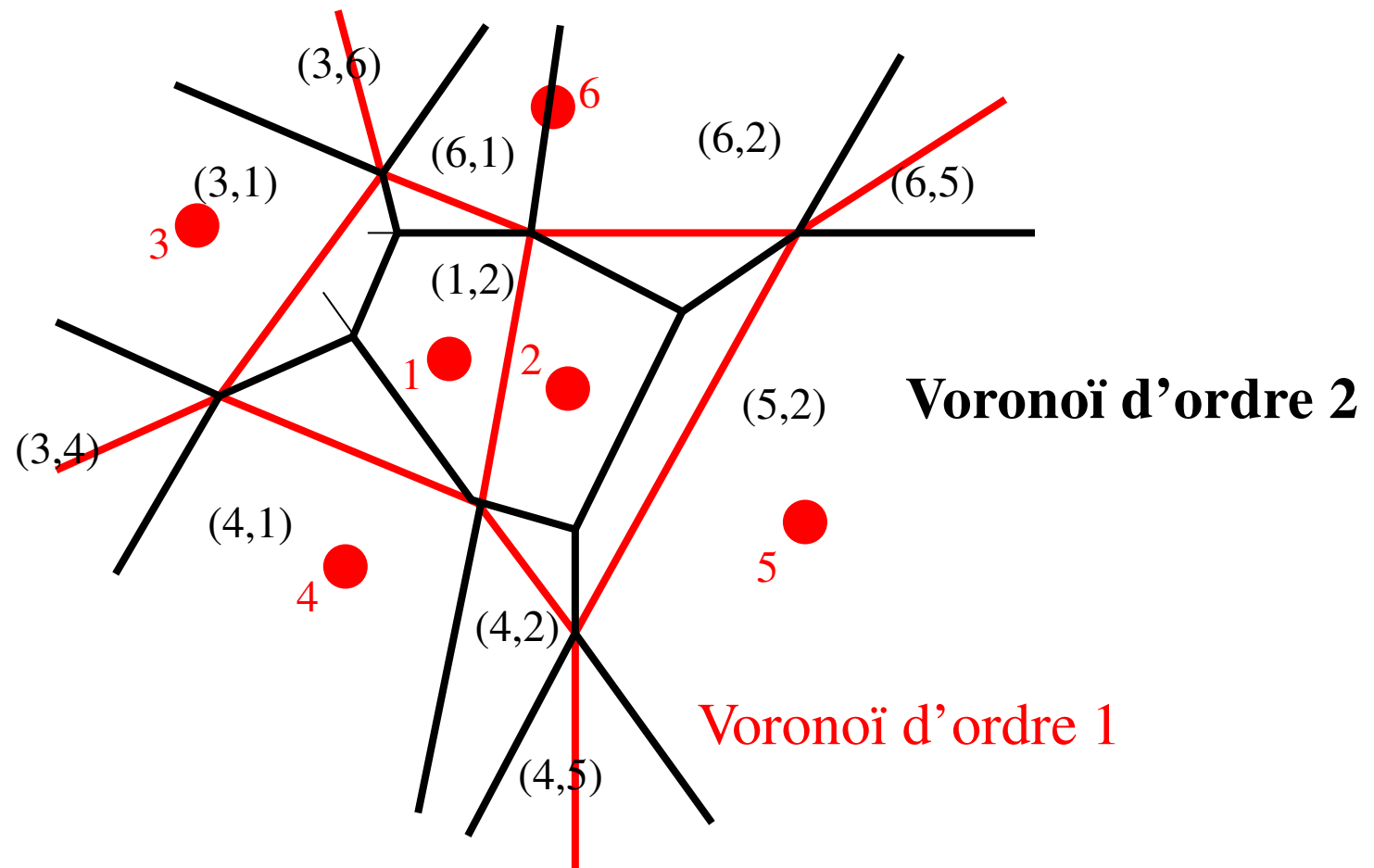


Intersection des $\frac{1}{2}$
plans définis par les
médiatrices.

Voronoi du 2^{ème} ordre

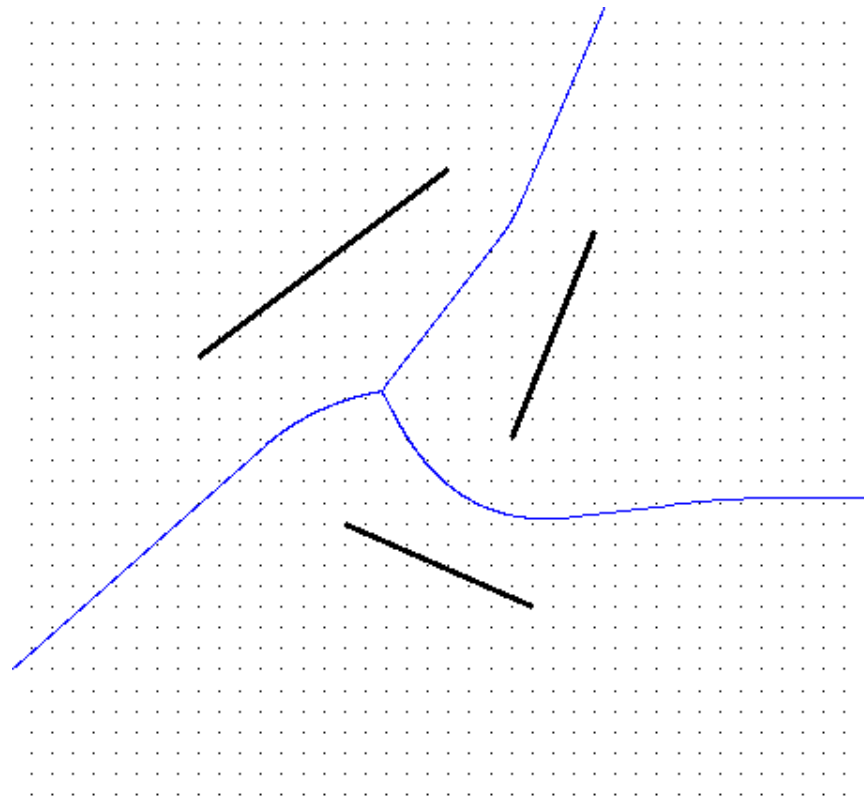


Voronoi du 2^{ème} ordre

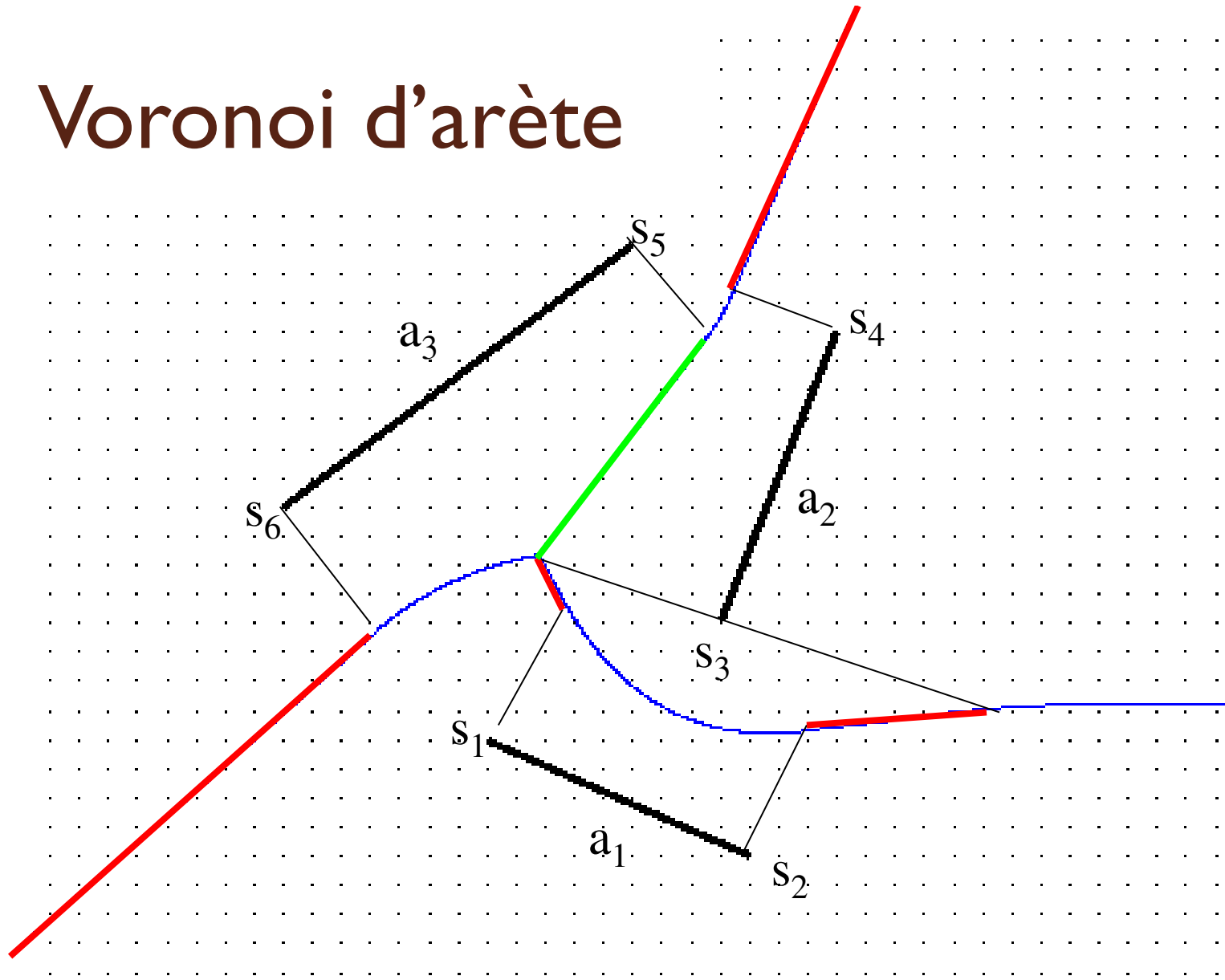


Voronoi d'arête

$$v(N_i) = \left\{ X \in R^d, \forall M_{ik} \in N_i, \forall M_{jk} \in N_j, \text{dist}(X, M_{ik}) \leq \text{dist}(X, M_{jk}) \forall j \right\}$$



Voronoi d'arête

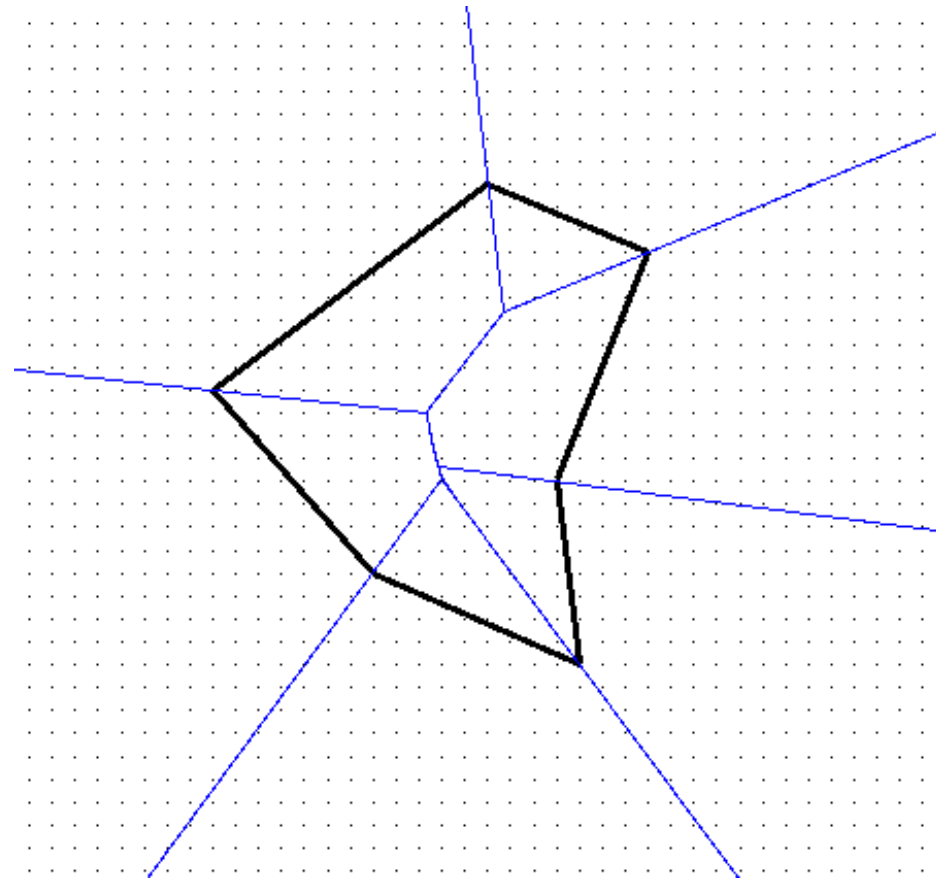
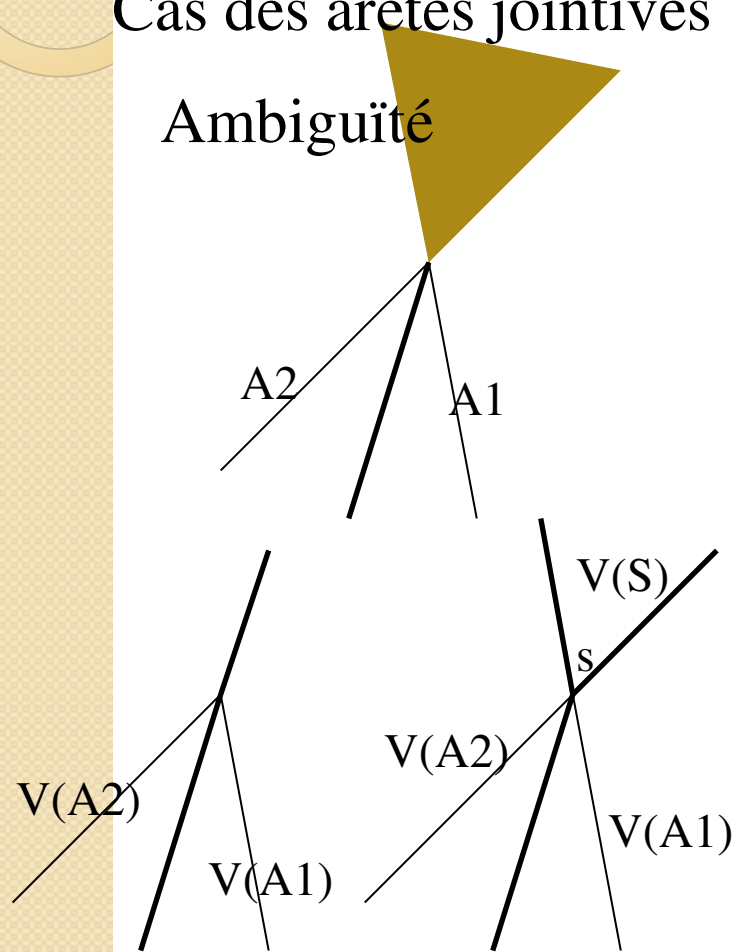


$$v(N_i) = \left\{ X \in R^d, \forall M_{ik} \in N_i, \forall M_{jk} \in N_j, \text{dist}(X, M_{ik}) \leq \text{dist}(X, M_{jk}) \forall j \right\}$$

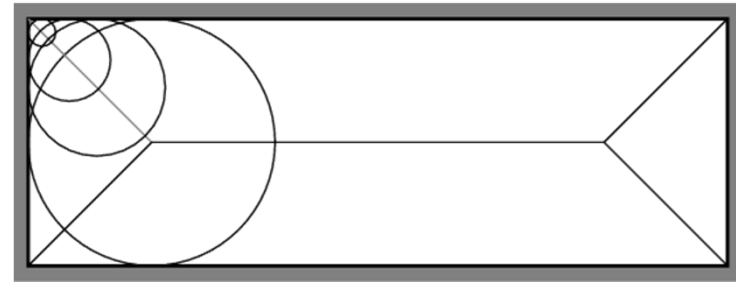
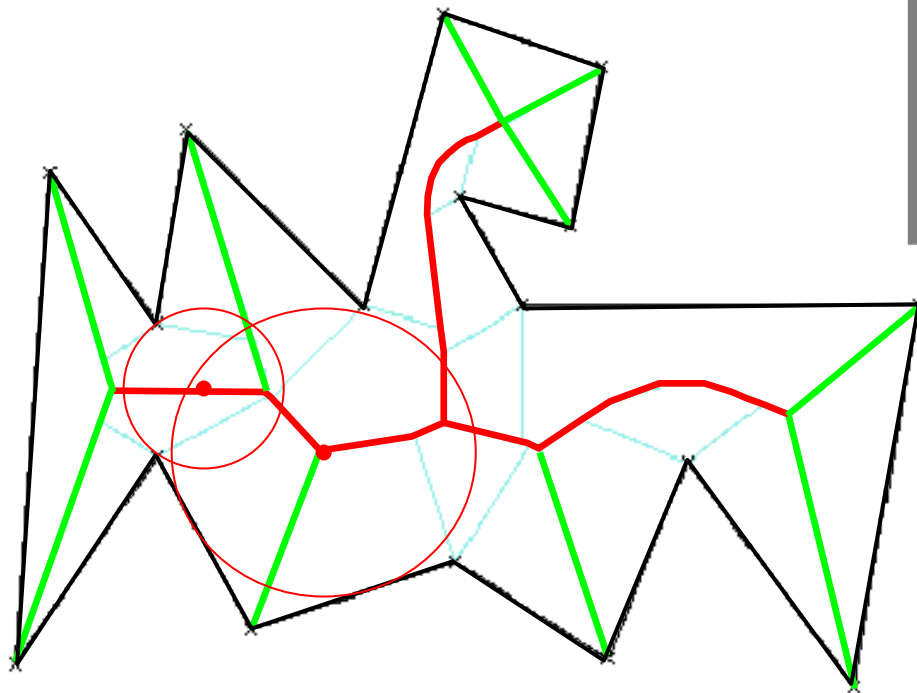
Voronoi d'arêtes

Cas des arêtes jointives

Ambiguïté



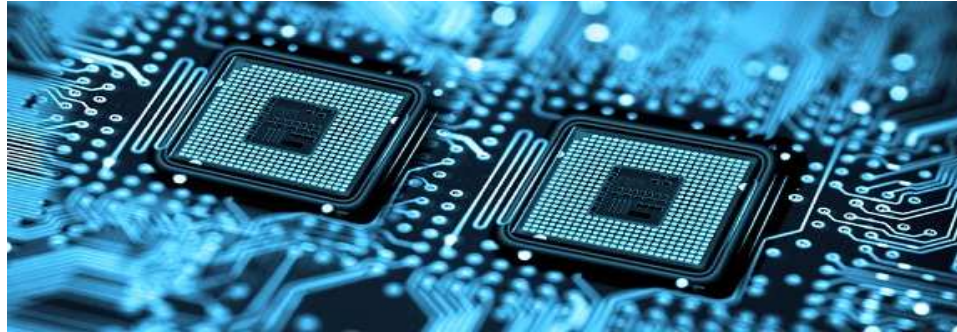
Axe médian/Voronoi



L'axe médian est la trace du centre du cercle de rayon maximum, intérieur au polygone

Le graphe de voronoï contient l'axe médian

Applications de «Voronoi »



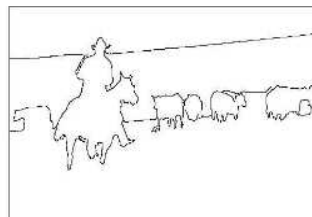
Analyse de zones critiques des circuits VLSI (IBM)



Reconnaissance des formes



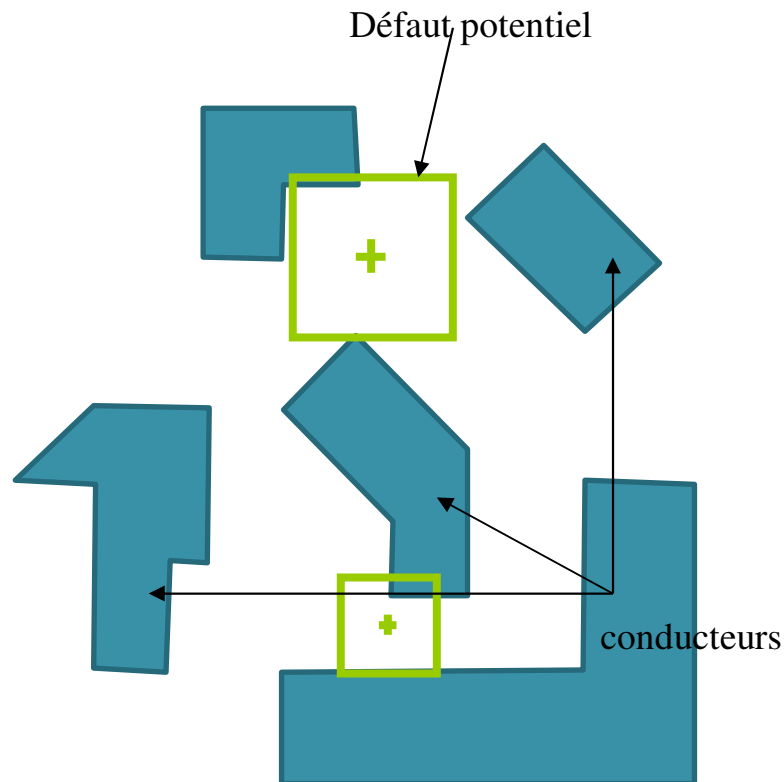
Analyse et synthèse de texture (de fracturation)



Segmentation et compression d'image

Analyse des zones critiques VLSI

Rayon des défauts (carrés) provoquant des court-circuits



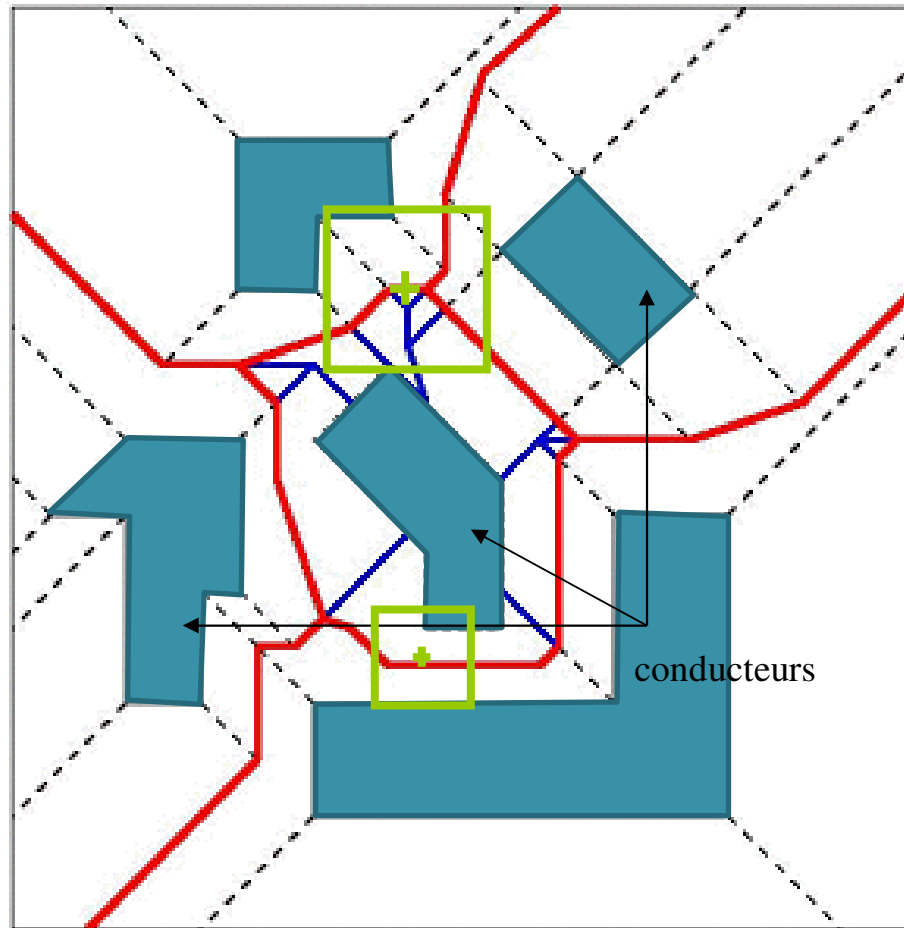
Comparer le problème à celui de « l'usine polluante ».

Que peut-on en déduire ?

(Source IBM)

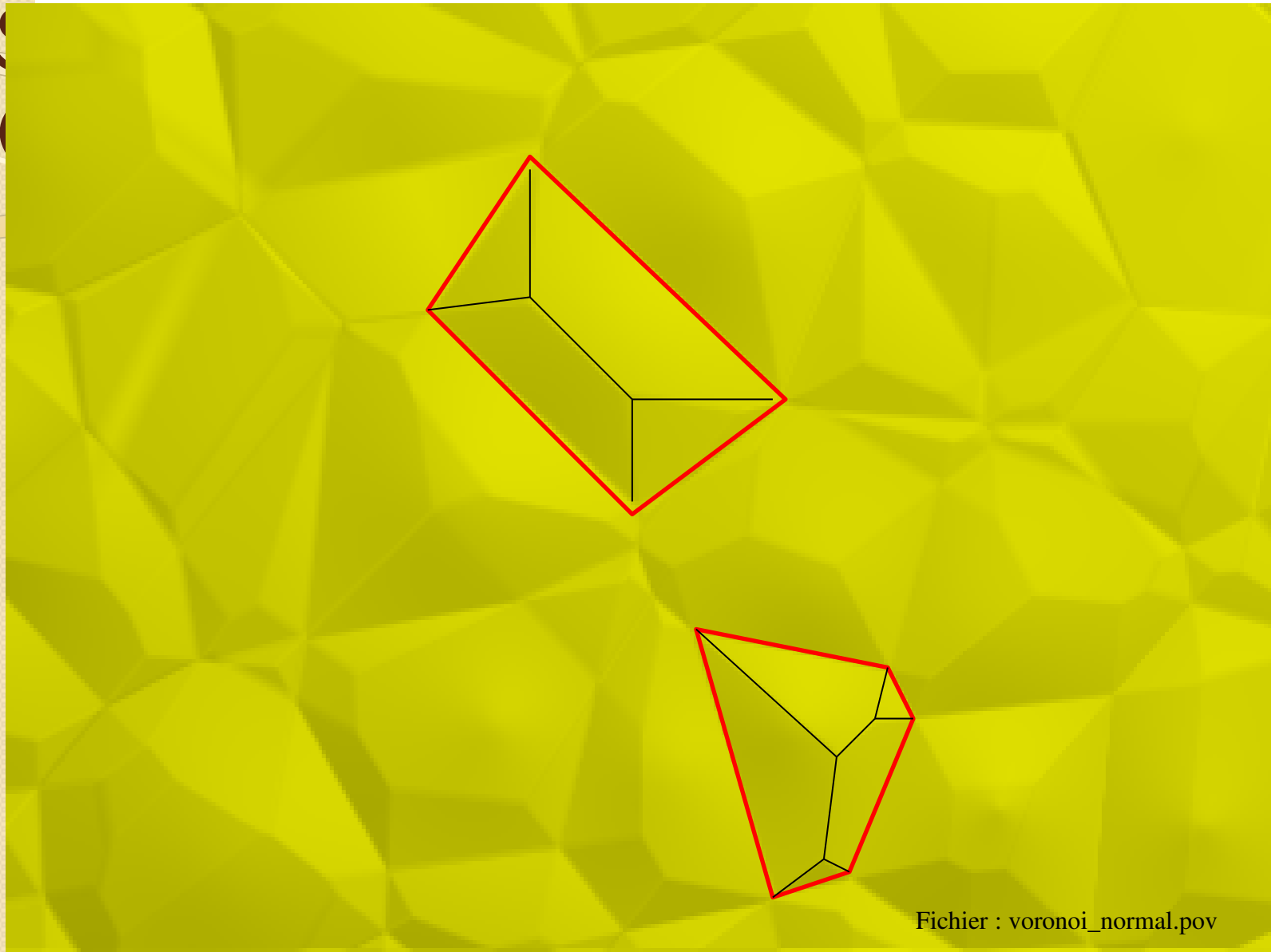
Analyse des zones critiques VLSI

Rayon des défauts (carrés) provoquant des court-circuits



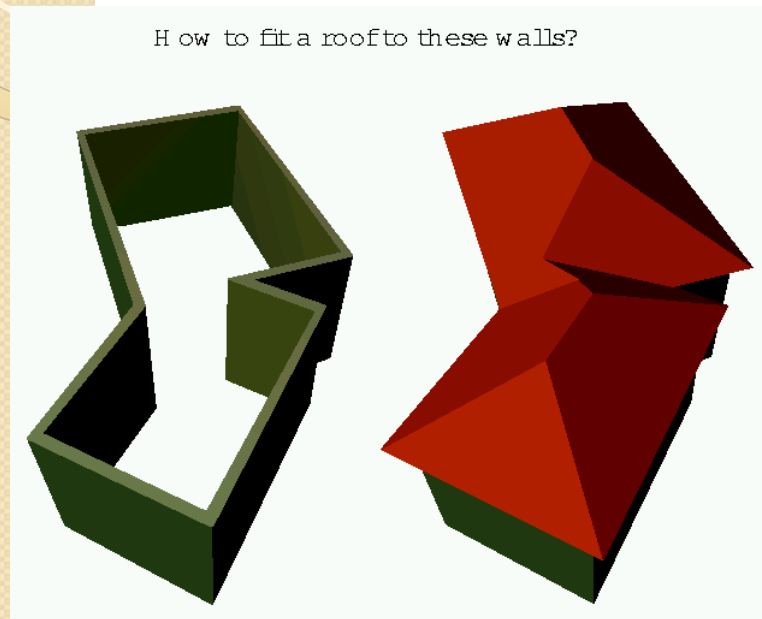
Pour répondre au problème il faut construire un Voronoï d'arêtes du second ordre en métrie L_8

(Source IBM)

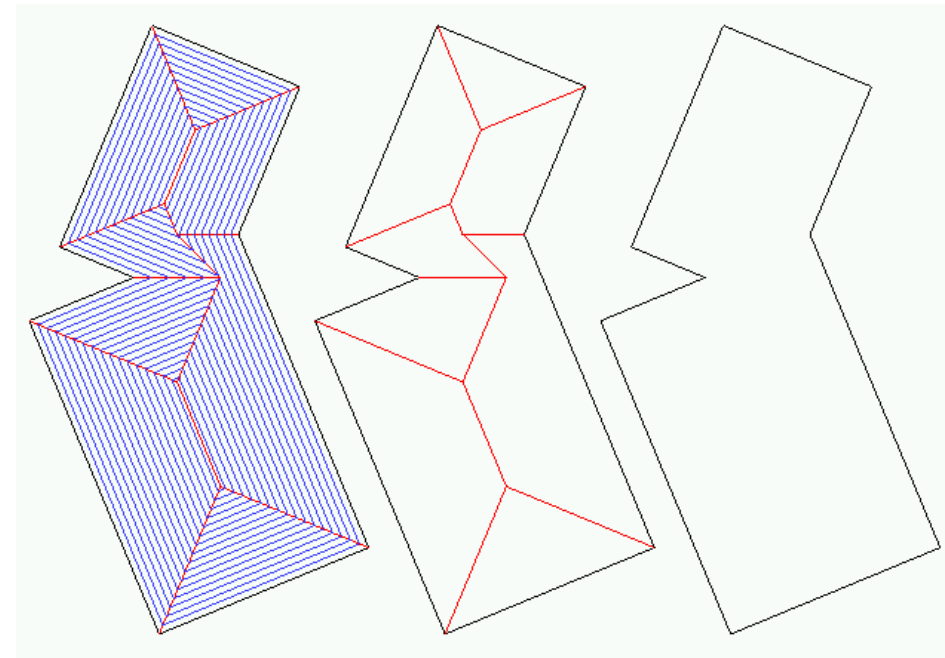


Fichier : voronoi_normal.pov

Quelle toiture pour ma maison ?



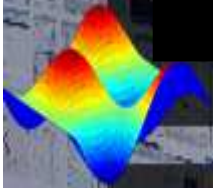
www.sable.mcgill.ca/~dbelan2/roofs/roofs.html.



Bibliographie

- Introduction à la modélisation et à l'algorithmique géométrique
O.Stab (*people.mines-paristech.fr/olivier.stab/geomodeling.pdf*)
- Computational Geometry, an introduction
M.I.Shamos, F.P. Preparata, *Springer-Verlag, 1998*
- Computational Geometry Algorithms Library
CGAL, <http://www.cgal.org>
- Géométrie Algorithmique, J.D.Boissonnat et M.Yvinec,
Ediscience internationale 1995
- Computational Geometry, Algorithms and Applications
M.Berg et al. *Springer 1997*
- Computational Geometry in C, J.O.Rourke, *Cambridge Press 1998*

TP : Triangulations de Delaunay



1. Triangulation de Delaunay
2. Extraction de l'EC
3. Conversion Delaunay \rightarrow Voronoï

